



જવાબો

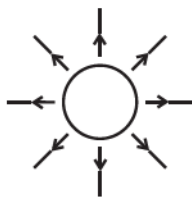
પ્રકરણ 1

- 1.1** (a)
- 1.2** (a)
- 1.3** (d)
- 1.4** (b)
- 1.5** (c)
- 1.6** (a)
- 1.7** (a)
- 1.8** (c), (d)
- 1.9** (b), (d)
- 1.10** (b), (d)
- 1.11** (c), (d)
- 1.12** (a), (c)
- 1.13** (a), (b), (c) અને (d)
- 1.14** શૂન્ય
- 1.15** (i) $\frac{-Q}{4\pi R_1^2}$ (ii) $\frac{Q}{4\pi R_2^2}$

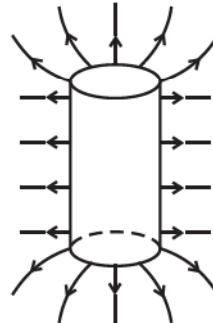
1.16 વિદ્યુતક્ષેત્રો પરમાણુઓને તટસ્થ અસ્તિત્વમાં જોડે છે. વિદ્યુતક્ષેત્રો વધારાના વિદ્યુતભારોને લીધે ઉત્પન્ન થાય છે. અલગ કરેલા વાહકની અંદરની સપાટી પર કોઈ વધારાનો વિદ્યુતભાર હોઈ શકે નહિએ.

1.17 ના, વિદ્યુતક્ષેત્ર લંબ હોઈ શકે છે. જોકે તેનાથી વિપરીત સત્ય છે.

1.18



ઉપરનો દેખાવ



બાજુનો દેખાવ

$$1.19 \quad (i) \frac{q}{8\epsilon_0} \quad (ii) \frac{q}{4\epsilon_0} \quad (iii) \frac{q}{2\epsilon_0} \quad (iv) \frac{q}{2\epsilon_0}$$

1.20 Al ના મોલર-દળ M માં પરમાણુઓની સંખ્યા $N_A = 6.023 \times 10^{23}$

$$\therefore m \text{ દળના Al ના પૈસાના સિક્કામાં પરમાણુઓની સંખ્યા } N = N_A \frac{m}{M}$$

$$\text{હવે, } Z_{Al} = 13, M_{Al} = 26.9815 \text{ g}$$

$$\begin{aligned} \text{તેથી, } N &= 6.02 \times 10^{23} \text{ પરમાણુ/મોલ} \times \frac{0.75}{26.9815 \text{ g/mol}} \\ &= 1.6733 \times 10^{22} \text{ પરમાણુ} \end{aligned}$$

$$\begin{aligned} \therefore q &= \text{પૈસામાં +ve વિદ્યુતભાર} = NZe \\ &= (1.67 \times 10^{22})(13) (1.60 \times 10^{-19} \text{ C}) \\ &= 3.48 \times 10^4 \text{ C} \end{aligned}$$

$$q = 34.8 \text{ kC ધન વિદ્યુતભાર}$$

આ વિદ્યુતભારનું એક મોટું મૂલ્ય છે. આમ, આપણે જોઈ શકીએ છીએ કે, સામાન્ય રીતે તટસ્થ પદાર્થ મોટા પ્રમાણમાં \pm વિદ્યુતભારો ધરાવે છે.

$$1.21 \quad (i) F_1 = \frac{|q|^2}{4\pi\epsilon_0 r_1^2} = \left(8.99 \times 10^9 \frac{\text{Nm}^2}{\text{C}^2} \right) \frac{(3.48 \times 10^4 \text{ C})}{10^{-4} \text{ m}^2} = 1.1 \times 10^{23} \text{ N}$$

$$(ii) \frac{F_2}{F_1} = \frac{r_1^2}{r_2^2} = \frac{(10^{-2} \text{ m})^2}{(10^2 \text{ m})^2} = 10^{-8} \Rightarrow F_2 = F_1 \times 10^{-8} = 1.1 \times 10^{15} \text{ N}$$

$$(iii) \frac{F_3}{F_2} = \frac{r_1^2}{r_3^2} = \frac{(10^{-2} \text{ m})^2}{(10^6 \text{ m})^2} = 10^{-16}$$

$$F_3 = 10^{-16} F_1 = 1.1 \times 10^7 \text{ N}$$

નિષ્કર્ષ : જ્યારે બિંદુ વિદ્યુતભારને અલગ કરવામાં આવે, તો આ વિદ્યુતભાર એક મોટું બળ ઉત્પન્ન કરે છે. વિદ્યુત તટસ્થતા વિક્ષેપિત કરવી સરળ નથી.

- 1.22** (i) શૂન્ય, સંમિતતા માટે,
(ii) એક +ve Cs આયન હટાવવો એ એક -ve Cs આયનએ સ્થાન ઉમેરવા બરાબર છે.

ત્યારે પરિણામી બળ નીચે મુજબ છે :

$$F = \frac{e^2}{4\pi\epsilon_0 r^2}$$

જ્યાં, $r = \text{Cl}$ આયન અને Cs આયનો વચ્ચેનું અંતર

$$\begin{aligned} &= \sqrt{(0.20)^2 + (0.20)^2 + (0.20)^2} \times 10^{-9} = \sqrt{3(0.20)^2} \times 10^{-9} \\ &= 0.346 \times 10^{-9} \text{ m} \end{aligned}$$

$$\text{તેથી, } F = \frac{(8.99 \times 10^9)(1.6 \times 10^{-19})^2}{(0.346 \times 10^{-9})^2} = 192 \times 10^{-11}$$

$$= 1.92 \times 10^{-9} \text{ N}$$

ઉત્તર : 1.92×10^{-9} N, A થી Cl^- ની દિશામાં

- 1.23** P પાસે : $2q$ ઉપર, q વડે લાગતું બળ ડાબી તરફ અને $-3q$ વડે લાગતું બળ

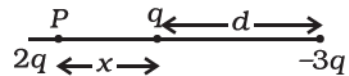
$$\therefore \frac{2q^2}{4\pi\epsilon_0 x^2} = \frac{6q^2}{4\pi\epsilon_0 (d+x)^2}$$

$$\therefore (d+x)^2 = 3x^2$$

$$\therefore 2x^2 - 2dx - d^2 = 0$$

$$x = \frac{d}{2} \pm \frac{\sqrt{3}d}{2}$$

(ઋણ ચિહ્ન લેવાથી x નું મૂલ્ય q અને $-3q$ ની વચ્ચે હશે, તેથી તે માન્ય નથી.)



$$x = \frac{d}{2} + \frac{\sqrt{3}d}{2} = \frac{d}{2}(1 + \sqrt{3}) q \text{ ની ડાબી બાજુ}$$

- 1.24** (a) વિદ્યુતભારો A અને C ધન છે કારણ કે ક્ષેત્ર (બળ) રેખાઓ તેમાંથી ઉદ્ભવે છે.
(b) વિદ્યુતભાર C નું મૂલ્ય સૌથી વધુ હશે કારણ કે તેની સાથે મહત્તમ સંઝ્યામાં ક્ષેત્ર-રેખાઓ સંકળાયેલી છે.
(c) (i) A ની નજીક ધન અને ઋણ વિદ્યુતભારોની વચ્ચે કોઈ તટસ્થ બિંદુ નથી. બે સજ્જતીય વિદ્યુતભારો વચ્ચે તટસ્થ બિંદુનું અસ્તિત્વ હોઈ શકે. આકૃતિ પરથી આપણે એ જોઈ શકીએ છીએ કે, તટસ્થ બિંદુ વિદ્યુતભાર A અને Cની વચ્ચે અસ્તિત્વમાં છે. સાથે બે સજ્જતીય વિદ્યુતભારો વચ્ચે તટસ્થ બિંદુ નાના મૂલ્યના વિદ્યુતભારની નજીક હોય છે. આથી, વિદ્યુતભાર Aની નજીક વિદ્યુતક્ષેત્ર શૂન્ય છે.

- 1.25** (a) (i) શૂન્ય (ii) $\frac{1}{4\pi\epsilon_0} \frac{q}{r^2} \vec{OA}$ ની દિશામાં (iii) $\frac{1}{4\pi\epsilon_0} \frac{2q}{r^2} \vec{OA}$ ની દિશામાં
(b) (a) ની જેમ જ

- 1.26** (a) ધારો કે બ્રહ્માંડની ત્રિજ્યા R છે. એવું સ્વીકારી લઈએ કે હાઈડ્રોજન પરમાણુઓ એક્સમાન રીતે વિતરીત થયેલા છે. દરેક હાઈડ્રોજન પરમાણુનો વિદ્યુતભાર $e_H = -(1 + y) e + e = -ye = |ye|$ દરેક હાઈડ્રોજન પરમાણુનું દળ $\sim m_p$ છે. (પ્રોટોનનું દળ) જો R પાસે, હાઈડ્રોજન પરમાણુ ઉપર લાગતું કુલંબિય અપાકર્ષણ બળ એ ગુરુત્વિય આકર્ષણ કરતા વધારે હોય, તો વિસ્તરણ શરૂ થઈ જાય છે. ધારો કે, R પાસે વિદ્યુતક્ષેત્ર E છે.

$$\text{તેથી, } 4\pi R^2 E = \frac{4}{3} \frac{\pi R^3 N |ye|}{\epsilon_0} \quad (\text{ગાઉસનો નિયમ})$$

$$E(R) = \frac{1}{3} \frac{N |ye|}{\epsilon_0} R \hat{r}$$

ધારો કે R પાસે ગુરુત્વાકર્ષણ બળ G_R છે. તેથી,

$$-4\pi R^2 G_R = 4\pi G m_p \frac{4}{3} \pi R^3 N$$

$$G_R = -\frac{4}{3} \pi G m_p N R$$

$$G_R(R) = -\frac{4}{3} \pi G m_p N R \hat{r}$$

આમ, R અંતરે હાઈડ્રોજન પરમાણુ ઉપર કુલંબબળ

$$ye E(R) = \frac{1}{3} \frac{Ny^2 e^2}{\epsilon_0} R \hat{r}$$

આ પરમાણુ ઉપર ગુરુત્વાકર્ષણ બળ

$$m_p G_R(R) = -\frac{4\pi}{3} G N m_p^2 R \hat{r}$$

પરમાણુ પર લાગતું પરિણામી બળ

$$F = \left(\frac{1}{3} \frac{Ny^2 e^2}{\epsilon_0} R - \frac{4\pi}{3} G N m_p^2 R \right) \hat{r}$$

આ કાંતિક (critical) મૂલ્ય છે, જ્યારે

$$\frac{1}{3} \frac{Ny^2 e^2}{\epsilon_0} R = \frac{4\pi}{3} G N m_p^2 R$$

$$\Rightarrow y_c^2 = 4\pi \epsilon_0 G \frac{m_p^2}{e^2}$$

$$= \frac{7 \times 10^{-11} \times 1.8^2 \times 10^6 \times 81 \times 10^{-62}}{9 \times 10^9 \times 1.6^2 \times 10^{-38}}$$

$$\approx 63 \times 10^{-38}$$

$$\therefore y_c = 8 \times 10^{-19} = 10^{-18}$$

(b) પરિણામી બળને લીધે, હાઈડ્રોજન પરમાણુ પ્રવેગ અનુભવે છે. જેમકે,

$$m_p \frac{d^2 R}{dt^2} = \left(\frac{1}{3} \frac{N y^2 e^2}{\epsilon_0} R - \frac{4p}{3} G N m_p^2 R \right)$$

$$\text{અથવા } \frac{d^2 R}{dt^2} = a^2 R \quad \text{જ્યાં, } a^2 = \frac{1}{m_p} \left(\frac{1}{3} \frac{N y^2 e^2}{\epsilon_0} - \frac{4p}{3} G N m_p^2 \right)$$

આ સમીકરણનો એક ઉકેલ $R = A e^{at} + B e^{-at}$

કારણ કે આપણે વિસ્તાર શોધી રહ્યા છીએ, $B = 0$.

$$\therefore R = A e^{at}$$

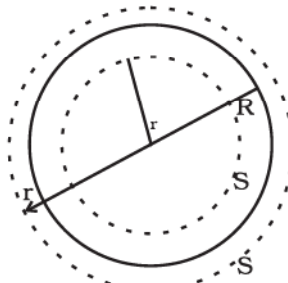
$$\Rightarrow \dot{R} = \alpha A e^{at} = \alpha R$$

આથી, વેગ એ કેન્દ્રથી અંતરના સપ્રમાણમાં છે.

- 1.27** (a) કોયડાની સંમિતતા એ સૂચયે છે કે, વિદ્યુતક્ષેત્ર ત્રિજ્યાવર્તી છે. બિંદુ $r < R$ માટે, ગોળાકાર ગાઉસિયન પૃષ્ઠ વિચારો પછી સપાટી ઉપર પૃષ્ઠ સંકલન કરતાં,

$$\oint \mathbf{E}_r \cdot d\mathbf{S} = \frac{1}{\epsilon_0} \int_V \rho dv$$

$$4\pi r^2 E_r = \frac{1}{\epsilon_0} 4\pi k \int_0^r r'^3 dr' \\ = \frac{1}{\epsilon_0} \frac{4\pi k}{4} r^4$$



$$\therefore E_r = \frac{1}{4\epsilon_0} kr^2$$

$$\mathbf{E}(r) = \frac{1}{4\epsilon_0} kr^2 \hat{r}$$

બિંદુ $r > R$ માટે, ત્રિજ્યાની ગોળાકાર ગાઉસિયન સપાટી વિચારો.

$$\oint \mathbf{E}_r \cdot d\mathbf{S} = \frac{1}{\epsilon_0} \int_V \rho dv$$

$$4\pi r^2 E_r = \frac{4\pi k}{\epsilon_0} \int_0^R r^3 dr$$

$$= \frac{4\pi k}{\epsilon_0} \frac{R^4}{4}$$

$$\therefore E_r = \frac{k}{4\epsilon_0} \frac{R^4}{r^2}$$

$$\mathbf{E}(r) = (k / 4\epsilon_0) (R^4 / r^2) \hat{r}$$

(b) બંને પ્રોટોન કોઈ વ્યાસ સાથે કેન્દ્રની વિરુદ્ધ બાજુઓ ઉપર હોવા જોઈએ. ધારો કે બંને પ્રોટોન કેન્દ્રથી r અંતરે છે.

$$\text{હવે, } 4\pi \int_0^R kr'^3 dr = 2e$$

$$\therefore \frac{4\pi k}{4} R^4 = 2e$$

$$\therefore k = \frac{2e}{\pi R^4}$$

પ્રોટોન 1 પર લાગતાં બળો વિચારો. વિદ્યુતભાર વિતરણને લીધે આકર્ષણ બળ

$$-e \mathbf{E}_r = -\frac{e}{4\epsilon_0} kr^2 \hat{\mathbf{r}} = -\frac{2e^2}{4\pi\epsilon_0} \frac{r^2}{R^4} \hat{\mathbf{r}} \quad \text{છે.}$$

$$\text{અપાકર્ષણ બળ } \frac{e^2}{4\pi\epsilon_0} \frac{1}{(2r)^2} \hat{\mathbf{r}} \quad \text{છે.}$$

$$\text{પરિણામી બળ } \left(\frac{e^2}{4\pi\epsilon_0 4r^2} - \frac{2e^2}{4\pi\epsilon_0} \frac{r^2}{R^4} \right) \hat{\mathbf{r}} \quad \text{છે.}$$

આ બળ શૂન્ય હોવાથી

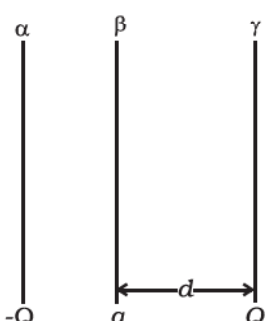
$$\frac{e^2}{16\pi\epsilon_0 r^2} = \frac{2e^2}{4\pi\epsilon_0} \frac{r^2}{R^4}$$

$$\text{અથવા } r^4 = \frac{4R^4}{32} = \frac{R^4}{8}$$

$$\Rightarrow r = \frac{R}{(8)^{1/4}}$$

આમ, પ્રોટોન્સ કેન્દ્રથી $r = \frac{R}{\sqrt[4]{8}}$ અંતરે જ હોવા જોઈએ.

1.28 (a) ખેટ α ને લીધે γ પાસે વિદ્યુતક્ષેત્ર $-\frac{Q}{S2\epsilon_0} \hat{x}$ છે.



ખેટ β ને γ પાસે વિદ્યુતક્ષેત્ર $-\frac{q}{S2\epsilon_0} \hat{x}$ છે.

તેથી પરિણામી વિદ્યુતક્ષેત્ર

$$\mathbf{E}_1 = \frac{(Q-q)}{2\epsilon_0 S} (-\hat{x}) \quad \text{છે.}$$

(b) અથડામણ સમયે ખેટો β અને γ બંને સાથે હશે અને તેથી બંનેનું સ્થિતિમાન એક જ (સમાન) હશે. ધારો કે, β ઉપર q_1 અને γ ઉપર q_2 વિદ્યુતભાર છે. કોઈ બિંદુ O વિચારો. અહીં વિદ્યુતક્ષેત્ર શૂન્ય હોવું જોઈએ.

$$\alpha \text{ ને લીધે O પાસે વિદ્યુતક્ષેત્ર } \alpha = -\frac{Q}{2\epsilon_0 S} \hat{x}$$

$$\beta \text{ ને લીધે } O \text{ પાસે વિદ્યુતક્ષેત્ર } \beta = -\frac{q_1}{2\epsilon_0 S} \hat{x}$$

$$\gamma \text{ ને લીધે } O \text{ પાસે વિદ્યુતક્ષેત્ર } \gamma = -\frac{q_2}{2\epsilon_0 S} \hat{x}$$

$$\therefore \frac{-(Q+q_2)}{2\epsilon_0 S} + \frac{q_1}{2\epsilon_0 S} = 0$$

$$\Rightarrow q_1 - q_2 = Q$$

$$\text{વળી, } q_1 + q_2 = Q + q$$

$$\Rightarrow q_1 = Q + q/2$$

$$\text{અને } q_2 = q/2$$

આમ, β અને γ પર વિદ્યુતભાર અનુક્રમે $Q + q/2$ અને $q/2$ હશે.

- (c) ધારો કે સંધાત પછી d અંતરે વેગ ન છે. જો ખેટ γ નું દળ હોય, તો આ પૂર્ણમાર્ગી મુસાફરીમાં K.E. માં થતો વધારો વિદ્યુતક્ષેત્ર વડે થતા કાર્ય જેટલો જ હોવો જોઈએ.

$$\text{સંધાત પછી, } \gamma \text{ પાસે વિદ્યુતક્ષેત્ર } E_2 = -\frac{Q}{2\epsilon_0 S} \hat{x} + \frac{(Q+q/2)}{2\epsilon_0 S} \hat{x} = \frac{q/2}{2\epsilon_0 S} \hat{x}$$

જ્યારે ખેટ γ ને મુક્ત કરીએ ત્યારે સંધાત સુધીમાં થતું કાર્ય $F_1 d$ છે. જ્યાં, F_1 એ γ ખેટ ઉપર લાગતું બળ છે. સંધાત પછી તે d અંતરે પહોંચે ત્યાં સુધીમાં થતું કાર્ય $F_2 d$ છે. જ્યાં, F_2 એ γ ખેટ ઉપર લાગતું બળ છે.

$$F_1 = E_1 Q = \frac{(Q-q)Q}{2\epsilon_0 S}$$

$$\text{અને } F_2 = E_2 q/2 = \frac{(q/2)^2}{2\epsilon_0 S}$$

\therefore થતું કુલ કાર્ય

$$\frac{1}{2\epsilon_0 S} [(Q-q)Q + (q/2)^2]d = \frac{1}{2\epsilon_0 S} (Q - q/2)^2 d$$

$$\Rightarrow (1/2)mv^2 = \frac{d}{2\epsilon_0 S} (Q - q/2)^2$$

$$\therefore v = (Q - q/2) \left(\frac{d}{m\epsilon_0 S} \right)^{1/2}$$

$$1.29 \quad (i) \quad F = \frac{Qq}{r^2} \quad 1 \text{ dyne} = \frac{[1 \text{ esu જેટલો વિદ્યુતભાર}]^2}{[1 \text{ cm}]^2}$$

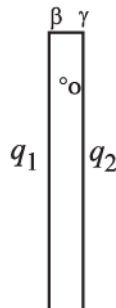
અથવા,

$$1 \text{ esu જેટલો વિદ્યુતભાર} = 1 \text{ (dyne)}^{1/2} (\text{cm})$$

$$\text{તેથી, } [1 \text{ esu જેટલો વિદ્યુતભાર}] = [F]^{1/2} L = [MLT^{-2}]^{1/2} L = M^{1/2} L^{3/2} T^{-1}$$

$$[1 \text{ esu જેટલો વિદ્યુતભાર}] = M^{1/2} L^{3/2} T^{-1}$$

આમ, CGS એકમમાં વિદ્યુતભારને M ની $(1/2)$ અને L ની $(3/2)$ એમ અપૂર્ણાંક ઘાતમાં દર્શાવવામાં આવે છે.



(ii) બે વિદ્યુતભારો વચ્ચે લાગતા કુલંબ બળનો વિચાર કરો કે, એકબીજાથી 1 cm જેટલા અંતરે છે અને દરેકના વિદ્યુતભારનું મૂલ્ય 1 esu છે. તેથી બળ $1 \text{ dyne} = 10^{-5} \text{ N}$ છે. આ પરિસ્થિતિ વિદ્યુતભારનું $x C$ મૂલ્ય ધરાવતા એકબીજાથી 10^{-2} m રાખેલા બે વિદ્યુતભારોને સમતુલ્ય છે.

$$\text{જેના પરથી, } F = \frac{1}{4\pi\epsilon_0} \cdot \frac{x^2}{10^{-4}}$$

$\Rightarrow 1 \text{ dyne} = 10^{-5} \text{ N}$. હોવું જોઈએ. આમ,

$$\frac{1}{4\pi\epsilon_0} \cdot \frac{x^2}{10^{-4}} = 10^{-5} \Rightarrow \frac{1}{4\pi\epsilon_0} = \frac{10^{-9}}{x^2} \frac{\text{Nm}^2}{\text{C}^2}$$

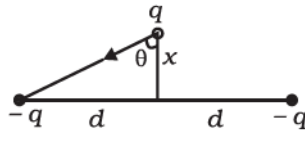
$$\text{જેની સાથે } x = \frac{1}{[3] \times 10^9} \text{ આ મળે છે.}$$

$$\frac{1}{4\pi\epsilon_0} = 10^{-9} \times [3]^2 \times 10^{18} = [3]^2 \times 10^9 \frac{\text{Nm}^2}{\text{C}^2}$$

જેની સાથે [3] $\rightarrow 2.99792458$, આપણે ચોક્કસ મૂલ્ય

$$\frac{1}{4\pi\epsilon_0} = 8.98755.... \times 10^9 \frac{\text{Nm}^2}{\text{C}^2} \text{ મેળવી શકીએ.}$$

1.30 કેન્દ્ર O ની દિશામાં q ઉપર લાગતું કુલ બળ



$$F = 2 \frac{q^2}{4\pi\epsilon_0 r^2} \cos\theta = -\frac{2q^2}{4\pi\epsilon_0 r^2} \cdot \frac{x}{r}$$

$$F = \frac{-2q^2}{4\pi\epsilon_0} \frac{x}{(d^2 + x^2)^{3/2}}$$

$$\approx \frac{-2q^2}{4\pi\epsilon_0 d^3} x = -k. \quad x \ll d \text{ માટે.}$$

આમ, ગ્રીજા વિદ્યુતભાર q ઉપર લાગતું બળ સ્થાનાંતરના સમપ્રમાણામાં છે અને તે બાકીના બે વિદ્યુતભારોના કેન્દ્ર તરફ છે. તેથી, ગ્રીજા વિદ્યુતભારની ગતિ આવર્તિત છે જેની આવૃત્તિ

$$\omega = \sqrt{\frac{2q^2}{4\pi\epsilon_0 d^3 m}} = \sqrt{\frac{k}{m}}$$

$$\text{અને તેથી, } T = \frac{2\pi}{\omega} \left[\frac{8\pi^3 \epsilon_0 m d^3}{q^2} \right]^{1/2}.$$

1.31 (a) વિદ્યુતભાર q ને રિંગની અક્ષ ઉપર સહેજ ધક્કો મારતાં આકૃતિ (b) માં દર્શાવ્યા મુજબની પરિસ્થિતિ આપે છે. બિંદુ A અને B એ રિંગનાં બે વ્યાસાંત બિંદુઓ છે.

$$A \text{ અને } B \text{ પાસે રેખીય ધરક } \frac{-Q}{2\pi R} \text{ ના}$$

લીધે q ઉપર લાગતું બળ

$$F_{A+B} = 2 \cdot \frac{-Q}{2\pi R} \cdot q \cdot \frac{1}{4\pi\epsilon_0} \cdot \frac{1}{r^2} \cdot \cos\theta$$

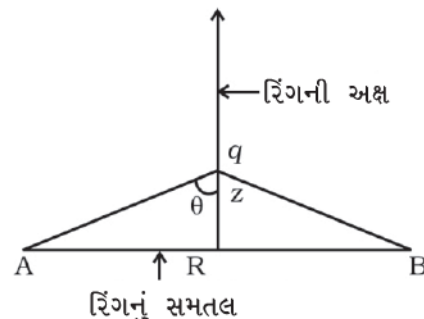
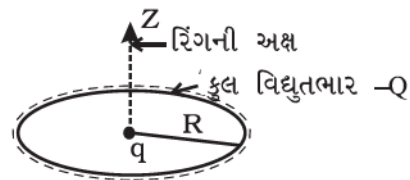
$$= \frac{-Qq}{\pi R \cdot 4\pi\epsilon_0} \cdot \frac{1}{(z^2 + R^2)} \cdot \frac{z}{(z^2 + R^2)^{1/2}}$$

રેંગના લીધે q ઉપર લાગતું કુલ બળ

$$q = (F_{A+B}) (\pi R)$$

$$= \frac{-Qq}{4\pi\epsilon_0} \frac{z}{(z^2 + R^2)^{3/2}}$$

$$= \frac{-Qq}{4\pi\epsilon_0} \quad z \ll R \text{ માટે}$$



આમ, બળ એ ઋણ સ્થાનાંતરના સમપ્રમાણમાં છે. આવા બળની અસર હેઠળની ગતિ સરળ આવર્તિગતિ છે.

(b) માંથી (a)

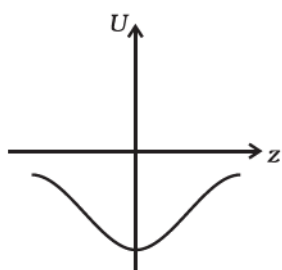
$$m \frac{d^2 z}{dt^2} = - \frac{Qqz}{4\pi\epsilon_0 R^3} \quad \text{અથવા} \quad \frac{d^2 z}{dt^2} = - \frac{Qq}{4\pi\epsilon_0 m R^3} z$$

$$\text{આ રીતે, } \omega^2 = \frac{Qq}{4\pi\epsilon_0 m R^3}. \quad \text{આથી, } T = 2\pi \sqrt{\frac{4\pi\epsilon_0 m R^3}{Qq}}$$

પ્રકરણ 2

- 2.1** (d)
- 2.2** (c)
- 2.3** (c)
- 2.4** (c)
- 2.5** (a)
- 2.6** (c)
- 2.7** (b), (c), (d)
- 2.8** (a), (b), (c)
- 2.9** (b), (c)
- 2.10** (b), (c)
- 2.11** (a), (d)
- 2.12** (a), (b)
- 2.13** (c) અને (d)

- 2.14** વધારે
- 2.15** ઉચ્ચ સ્થિતિમાન
- 2.16** હા, જો પરિમાળ જુદાં-જુદાં હોય, તો
ના
- 2.18** જો વિદ્યુતક્ષેત્ર સંરક્ષી હોય, તો બંને ડિસ્સાઓમાં થતું કાર્ય શૂન્ય હશે.
- 2.19** ધારો કે આ સાચું નથી. સપાટીની અંદરની બાજુએ સપાટીની તદ્દન નજીક (just inside) વિદ્યુતસ્થિતિમાન એ સપાટી ઉપરના સ્થિતિમાન કરતા જુદું હશે. જે સ્થિતિમાન પ્રચલનમાં પરિણામશે. આનો અર્થ એ થયો કે, સપાટીની અંદર તરફ કે બહાર તરફ નિર્દેશ કરતી રેખાઓ દર્શાવી શકાય. સપાટી સમસ્થિતિમાન હોવાથી બીજા છેડે રેખાઓ ફરી સપાટી પર હોઈ શકે નહિ. આવું તો જ શક્ય છે કે જ્યારે ક્ષેત્રરેખાઓનો બીજો છેડે અંદરના વિદ્યુતભારો ઉપર હોય જે આપેલ હકીકત કરતાં વિરોધાભાસ છે. આથી અંદરનું સમગ્ર કદ સમાન સ્થિતિમાને હોવું જોઈએ.
- 2.20** C માં ઘટાડો થશે.
સંગૃહીત ઊર્જા = $\frac{1}{2} CV^2$ અને તેથી વધારો થશે.
વિદ્યુતક્ષેત્રમાં વધારો થશે.
સંગૃહીત વિદ્યુતભાર સમાન રહેશે.
V માં વધારો થશે.



- 2.21** વિદ્યુતભારિત વાહકથી વિદ્યુતભારરહિત વાહક સુધી વિદ્યુતક્ષેત્રની દિશામાં કોઈ માર્ગ વિચારો. આ માર્ગની દિશામાં સ્થિતિમાન સતત ઘટશે. વિદ્યુતભારરહિત વાહકથી અનંત સુધીના બીજા માર્ગ પર સ્થિતિમાન ફરીથી સતત ઘટશે આથી આ પરિણામ છે.

$$U = \frac{-qQ}{4\pi\epsilon_0 R \sqrt{1+z^2/R^2}}$$

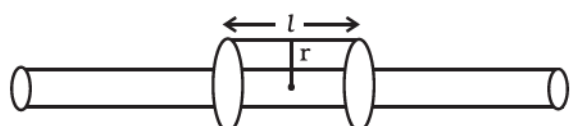
આકૃતિ z સાથે સ્થિતિઉર્જાનો ફેરફાર દર્શાવેલ છે.
સ્થાનાંતરિત કરેલ વિદ્યુતભાર - q દોલનો કરશે. માત્ર આલેખ જોઈ આપણે કોઈ નિર્ઝર્ખ કાઢી શકતા નથી.

$$V = \frac{1}{4\pi\epsilon_0} \frac{Q}{\sqrt{R^2 + z^2}}$$

- 2.24** આપેલ રેખાથી r અંતરે સ્થિતિમાન શોધવા માટે વિદ્યુતક્ષેત્રનો વિચાર કરો. સંમિતિ ઉપરથી આપણે એ નોંધી શકીએ કે, ક્ષેત્રરેખાઓ ત્રિજ્યાવર્તી બહારની તરફ હશે.
r ત્રિજ્યા અને l લંબાઈની નળાકાર ગાઉસિયન પૂર્ખ દોરો. ત્યારે,

$$\oint \mathbf{E} \cdot d\mathbf{S} = \frac{1}{\epsilon_0} \lambda l$$

$$\text{અથવા } E_r 2\pi rl = \frac{1}{\epsilon_0} \lambda l$$



$$\Rightarrow E_r = \frac{\lambda}{2\pi\epsilon_0 r}$$

તેથી, જો r_0 ત્રિજ્યા છે, તો $V(r) - V(r_0) = - \int_{r_0}^r \mathbf{E} \cdot d\mathbf{l} = \frac{\lambda}{2\pi\epsilon_0} \ln \frac{r_0}{r}$

આપેલ V માટે, $\ln \frac{r}{r_0} = -\frac{2\pi\epsilon_0}{\lambda} [V(r) - V(r_0)]$

$$\Rightarrow r = r_0 e^{-2\pi\epsilon_0 V r_0 / \lambda} \cdot e^{+2\pi\epsilon_0 V(r) / \lambda}$$

સમસ્થિતિમાન પૃષ્ઠ નળાકાર છે, જેની ત્રિજ્યા

$$r = r_0 e^{-2\pi\epsilon_0 [V(r) - V(r_0)] / \lambda}$$

2.25 ધારો કે ઊગમબિંદુથી સમતલનું અંતર x છે. બિંદુ P પાસે સ્થિતિમાન

$$\frac{1}{4\pi\epsilon_0} \frac{q}{[(x+d/2)^2 + h^2]^{1/2}} - \frac{1}{4\pi\epsilon_0} \frac{q}{[(x-d/2)^2 + h^2]^{1/2}}$$

જો આ શૂન્ય છે તો

$$\frac{1}{[(x+d/2)^2 + h^2]^{1/2}} = \frac{1}{[(x-d/2)^2 + h^2]^{1/2}}$$

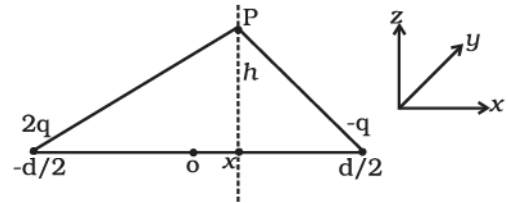
$$\text{અથવા } (x-d/2)^2 + h^2 = (x+d/2)^2 + h^2$$

$$\Rightarrow x^2 - dx + d^2/4 = x^2 + dx + d^2/4$$

$$\text{અથવા } 2dx = 0$$

$$\Rightarrow x = 0$$

આ સમતલ $x = 0$ નું સમીકરણ છે.



2.26 ધારો કે અંતિમ વોલ્ટેજ U છે. જો ડાઈલેક્ટ્રિક વગર કેપેસિટરનું કેપેસિટન્સ C હોય, તો કેપેસિટર પરનો વિદ્યુતભાર

$$Q_1 = CU$$

ડાઈલેક્ટ્રિક સાથે કેપેસિટરનું કેપેસિટન્સ ϵC હશે. આથી કેપેસિટર પર વિદ્યુતભાર

$$Q_2 = \epsilon U = \alpha CU^2$$

જ્યારે કેપેસિટર ચાર્જ હતું ત્યારે તેનો પ્રારંભિક વિદ્યુતભાર

$$Q_0 = CU_0$$

વિદ્યુતભાર સંરક્ષણના નિયમ અનુસાર

$$Q_0 = Q_1 + Q_2$$

$$\text{અથવા } CU_0 = CU + \alpha CU^2$$

$$\Rightarrow \alpha U^2 + U - u_0 = 0$$

$$\begin{aligned}\therefore U &= \frac{-1 \pm \sqrt{1 + 4\alpha U_0}}{2\alpha} \\ &= \frac{-1 \pm \sqrt{1 + 624}}{4} \\ &= \frac{-1 \pm \sqrt{625}}{4} \text{ વોલ્ટ}\end{aligned}$$

જો U ધન હોય, તો

$$U = \frac{\sqrt{625} - 1}{4} = \frac{24}{4} = 6 \text{ V}$$

2.27 જ્યારે તકતી નીચેની ખેટ સાથે સંપર્કમાં છે. સમગ્ર ખેટ સમસ્થિતમાને છે. વિદ્યુતભાર q' તકતી તરફ સ્થાનાંતરિત થાય છે.

$$\text{તકતી પર વિદ્યુતક્ષેત્ર} = \frac{V}{d} \text{ છે.}$$

$$\therefore q' = -\epsilon_0 \frac{V}{d} \pi r^2$$

તકતી પર લાગતું બળ

$$-\frac{V}{d} \times q' = \epsilon_0 \frac{V^2}{d^2} \pi r^2 \text{ છે.}$$

જો તકતીને ઉપર ઉઠાવવી હોય, તો

$$\epsilon_0 \frac{V^2}{d^2} \pi r^2 = mg$$

$$\Rightarrow V = \sqrt{\frac{mgd^2}{\pi \epsilon_0 r^2}}$$

$$\begin{aligned}\text{2.28} \quad U &= \frac{1}{4\pi\epsilon_0} \left\{ \frac{q_d q_d}{r} - \frac{q_u q_d}{r} - \frac{q_u q_d}{r} \right\} \\ &= \frac{9 \times 10^9}{10^{-15}} (1.6 \times 10^{-19})^2 \left\{ (1/3)^2 - (2/3)(1/3) - (2/3)(1/3) \right\} \\ &= 2.304 \times 10^{-13} \left\{ \frac{1}{9} - \frac{4}{9} \right\} = -7.68 \times 10^{-14} \text{ J} \\ &= 4.8 \times 10^5 \text{ eV} = 0.48 \text{ MeV} = 5.11 \times 10^{-4} (m_n c^2)\end{aligned}$$

2.29 સંપર્ક પહેલાં,

$$Q_1 = \sigma \cdot 4\pi R^2$$

$$Q_2 = \sigma \cdot 4\pi (R^2) = 4(\sigma \cdot 4\pi R^2)$$

સંપર્ક પછી,

$$\begin{aligned}Q_1' + Q_2' &= Q_1 + Q_2 = 5Q_1, \\ &= 5(\sigma \cdot 4\pi R^2)\end{aligned}$$

તેઓ સમાન સ્થિતિમાને હશે.

$$\frac{Q_1'}{R} = \frac{Q_2'}{2R}$$

$$\therefore Q_2' = 2Q'$$

$$\therefore 3Q_1' = 5(\sigma \cdot 4\pi R^2)$$

$$\therefore Q_1' = \frac{5}{3} (\sigma \cdot 4\pi R^2) \text{ અને } Q_2' = \frac{10}{3} (\sigma \cdot 4\pi R^2)$$

$$\therefore \sigma_1 = \frac{5}{3} \sigma \text{ અને } \sigma_2 = \frac{5}{6} \sigma$$

2.30 પ્રારંભમાં : $V \propto \frac{1}{C}$ અને $V_1 + V_2 = E$

$$\Rightarrow V_1 = 3V \text{ અને } V_2 = 6V$$

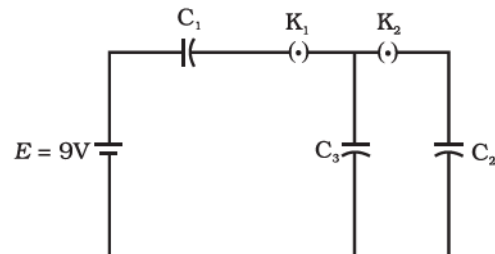
$$\therefore Q_1 = C_1 V_1 = 6C \times 3 = 18 \mu C$$

$$Q_2 = 9 \mu C \text{ અને } Q_3 = 0$$

ત્યાર પછી : $Q_2 = Q_2' + Q_3$

સાથે જે : $C_2 V + C_3 v = Q_2 \Rightarrow V = \frac{Q_2}{C_2 + C_3} = (3/2)V$

$$\therefore Q_2' = (9/2)\mu C \text{ અને } Q_3' = (9/2)\mu C$$



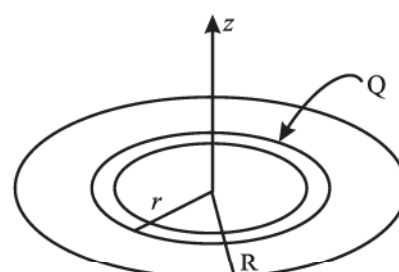
2.31 $\sigma = \frac{Q}{\pi R^2}$

$$dU = \frac{1}{4\pi\epsilon_0} \frac{\sigma \cdot 2\pi r dr}{\sqrt{r^2 + z^2}}$$

$$\therefore U = \frac{\pi\sigma}{4\pi\epsilon_0} \int_0^R \frac{2rdr}{\sqrt{r^2 + z^2}}$$

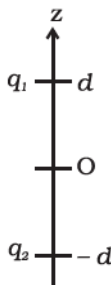
$$= \frac{2\pi\sigma}{4\pi\epsilon_0} \left[\sqrt{r^2 + z^2} \right]_0^R = \frac{2\pi\sigma}{4\pi\epsilon_0} \left[\sqrt{R^2 + z^2} - z \right]$$

$$= \frac{2Q}{4\pi\epsilon_0 R^2} \left[\sqrt{R^2 + z^2} - z \right]$$



$$2.32 \quad \frac{q_1}{\sqrt{x^2+y^2+(z-d)^2}} + \frac{q_2}{\sqrt{x^2+y^2+(z+d)^2}} = 0$$

$$\therefore \frac{q_1}{\sqrt{x^2+y^2+(z-d)^2}} = \frac{-q_2}{\sqrt{x^2+y^2+(z+d)^2}}$$



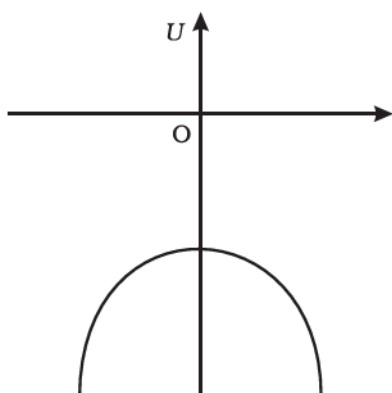
આમ, કુલ સ્થિતિમાન શૂન્ય થવા કે q_1 અને q_2 નાં ચિન્હો વિરુદ્ધ જ હોવાં જોઈએ. હવે વર્ગ કરી સાંદું રૂપ આપતાં સમીકરણ નીચે મુજબ મળે છે :

$$x^2 + y^2 + z^2 + \left[\frac{(q_1/q_2)^2 + 1}{(q_1/q_2)^2 - 1} \right] (2zd) + d^2 = 0$$

જો ગોળાનું કેન્દ્ર $\left(0, 0, -2d \left[\frac{q_1^2 + q_2^2}{q_1^2 - q_2^2} \right] \right)$ પાસે છે. આ તેનું સમીકરણ છે.

નોંધ : જો $q_1 = -q_2 \Rightarrow$ તે કે $z = 0$, જે મધ્યબિંદુમાંથી પસાર થતું સમતલ છે.

$$2.33 \quad U = \frac{1}{4\pi\epsilon_0} \left\{ \frac{-q^2}{(d-x)} + \frac{-q^2}{(d+x)} \right\}$$



$$U = \frac{-q^2}{4\pi\epsilon_0} \frac{2d}{(d^2 - x^2)}$$

$$\frac{dU}{dx} = \frac{-q^2 \cdot 2d}{4\pi\epsilon_0} \cdot \frac{2x}{(d^2 - x^2)^2}$$

$$U_0 = \frac{2q^2}{4\pi\epsilon_0 d}$$

$$\frac{dU}{dx} = 0, \quad x = 0 \text{ પાસે}$$

$x = 0$ એક સંતુલન બિંદુ છે.

$$\frac{d^2U}{dx^2} = \left(\frac{-2dq^2}{4\pi\epsilon_0} \right) \left[\frac{2}{(d^2 - x^2)^2} - \frac{8x^2}{(d^2 - x^2)^3} \right]$$

$$= \left(\frac{-2dq^2}{4\pi\epsilon_0} \right) \frac{1}{(d^2 - x^2)^3} \left[2(d^2 - x^2)^2 - 8x^2 \right]$$

$$x = 0 \text{ મી}$$

$$= \left(\frac{-2dq^2}{4\pi \epsilon_0} \right) \left(\frac{1}{d^6} \right) (2d^2), \quad \text{જે} < 0 \text{ છે.}$$

તેથી, અસ્થાયી સંતુલન છે.

પ્રકરણ 3

3.1 (b)

3.2 (a)

3.3 (c)

3.4 (b)

3.5 (a)

3.6 (a)

3.7 (b), (d)

3.8 (a), (d)

3.9 (a), (b)

3.10 (b), (c)

3.11 (a), (c)

3.12 જ્યારે કોઈ ઈલેક્ટ્રોન જંક્શન તરફ આવે છે તો તે એક્સમાન E સિવાય તે જંક્શન પાસે તારની સપાટી ઉપર સંગ્રહ થયેલ વિદ્યુતભારો (જે ડ્રિફ્ટ વેગ v_d નિયત રાખે છે)નો પણ સામનો કરે છે. આ વિદ્યુતક્ષેત્ર ઉત્પન્ન કરે છે. આ ક્ષેત્ર વેગમાનની દિશા બદલે છે.

3.13 વિશ્રાંતિકાળ (relaxation time) ઈલેક્ટ્રોન અને આયનોના વેગો ઉપર આધાર રાખે છે. આપાત વિદ્યુતક્ષેત્ર ઈલેક્ટ્રોન્સના વેગોને 1 mm/s ના કમની ઝડપ દ્વારા પ્રભાવિત (અસર) કરે છે, જે એક મહત્વની અસર છે. બીજી તરફ, T માં ફેરફાર, વેગને 10^2 m/s કમની અસર પહોંચાડે છે. જે T માં નોંધપાત્ર ફેરફાર કરી શકે છે.

[$\rho = \rho(E, T)$ જેમાં, E લાગુ પાડેલ સામાન્ય વોલ્ટેજ પરનો આધાર અવગણી શકાય તેવો હોય છે.]

3.14 વીસ્ટનબ્રિજમાં તટસ્થ બિંદુ (null point) પદ્ધતિનો ફાયદો એ છે કે, ગેલ્વેનોમિટરનો અવરોધ સંતુલન બિંદુને અસર કરતો નથી અને અવરોધો તથા ગેલ્વેનોમિટરમાં વિદ્યુતપ્રવાહ કે ગેલ્વેનોમિટરના આંતરિક અવરોધ શોધવાની કોઈ જરૂર હોતી નથી. પરિપથમાં કિચોફીના નિયમનો ઉપયોગ કરી અણાત અવરોધ $R_{\text{અણાત}}$ શોધી શકાય છે. અન્ય પદ્ધતિઓમાં આપણાને અવરોધો તથા ગેલ્વેનોમિટરમાંથી વહેતા બધા પ્રવાહો અને ગેલ્વેનોમિટરના આંતરિક અવરોધના ચોક્કસ માપનની જરૂર પડશે.

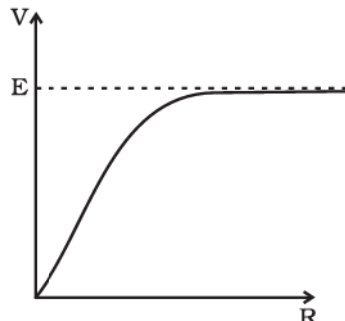
- 3.15** ધાતુની પહૂંચીઓનો અવરોધ ઓછો હોય છે અને તેને તટસ્થબિંદુ માટે પોટોન્શિયોમિટરની લંબાઈ I_1 માં ગણતરીમાં લેવાની જરૂર નથી. આપણે ફક્ત સુરેખ ખંડ (દરેકની લંબાઈ 1 મીટર) પર તારની લંબાઈ માપવાની હોય છે. જે સેમી માપપહૂંચ અથવા મીટરપહૂંચની મદદથી સરળતાથી સચોટ રીતે માપી શકાય છે.
- 3.16** બે બાબતો વિચારવી જરૂરી છે : (i) ધાતુનું મૂલ્ય અને (ii) ધાતુની સારી સુવાહકતા. મૂલ્યનું પરિબળ ચાંદીનો ઉપયોગ કરતા અટકાવે છે. ઉપરાંત Cu અને Al સારા સુવાહકો છે.
- 3.17** મિશ્ર ધાતુઓ માટે અવરોધના તાપમાન ગુણાંકનું મૂલ્ય નાનું (તાપમાન સંવેદનશીલતા ઓછી) અને અવરોધકતા વધુ હોય છે.
- 3.18** પાવરવ્યય $P_c = I^2 R_c$
જ્યાં, R_c એ જોડાણ તારોનો અવરોધ છે.

$$P_c = \frac{P^2}{V^2} R_c$$

પાવરવ્યય P_c ઘટાડવા તેનું ટ્રાન્સમિશન ઊંચા વોલ્ટેજે કરવું જોઈએ.

- 3.19** જો R વધારવામાં આવે તો, તારમાંથી પસાર થતા પ્રવાહમાં ઘટાડો થશે અને તેથી વીજસ્થિતિમાન પ્રચલન પણ ઘટશે. જેના લીધે સંતુલન લંબાઈ વધશે. આથી, J બિંદુ B તરફ સ્થાનાંતરિત થશે.
- 3.20** (i) E_1 નો ધન છેડો X સાથે જોડેલ છે અને $E_1 > E$.
(ii) E_1 નો ઋષા છેડો X સાથે જોડેલ છે.

3.21



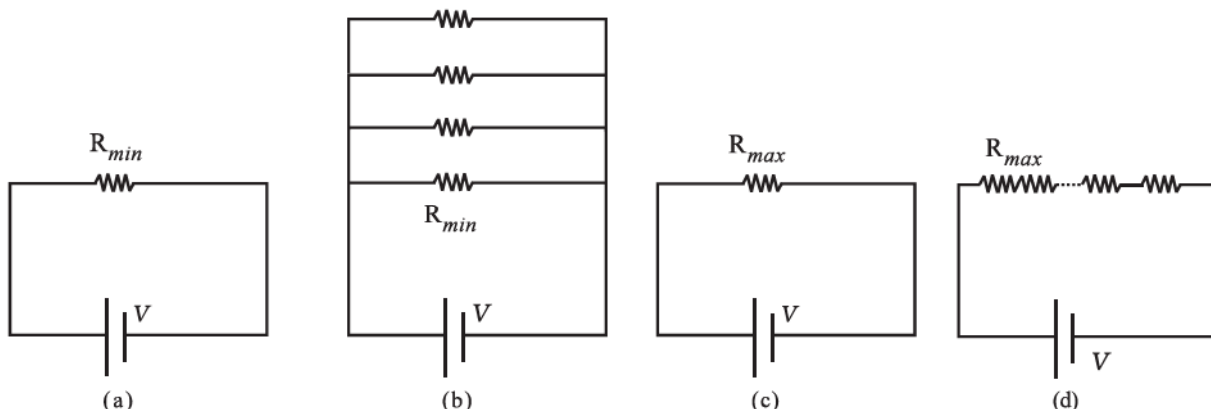
$$3.22 \quad I = \frac{E}{R + nR}; \quad \frac{E}{R + \frac{R}{n}} = 10I$$

$$\frac{1+n}{1+\frac{1}{n}} = 10 = \frac{1+n}{n+1} n = n$$

$$\therefore n = 10$$

$$3.23 \quad \frac{1}{R_p} = \frac{1}{R_1} + \dots + \frac{1}{R_n}, \quad \frac{R_{\min}}{R_p} = \frac{R_{\min}}{R_1} + \frac{R_{\min}}{R_2} + \dots + \frac{R_{\min}}{R_n} > 1$$

અને $R_S = R_1 + \dots + R_n \geq R_{max}$.



પ્રવાહ માટે આકૃતિ (b), R_{min} આકૃતિ (a) નો સમતુલ્ય માર્ગ પ્રદાન કરે છે. પરંતુ તે ઉપરાંત બાકીના $(n - 1)$ અવરોધો માટે $(n - 1)$ માર્ગ છે. આકૃતિ (b) માં પ્રવાહ $>$ આકૃતિ (a) માં પ્રવાહ આકૃતિ (b)માં પરિણામી અવરોધ $< R_{min}$. બીજો પરિપથ સ્પષ્ટ રીતે મોટો અવરોધ આપે છે. તમે આકૃતિ (c) અને (d) નો ઉપયોગ કરી $R_S > R_{max}$ સાબિત કરી શકો છો.

$$3.24 \quad I = \frac{6 - 4}{2 + 8} = 0.2A$$

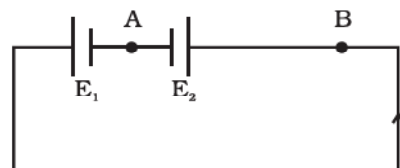
E_1 ના છેડાઓ વચ્ચે

$$\text{P.D.} = 6 - 0.2 \times 2 = 5.6 \text{ V}$$

E_2 ના છેડાઓ વચ્ચે

$$\text{P.D.} = V_{AB} = 4 + 0.2 \times 8 = 5.6 \text{ V}$$

બિંદુ B એ બિંદુ A કરતાં ઊંચા સ્થિતિમાને હશે.



$$3.25 \quad I = \frac{E + E}{R + r_1 + r_2}$$

$$V_1 = E - Ir_1 = E - \frac{2E}{r_1 + r_2 + R} r_1 = 0$$

$$\text{અથવા } E = \frac{2Er_1}{r_1 + r_2 + R}$$

$$1 = \frac{2r_1}{r_1 + r_2 + R}$$

$$r_1 + r_2 + R = 2r_1$$

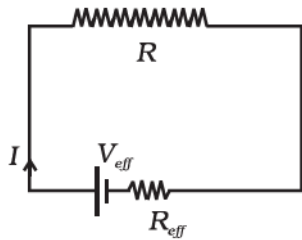
$$R = r_1 - r_2$$

$$3.26 \quad R_A = \frac{\rho l}{\pi(10^{-3} \times 0.5)^2}$$

$$R_B = \frac{\rho l}{\pi[(10^{-3})^2 - (0.5 \times 10^{-3})^2]}$$

$$\frac{R_A}{R_B} = \frac{(10^{-3})^2 - (0.5 \times 10^{-3})^2}{(.5 \times 10^{-3})^2} = 3:1$$

3.27 આકૃતિમાં દર્શાવ્યા અનુસાર કોઈ પણ શાખા (Branch)ના સમગ્ર નેટવર્કને ઘટાડીને આપણે સરળ સ્વરૂપે રજૂ કરવાનું વિચારી શકીએ છીએ, ત્યારે R માંથી પસાર થતો પ્રવાહ $I = \frac{V_{eff}}{R_{eff} + R}$ છે.



પારિમાણિક રીતે $V_{eff} = V_{eff}(V_1, V_2, \dots, V_n)$ એ વોલ્ટેજના પરિમાણ છે અને $R_{eff} = R_{eff}(R_1, R_2, \dots, R_m)$ એ અવરોધના પરિમાણ છે.

તેથી જો દરેકમાં n -ગણો વધારો થાય તો,

$$V_{eff}^{new} = nV_{eff}, R_{eff}^{new} = nR_{eff} \text{ અને } R^{new} = nR.$$

આમ, પ્રવાહ સમાન જ રહે છે.

3.28 કિચોર્ફના જંક્શનના નિયમ અનુસાર

$$I_1 = I + I_2$$

કિચોર્ફના બંધગાળા (loop)ના નિયમ અનુસાર

$$10 = IR + 10I_1 \dots \text{(i)}$$

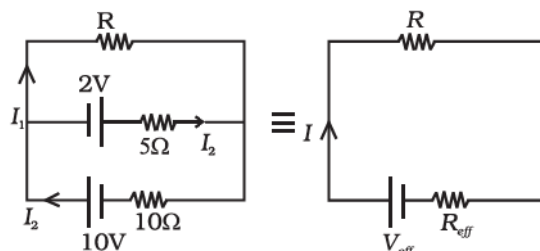
$$2 = 5I_2 - RI = 5(I_1 - I) - RI$$

$$4 = 10I_1 - 10I - 2RI \dots \text{(ii)}$$

$$(i) - (ii) \Rightarrow 6 = 3RI + 10I \text{ અથવા } 2 = I\left(R + \frac{10}{3}\right)$$

$$2 = (R + R_{eff})I \text{ ને } V_{eff} = (R + R_{eff})I \text{ સાથે સરખાવતાં અને } V_{eff} = 2V$$

$$R_{eff} = \frac{10}{3}\Omega$$



3.29 પાવર વપરાશ = 2 units/hour = 2KW = 2000J/s

$$I = \frac{P}{V} = \frac{2000}{220} \approx 9A$$

તારમાં પાવરવ્યય = RI^2 J/s

$$\begin{aligned} &= \rho \frac{l}{A} I^2 = 1.7 \times 10^{-8} \times \frac{10}{\pi \times 10^{-6}} \times 81 \text{ J/s} \\ &= 4 \text{ J/s} \\ &= 0.2 \% \end{aligned}$$

$$\text{Al તારમાં પાવરવ્યય} = 4 \frac{\rho_{Al}}{\rho_{Cu}} = 1.6 \times 4 = 6.4 \text{ J/s} = 0.32\%$$

3.30 ધારો કે પોટોન્શિયોમિટરના તારનો અવરોધ R' છે.

$$\frac{10 \times R'}{50 + R'} < 8 \Rightarrow 10 R' < 400 + 8 R'$$

$$2R' < 400 \text{ અથવા } R' < 200\Omega.$$

$$\frac{10 \times R'}{10 + R'} > 8 \Rightarrow 2R' > 80 \Rightarrow R' > 40$$

$$\frac{10 \times \frac{3}{4} R'}{10 + R'} < 8 \Rightarrow 7.5R' < 80 + 8R'$$

$$R' > 160 \Rightarrow 160 < R' < 200.$$

160 Ω અને 200 Ω ની વચ્ચે R' કોઈ મૂલ્ય પ્રાપ્ત કરશે.

400 cm ના તારના બે છેડા વચ્ચે વોલ્ટેજ ડ્રોપ > 8V.

300 cm ના તારના છેડા વચ્ચે વોલ્ટેજ ડ્રોપ < 8V.

$$\phi \times 400 > 8V \quad (\phi \rightarrow \text{વીજસ્થિતિમાન પ્રચલન})$$

$$\phi \times 300 < 8V$$

$$\phi > 2V/m$$

$$< 2\frac{2}{3} V/m$$

3.31 (a) $I = \frac{6}{6} = 1 A = nev_d A$

$$v_d = \frac{1}{10^{29} \times 1.6 \times 10^{-19} \times 10^{-6}} = \frac{1}{1.6} \times 10^{-4} \text{ m/s}$$

$$\text{K.E.} = \frac{1}{2} m_e v_d^2 \times nAl$$

$$= \frac{1}{2} \times 9.1 \times 10^{-31} \times \frac{1}{2.56} \times 10^{-8} \times 10^{29} \times 10^{-6} \times 10^{-1} \approx 2 \times 10^{-17} J$$

(b) ઓહમિક વય = $RI^2 = 6 \times 1^2 = 6 J/s$

$$\frac{2 \times 10^{-17}}{6} s \approx 10^{-17} s \text{ માં ઇલેક્ટ્રોન્સ બધી જ ગતિગીર્જ ગુમાવી દેશે.}$$

પ્રકરણ 4

4.1 (d)

4.2 (a)

4.3 (a)

4.4 (d)

4.5 (a)

4.6 (d)

4.7 (a), (b)

4.8 (b), (d)

4.9 (b), (c)

4.10 (b), (c), (d)

4.11 (a), (b), (d)

4.12 ચુંબકીયક્ષેત્રને લંબડુપે ગતિ કરતા વિદ્યુતભારિત કણ માટે, $\frac{mv^2}{R} = qvB$

$$\therefore \frac{qB}{m} = \frac{v}{R} = \omega$$

$$\therefore [\omega] = \left[\frac{qB}{m} \right] = \left[\frac{v}{R} \right] = [T]^{-1}.$$

4.13 $dW = \mathbf{F} \cdot d\mathbf{l} = 0$

$$\Rightarrow \mathbf{F} \cdot v dt = 0$$

$$\Rightarrow \mathbf{F} \cdot \mathbf{v} = 0$$

\mathbf{F} વેગ પર આધારિત છે જે દર્શાવે છે કે \mathbf{F} અને v વચ્ચેનો કોણ 90° છે. જો v (દિશા) બદલાય, તો \mathbf{F} (દિશા) પણ બદલાય તેથી ઉપરની શરત સંતોષાય છે.

4.14 ચુંબકીયબળ નિર્દેશ ફેમ પર આધારિત છે. આમાંથી ઉદ્ભવતો પરિણામી પ્રવેગ જડત્વીય નિર્દેશ ફેમો માટે નિર્દેશ ફેમ પર આધારિત નથી. (નિરપેક્ષ બૌતિકવિજ્ઞાન – non-relativistic physics)

4.15 કણ વારાફરતી પ્રવેગિત અને પ્રતિ પ્રવેગિત થશે. આથી બંને Dee's માં ગતિમાર્ગની ત્રિજ્યા બદલાશે નહિ.

4.16 O_2 પાસે I_1 ને લીધે ચુંબકીયક્ષેત્ર y -અક્ષની દિશામાં છે. બીજો તાર y -અક્ષની દિશામાં આથી બળ શૂન્ય છે.

$$4.17 \quad \mathbf{B} = \frac{1}{4}(\hat{i} + \hat{j} + \hat{k}) \frac{\mu_0 I}{2R}$$

$$4.18 \quad \text{પરિમાળરહિત રાશિ નથી} \quad [T]^{-1} = [\omega] = \left[\frac{eB}{m} \right]$$

$$4.19 \quad \mathbf{E} = E_0 \hat{i}, E_0 > 0, \mathbf{B} = B_0 \hat{k}$$

4.20 dI_1 ઉપર dI_2 ને લીધે લાગતું બળ શૂન્ય છે.

dI_2 ઉપર dI_1 ને લીધે લાગતું બળ અશૂન્ય છે.

$$4.21 \quad i_G (G + R_1) = 2, \quad 2V \text{ અવધિ માટે}$$

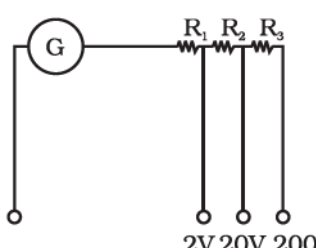
$$i_G (G + R_1 + R_2) = 20 \quad 20V \text{ અવધિ માટે}$$

$$\text{અને } i_G (G + R_1 + R_2 + R_3)$$

$$= 200, \quad 200V \text{ અવધિ માટે}$$

$$\text{સાંકુ રૂપ આપતાં, } R_1 = 1990\Omega$$

$$R_2 = 18 \text{ k}\Omega \text{ અને } R_3 = 180 \text{ k}\Omega$$



4.22 $F = BIl \sin \theta = BIl$

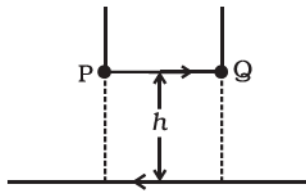
$$B = \frac{\mu_0 I}{2\pi h}$$

$$F = mg = \frac{\mu_0 I^2 l}{2\pi h}$$

$$h = \frac{\mu_0 I^2 l}{2\pi mg} = \frac{4\pi \times 10^{-7} \times 250 \times 25 \times 1}{2\pi \times 2.5 \times 10^{-3} \times 9.8}$$

$$= 51 \times 10^{-4}$$

$$h = 0.51 \text{ cm}$$



4.23 જ્યારે ચુંબકીયક્ષેત્ર લાગુ પાડેલ ન હોય, ત્યારે $\Sigma \tau = 0$

$$Mgl = W_{coil} l$$

$$500 \text{ g } l = W_{coil} l$$

$$W_{coil} = 500 \times 9.8 \text{ N}$$

જ્યારે ચુંબકીયક્ષેત્ર લાગુ પાડવામાં આવે ત્યારે,

$$Mgl + mgl = W_{coil} l + IBL \sin 90^\circ l$$

$$mgl = BIL l$$

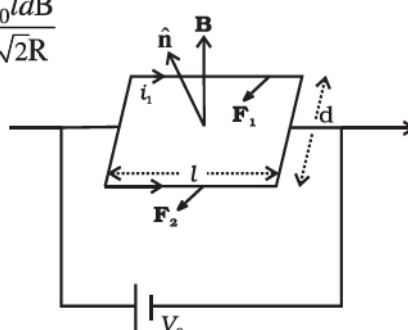
$$m = \frac{BIL}{g} = \frac{0.2 \times 4.9 \times 1 \times 10^{-2}}{9.8} = 10^{-3} \text{ kg} = 1 \text{ g}$$

4.24 $F_1 = i_1 l B = \frac{V_0}{R} l B \quad \tau_1 = \frac{d}{2\sqrt{2}} \quad F_1 = \frac{V_0 l d B}{2\sqrt{2} R}$

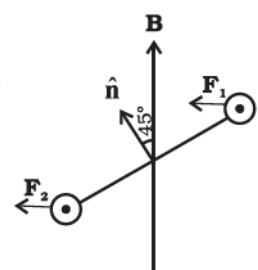
$$F_2 = i_2 l B = \frac{V_0}{2R} l B \quad \tau_2 = \frac{d}{2\sqrt{2}} \quad F_2 = \frac{V_0 l d B}{4\sqrt{2} R}$$

પરિણામી ટોક $\tau = \tau_1 - \tau_2$

$$\tau = \frac{1}{4\sqrt{2}} \frac{V_0 A B}{R}$$



ઉપરનો દેખાવ



બાજુથી (પાશ્ચ) દેખાવ

4.25 કારણ કે B એ x -અક્ષની દિશામાં છે. વર્તુળાકાર કક્ષા માટે બે કષોના વેગમાનો $y-z$ સમતલમાં છે. ધારો કે ઇલેક્ટ્રોન અને પોઝિટ્રોનના વેગમાનો અનુક્રમે p_1 અને p_2 છે. આ બંને R ત્રિજ્યાનાં વર્તુળોનું નિરૂપણ કરે છે. આ બંને વિરુદ્ધ દિશાનાં વર્તુળોનું નિરૂપણ કરે છે. જો p_1 એ y -અક્ષ સાથે θ ખૂણો બનાવે, તો p_2 પણ તેટલો જ ખૂણો બનાવે. સંબંધિત વર્તુળોનાં કેન્દ્રો વેગમાનોને લંબ જ અને R અંતરે હોવા જોઈએ. ઇલેક્ટ્રોનનું કેન્દ્ર Ce અને પોઝિટ્રોનનું કેન્દ્ર Cp પાસે વિચારો

Ce ના યામ

$$Ce \equiv (0, -R \sin \theta, R \cos \theta) \quad \text{છ.}$$

Cp ના યામ

$$Cp \equiv (0, -R \sin \theta, \frac{3}{2} R - R \cos \theta) \quad \text{છ.}$$

જો બંને વર્તુળનાં કેન્દ્રો વચ્ચેનું અંતર $2R$ કરતા વધુ હોય, તો બંને વર્તુળાકાર કક્ષાઓ સંપાત થશે નહિ.

ધારો કે Cp અને Ce વચ્ચેનું અંતર d છ.

$$\text{તેથી, } d^2 = (2R \sin \theta)^2 + \left(\frac{3}{2} R - R \cos \theta\right)^2$$

$$= 4R^2 \sin^2 \theta + \frac{9}{4} R^2 - 6R^2 \cos \theta + 4R^2 \cos^2 \theta \\ = 4R^2 + \frac{9}{4} R^2 - 6R^2 \cos \theta$$

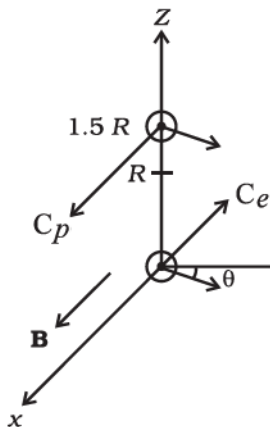
d એ $2R$ કરતાં વધુ હોય જોઈએ.

$$d^2 > 4R^2$$

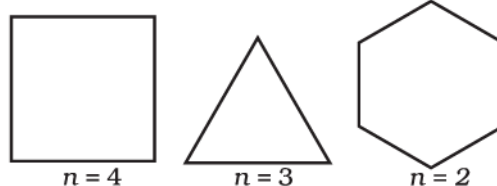
$$\Rightarrow 4R^2 + \frac{9}{4} R^2 - 6R^2 \cos \theta > 4R^2$$

$$\Rightarrow \frac{9}{4} > 6 \cos \theta$$

$$\text{અથવા } \cos \theta < \frac{3}{8}$$



4.26



$$\text{ક્ષેત્રફળ : } A = \frac{\sqrt{3}}{4} a^2 \quad A = a^2 \quad A = \frac{3\sqrt{3}}{4} a^2$$

બધા માટે વિદ્યુતપ્રવાહ I સમાન છે.

ચુંબકીય ચાકમાત્રા $m = nIA$

$$\therefore m = Ia^2\sqrt{3} \quad 3a^2I \quad 3\sqrt{3}a^2I$$

(નોંધ : m ગુણોત્તર શ્રેષ્ઠીમાં છે.)

4.27

(a) B(z) એ z-અક્ષની જ દિશાનો નિર્દેશ કરે છે અને તેથી J(L) એ Lનું એકંદરે વધતું વિધેય છે.

(b) $J(L) + \text{મોટા અંતરેથી } C \text{ પર યોગદાન} = \mu_0 I$

$$\therefore \text{જેમ } L \rightarrow \infty$$

મોટા અંતરેથી યોગદાન $\rightarrow 0$ (કારણ કે $B \propto 1/r^3$)

$$J(\infty) = \mu_0 I$$

$$(c) B_z = \frac{\mu_0 I R^2}{2(z^2 + R^2)^{3/2}}$$

$$\int_{-\infty}^{\infty} B_z dz = \int_{-\infty}^{\infty} \frac{\mu_0 I R^2}{2(z^2 + R^2)^{3/2}} dz$$

$$z = R \tan \theta \text{ લેતાં, } dz = R \sec^2 \theta d\theta$$

$$\therefore \int_{-\infty}^{\infty} B_z dz = \frac{\mu_0 I}{2} \int_{\pi/2}^{\pi/2} \cos \theta d\theta = \mu_0 I$$

$$(d) B(z)_{\text{ચોરસ}} < B(z)_{\text{અનુષ્ટાળ ગુંચણું}}$$

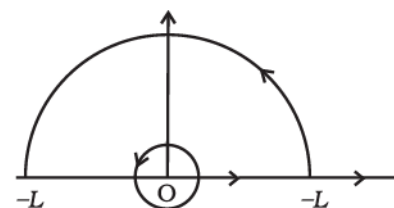
$$\therefore \mathfrak{I}(L)_{\text{ચોરસ}} < \mathfrak{I}(L)_{\text{વર્તુળ ગુંચણું}}$$

પરંતુ (b)માંની દલીલોનો ઉપયોગ કરતાં,

$$\mathfrak{I}(\infty)_{\text{ચોરસ}} < \mathfrak{I}(\infty)_{\text{અનુષ્ટાળ}}$$

- 4.28** જ્યારે, $i_1 = 10\text{mA}$ $i_G \cdot G = (i_1 - i_G)(S_1 + S_2 + S_3)$
 $i_2 = 100\text{mA}$ $i_G(G + S_1) = (i_2 - i_G)(S_2 + S_3)$
 $i_3 = 1\text{A}$ $i_G(G + S_1 + S_2) = (i_3 - i_G)(S_3)$
સાઢું રૂપ આપતાં, $S_1 = 1\text{W}$, $S_2 = 0.1\text{W}$ અને $S_3 = 0.01\text{W}$

- 4.29** (a) શૂન્ય
(b) $\frac{\mu_0}{2\pi} \frac{i}{R}$, ડાબી બાજુ AO ને લંબ
(c) $\frac{\mu_0}{\pi} \frac{i}{R}$, ડાબી બાજુ AO ને લંબ



પ્રકરણ 5

- 5.1** (c)
5.2 (a)
5.3 (c)
5.4 (b)
5.5 (b)
5.6 (a), (d)
5.7 (a), (d)
5.8 (a), (d)
5.9 (a), (c), (d)
5.10 (b), (c), (d)

$$\mathfrak{H}_p \approx \frac{e\hbar}{2m_p} \text{ અને } \mathfrak{H}_e \approx \frac{e\hbar}{2m_e}, \quad \hbar = \frac{h}{2\pi}$$

$$\mathfrak{H}_p \gg \mathfrak{H}_e \text{ કારણે } m_p \gg m_e.$$

5.12 $Bl = \mu_0 Ml = \mu_0(I + I_M)$ અને $H = 0 = I$

$$Ml = I_M = 10^6 \times 0.1 = 10^5 \text{ A}$$

5.13 $x \propto \text{ધનતા } \rho.$ હવે $\frac{\rho_N}{\rho_{Cu}} = \frac{28g / 22.4 \text{ Lt}}{8g / cc} = \frac{3.5}{22.4} \times 10^{-3} = 1.6 \times 10^{-4}$

$$\frac{x_N}{x_{Cu}} = 5 \times 10^{-4} \text{ (આપેલ માહિતીમાંથી).}$$

તેથી મુખ્ય તર્ફાવત ધનતાના લીધે છે.

5.14 પ્રતિચુંબકત્વ (ડાયા મેગનેટિઝમ) ઈલેક્ટ્રોનોની કક્ષીય ગતિને લીધે હોય છે. જે લાગુ પાઢેલ ક્ષેત્રની વિરુદ્ધ ચુંબકીય ચાકમાત્રા ઉત્પન્ન કરે છે, આથી તે તાપમાનને કારણે વધુ અસર પામતું નથી.

પેરામેગનેશિયમ અને ફેરામેગનેશિયમ ચુંબકીય ચાકમાત્રા લાગુ પાઢેલ ક્ષેત્રની દિશામાં ગોઈવાય છે. જે તાપમાન વધે તો આ ગોઈવણીમાં વિક્ષેપ ઉત્પન્ન થાય છે અને તેથી બંનેની સસેન્ટિબિલિટી તાપમાન વધવાથી ઘટે છે.

5.15



(i) ચુંબકીય દૂર

(ii) ચુંબકીય ચાકમાત્રા ડાબીથી જમણી તરફ

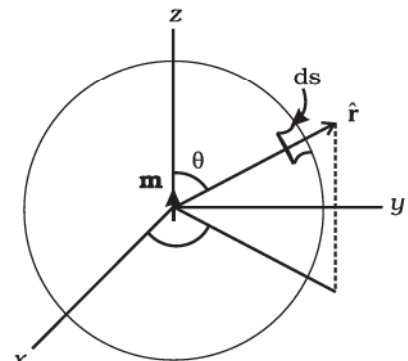
5.16 $\mathbf{B} = \frac{\mu_0}{4\pi} \frac{3m \cdot \hat{r}}{r^3}, m = m\hat{k}$

$$ds = \hat{r} \cdot r^2 \sin \theta d\theta d\phi$$

$$0 \leq \theta \leq \pi, 0 \leq \phi \leq$$

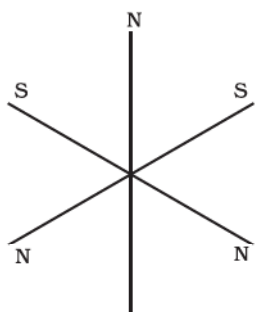
$$\oint \mathbf{B} \cdot ds = \frac{\mu_0 m}{4\pi} \int \frac{3 \cos \theta}{r^3} r^2 \sin \theta d\theta d\phi$$

$$= 0 [\theta સંકલનને લીધે]$$



5.17 પરિણામી $m = 0$.

આકૃતિમાં માત્ર શક્યતા દર્શાવી છે.



5.18 $E(r) = c B(r), p = \frac{m}{c}$. દ્વિ-ધૂવીનું દળ અને

જડત્વની ચાકમાત્રા સમાન છે.

5.19 $T = 2\pi \sqrt{\frac{I}{mB}}, I' = \frac{1}{2} \times \frac{1}{4} I$ અને $m' = \frac{m}{2}, T' = \frac{1}{2} T$

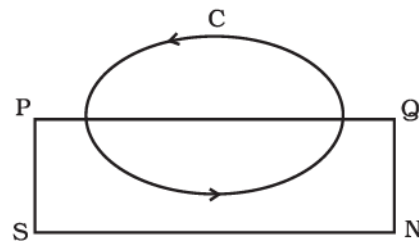
5.20 ગજિયા ચુંબકમાંથી પસાર થતી \mathbf{B} ની રેખા વિચારો. તે બંધ ગાળો રચતી હોવી જ જોઈએ. ધારો કે C એમ્પિરિયન લૂપ છે.

$$\int_Q^P \mathbf{H} \cdot d\mathbf{l} = \int_Q^P \frac{\mathbf{B}}{\mu_0} \cdot d\mathbf{l} > 0$$

$$\oint_{PQP} \mathbf{H} \cdot d\mathbf{l} = 0$$

$$\int_P^Q \mathbf{H} \cdot d\mathbf{l} < 0$$

$P \rightarrow Q$ ગાજિયા ચુંબકની અંદર છે.
તેથી \mathbf{H} એ $d\mathbf{l}$ સાથે ગુરુકોણ બનાવશે.



5.21 (i) z-અક્ષની દિશામાં

$$\mathbf{B} = \frac{\mu_0}{4\pi} \frac{2m}{r^3}$$

$$\int_a^R \mathbf{B} \cdot d\mathbf{l} = \frac{\mu_0}{4\pi} 2m \int_a^R \frac{dz}{z^3} = \frac{\mu_0 m}{2\pi} \left(-\frac{1}{2}\right) \left(\frac{1}{R^2} - \frac{1}{a^2}\right)$$

(ii) R ત્રિજ્યાના વર્તુળના ચોથા ભાગની દિશામાં

$$B_\theta = \frac{\mu_0}{4\pi} \frac{-m \cdot \hat{\theta}}{R^3} = \frac{-\mu_0}{4\pi} \frac{m}{R^3} (-\sin \theta)$$

$$\mathbf{B} \cdot d\mathbf{l} = \frac{\mu_0 m}{4\pi R^2} \sin \theta \, d\theta$$

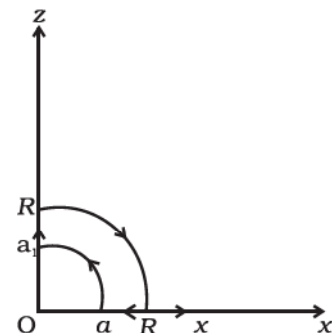
$$\int_0^{\frac{\pi}{2}} \mathbf{B} \cdot d\mathbf{l} = \frac{\mu_0 m}{4\pi R^2}$$

(iii) x-axis ની દિશામાં

$$\mathbf{B} = \frac{\mu_0}{4\pi} \left(\frac{-m}{x^3} \right)$$

$$\int \mathbf{B} \cdot d\mathbf{l} = 0$$

(iv) a ત્રિજ્યાના વર્તુળના ચોથા ભાગની દિશામાં



$$\mathbf{B} \cdot d\mathbf{l} = \frac{-\mu_0 m}{4\pi a^2} \sin \theta \, d\theta, \quad \int \mathbf{B} \cdot d\mathbf{l} = -\frac{-\mu_0 m}{4\pi a^2} \int_0^{\frac{\pi}{2}} \sin \theta \, d\theta = \frac{-\mu_0 m}{4\pi a^2}$$

$$\text{સરવાળો કરતાં } \oint_C \mathbf{B} \cdot d\mathbf{l} = 0$$

5.22 χ પરિમાણારહિત છે.

χ એ Hની હાજરીમાં પ્રેરિત થતી ચુંબકીય ચાકમાત્રા ઉપર આધાર રાખે છે. H એ e વિદ્યુતભાર ધરાવતા પરમાણવીય ઈલેક્ટ્રોનોને સંયોજિત કરે છે.

m ઉપર તેની અસર પ્રવાહ I દ્વારા થાય છે, જેમાં e નું બીજું પરિબળ સામેલ હોય છે. સંયોજન " $\mu_0 e^2$ " એ 'વિદ્યુતભાર' Q ના પરિમાણ પર આધારિત નથી.

$$\chi = \mu_0 e^2 m^\alpha v^\beta R^\gamma$$

$$\mu_0 c^2 = \frac{1}{c^2} \frac{e^2}{\epsilon_0} \sim \frac{1}{c^2} \frac{e^2}{\epsilon_0 R} \cdot R \sim \frac{\text{ગ્રહ-વિસ્તાર}}{c^2}$$

$$[\chi] = M^0 L^0 T^0 Q^0 = \frac{ML^3 T^{-2}}{L^2 T^{-2}} M^\alpha \left(\frac{L}{T}\right)^\beta L^\gamma Q^0$$

$$\alpha = -1, \beta = 0, \gamma = -1$$

$$\chi = \frac{\mu_0 e^2}{mR} \sim \frac{10^{-6} \times 10^{-38}}{10^{-30} \times 10^{-10}} \sim 10^{-4}$$

5.23 (i) $|\mathbf{B}| = \frac{\mu_0 m}{4\pi R^3} (4\cos^2\theta + \sin^2\theta)^{1/2}$

$$\frac{|\mathbf{B}|^2}{\left(\frac{\mu_0}{4\pi R^3}\right)^2 m^2} = 3\cos^2\theta + 1, \quad \theta = \frac{\pi}{2} \text{ પાસે ન્યૂનતમ.}$$

$|\mathbf{B}|$ ચુંબકીય વિષુવવૃત્ત પર ન્યૂનતમ છે.

(ii) નતીકોણ (dip angle) $\tan = \frac{B_V}{B_H} = 2\cot$

$\theta = \frac{\pi}{2}$ પાસે નતીકોણ શૂન્ય બને છે. ચુંબકીય વિષુવવૃત્ત ફરીથી ચોક્કસ સ્થાને છે.

(iii) જ્યારે $\left| \frac{B_V}{B_H} \right| = 1$ ત્યારે નતીકોણ (dip angle) $\pm 45^\circ$.

$$2\cot\theta = 1$$

$$\theta = \tan^{-1} 2 \text{ ચોક્કસ સ્થાન છે.}$$

5.24 સંલગ્ન આકૃતિનો સંદર્ભ લો.

1. P બિંદુ S સમતલમાં છે.

(સોધ ઉત્તર તરફ નિર્દેશ કરશો.)

દિક્કપાતકોણ (declination) = 0

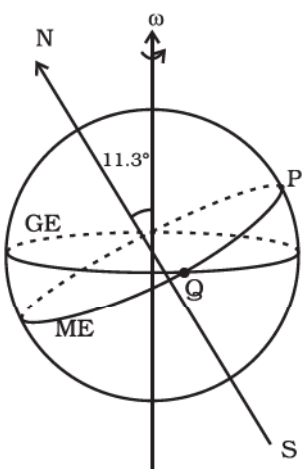
P એ ચુંબકીય વિષુવવૃત્ત પર પડો છે.

\therefore નતીકોણ (dip angle) = 0

2. Q એ ચુંબકીય વિષુવવૃત્ત પર છે.

\therefore નીતકોણ (dip angle) = 0

પરંતુ દિક્કપાતકોણ = 11.3°



5.25 $n_1 = \frac{L}{2\pi R} \qquad n_2 = \frac{L}{4a}$

$$m_1 = n_1 IA_1 \qquad m_2 = n_2 IA_2$$

$$= \frac{L}{2\pi R} I\pi R \qquad = \frac{L}{4a} Ia^2 = \frac{L}{4} Ia$$

$$I_1 = \frac{MR^2}{2} \quad (\text{વ્યાસમાંથી પસાર થતી કોઈ અક્ષને અનુલક્ષીને જડત્વની ચાકમાત્રા)$$

$$I_2 = \frac{Ma^2}{12}$$

$$\omega_1^2 = \frac{m_1 B}{I_1} \quad \omega_2^2 = \frac{m_2 B}{I_2}$$

$$\frac{m_1}{I_1} = \frac{m_2}{I_2}$$

$$\frac{LR}{2\pi} \times \frac{I}{\frac{MR^2}{2}} = \frac{\frac{L}{4} Ia}{\frac{Ma^2}{12}} \Rightarrow a = \frac{3\pi}{4} R$$

પ્રકરણ 6

- 6.1** (c)
- 6.2** (b)
- 6.3** (a)
- 6.4** (d)
- 6.5** (a)
- 6.6** (b)
- 6.7** (a), (b), (d)
- 6.8** (a), (b), (c)
- 6.9** (a), (d)
- 6.10** (b), (c)

6.11 તારનો કોઈ પણ ભાગ ગતિમાં ન હોવાથી ગતિકીય emf શૂન્ય છે. ચુંબક સ્થિર હોવાથી ચુંબકીયક્ષેત્રમાં સમય સાથે ફેરફાર થતો નથી. એનો અર્થ એ થાય કે કોઈ જ વિદ્યુત ચુંબકીય બળ ઉદ્ભવતું નથી, તેથી પરિપथમાં પ્રવાહ પસાર થતો નથી.

6.12 પ્રવાહ વધશે. તારને એકબીજાથી દૂર ખેંચવામાં આવે છે ત્યારે તેમની વચ્ચે થતી જગ્યામાં ફ્લાક્સ લિકેજ (ઘટાડો) થાય છે. લેન્જના નિયમ મુજબ પ્રેરિત વિદ્યુતચાલક બળ આ ઘટાડાનો વિરોધ કરે છે. જે પૂર્તતા વિદ્યુતપ્રવાહના વધારાથી થાય છે.

- 6.13** પ્રવાહ ઘટી જશે. જ્યારે સોલેનોઇડમાં લોખંડનો ગર્ભ (core) જેવો દાખલ કરવામાં આવે છે કે, ચુંબકીયક્ષેત્રમાં વધારો થાય છે અને ફ્લક્સમાં વધારો થાય છે. લેન્જના નિયમ મુજબ પ્રેરિત વિદ્યુતચાલક બળ આ વધારાનો વિરોધ કરે છે જેની પૂર્તતા વિદ્યુત-પ્રવાહ ઘટાડા દ્વારા થાય છે.
- 6.14** પ્રારંભમાં ધાતુની રિંગમાંથી કોઈ જ ફ્લક્સ પસાર થતું નથી. જ્યારે રિંગમાંથી પ્રવાહ પસાર કરવામાં આવે છે ત્યારે તેમાંથી ફ્લક્સ પસાર થાય છે. લેન્જના નિયમ અનુસાર આ વધારાનો વિરોધ થાય છે જે ત્યારે જ શક્ય બને કે જ્યારે રિંગ સોલેનોઇડથી દૂર જાય. આકૃતિ 6.5માં દર્શાવેલ વિગતો પરથી આ ઘટનાનું વિશ્લેષણ કરી શકાય છે. જો સોલેનોઇડમાં પ્રવાહ આકૃતિમાં દર્શાવ્યા મુજબનો હોય, તો ફ્લક્સ (નીચે તરફની દિશામાં)માં વધારો થાય છે અને તેને કારણે રિંગમાં વિષમ ઘડી દિશામાં (રિંગની ઉપરથી જોતાં) પ્રવાહ હોય છે જે સોલેનોઇડમાં વહેતા પ્રવાહની વિપરીત દિશામાં છે. આ પ્રવાહો એકબીજાને અપાકર્ષ છે, તેથી રિંગ ઉપર તરફ ઉંચકાય છે.
- 6.15** જ્યારે સોલેનોઇડમાંથી પસાર થતા પ્રવાહમાં ઘટાડો થાય છે ત્યારે રિંગમાંથી વહેતા પ્રવાહની દિશા સોલેનોઇડના પ્રવાહની દિશામાં જ હોય છે. પરિણામે અહીં અધોદિશામાં બળ લાગતું હશે. આનો અર્થ રિંગ કાર્ડબોર્ડ ઉપર જ રહેશે. કાર્ડબોર્ડનું રિંગ પરની ઉપર તરફની પ્રક્રિયા વધી જશે.
- 6.16** ચુંબક માટે ધાતુની પાઈપમાં એડી પ્રવાહો ઉત્પન્ન થાય છે. આ પ્રવાહો ચુંબકની ગતિનો વિરોધ કરશે. તેથી ચુંબકનો અધોદિશાનો પ્રવેગ ગુરુત્વપ્રવેગ કરતાં ઓછો હોય છે. બીજી તરફ બિનચુંબકીય લોખંડનો સણિયો એડી પ્રવાહ ઉત્પન્ન કરતો નથી. તેથી તે ગુરુત્વીય પ્રવેગની અસર હેઠળ પતન પામે છે. આમ, ચુંબક નીચે આવવા માટે વધુ સમય લેશે.
- 6.17** રિંગમાંથી પસાર થતું ફ્લક્સ

$$\phi = B_0(\pi a^2) \cos \omega t$$

$$\varepsilon = B(\pi a^2) \omega \sin \omega t$$

$$I = B(\pi a^2) \omega \sin \omega t / R$$

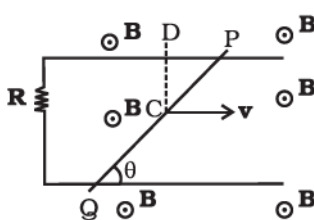
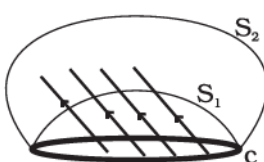
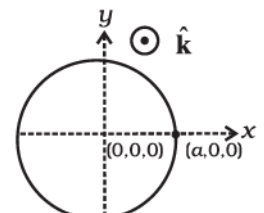
પ્રવાહ $t = \frac{\pi}{2\omega}$; $I = \frac{B(\pi a^2) \omega}{R} \hat{j}$ દિશામાં

$$t = \frac{\pi}{\omega}; I = 0$$

$$t = \frac{3\pi}{2\omega}; I = \frac{B(\pi a^2) \omega}{R}, -\hat{j} દિશામાં$$

- 6.18** બંને પૂછો માટે ફ્લક્સનો જવાબ સમાન મળશે. કોઈ પણ પૃષ્ઠમાંથી પસાર થતી ચુંબકીયક્ષેત્ર રેખાઓની સંખ્યા એટલે ફ્લક્સ. (ક્ષેત્રફળ $\Delta A \perp B$ માં $dN = B \Delta A$ ક્ષેત્રરેખા દોરી શકાય છે.) ચુંબકીયક્ષેત્ર B ની ક્ષેત્રરેખાનો અંત અથવા અવકાશમાંથી તેની શરૂઆત થતી નથી (તેઓ બંધગાળા રચે છે). પૃષ્ઠ S_1 માંથી પસાર થતી ક્ષેત્રરેખાની સંખ્યા જેટલી જ સંખ્યાની ક્ષેત્રરેખાઓ પૃષ્ઠ S_2 માંથી પસાર થાય છે.

- 6.19** ગતિકીય વિદ્યુતક્ષેત્ર રેખાઓન કરેલ CD લાઈન પર (v અને B બંનેને લંબ અને $v \times B$ ની દિશામાં) $= vB$



PQ પર લાગતું E.M.F.

$$= (PQ \text{ ની લંબાઈ}) \times (PQ \text{ પરનું વિદ્યુતક્ષેત્ર})$$

$$= \frac{d}{\cos \theta} \times vB \cos \theta = dvB$$

તેથી $I = \frac{dvB}{R}$ જે વીજભાર q થી સ્વતંત્ર છે.

6.20 AB માં પ્રવાહના ફેરફારનો દર મહત્તમ છે, તેથી $5s < t < 10s$ વચ્ચે મહત્તમ back emf ઉદ્ભવશે.

$$\text{જો } \left(t = 3s, \frac{dI}{dt} = 1/5 \right) \text{ માટે } u = L \cdot 1/5 \text{ (L અધિન છે.)}$$

$$5s < t < 10s \text{ માટે, } u_1 = -L \frac{3}{5} = -\frac{3}{5}L = -3e$$

$$\text{આમ, } t = 7 \text{ s પાસે } u_1 = -3e$$

10s < t < 30s માટે

$$u_2 = L \frac{2}{20} = \frac{L}{10} = \frac{1}{2}e$$

$$t > 30s \text{ માટે, } u_2 = 0$$

6.21 અન્યોન્ય પ્રેરકત્વ $= \frac{10^{-2}}{2} = 5\text{mH}$

$$\text{ફૂલક્સ} = 5 \times 10^{-3} \times 1 = 5 \times 10^{-3} \text{ Wb}$$

6.22 ધારો કે, $t = 0$ સમયે સમાંતર તાર $y = 0$ અને $y = d$ પાસે છે અને AB $x = 0$ પર છે. જે v વેગથી ગતિ કરે છે.

t સમયે AB તાર $x(t) = vt$ પર છે.

$$\text{ગતિકીય e.m.f.} = (B_0 \sin \omega t) vd(-\hat{j})$$

OBAC માં થતાં ક્ષેત્રના ફેરફારને કારણે,

$$\text{e.m.f.} = -B_0 \omega \cos \omega t x(t)d$$

$$\text{કુલ e.m.f.} = -B_0 d [\omega x \cos(\omega t) + v \sin(\omega t)]$$

$$\text{OBAC માં વીજપ્રવાહ (સમઘડી દિશામાં)} = \frac{B_0 d}{R} (\omega x \cos \omega t + v \sin \omega t)$$

$$\text{િ દિશામાં જરૂરી બળ} = \frac{B_0 d}{R} (\omega x \cos \omega t + v \sin \omega t) \times d \times B_0 \sin \omega t$$

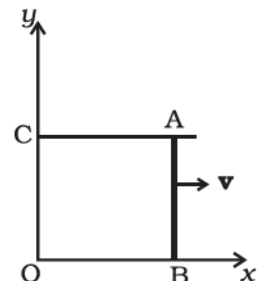
$$= \frac{B_0^2 d^2}{R} (\omega x \cos \omega t + v \sin \omega t) \sin \omega t.$$

6.23 (i) ધારો કે t સમયે તારની સ્થિતિ $x = x(t)$ છે.

$$\therefore \text{ફૂલક્સ} = B(t) l x(t)$$

$$\therefore E = -\frac{d\phi}{dt} = -\frac{dB(t)}{dt} lx(t) - B(t)l \cdot v(t)$$

(બીજું પદ ગતિકીય વિદ્યુતચાલક બળને કારણે છે.)



$$I = \frac{1}{R} E$$

$$\text{અણ} = \frac{lB(t)}{R} \left[-\frac{dB}{dt} l x(t) - B(t) l v(t) \right] \hat{i}$$

$$m \frac{d^2x}{dt^2} = -\frac{l^2 B}{R} \frac{dB}{dt} x(t) - \frac{l^2 B^2}{R} \frac{dx}{dt}$$

$$(ii) \quad \frac{dB}{dt} = 0, \quad \frac{d^2x}{dt^2} + \frac{l^2 B^2}{mR} \frac{dx}{dt} = 0$$

$$\frac{dv}{dt} + \frac{l^2 B^2}{mR} v = 0$$

$$v = A \exp\left(-\frac{l^2 B^2 t}{mR}\right)$$

$$t = 0 \text{ માટે } v = u$$

$$v(t) = u \exp(-l^2 B^2 t / mR)$$

$$(iii) \quad I^2 R = \frac{B^2 l^2 v^2(t)}{R^2} \times R = \frac{B^2 l^2}{R} u^2 \exp(-2l^2 B^2 t / mR)$$

$$\text{પાવરવ્યય} = \int_0^t I^2 R dt = \frac{B^2 l^2}{R} u^2 \frac{mR}{2l^2 B^2} \left[1 - e^{-(l^2 B^2 t / mR)} \right]$$

$$= \frac{m}{2} u^2 - \frac{m}{2} v^2(t)$$

= ગતિઉર્જામાં થતો ઘટાડો

6.24 સમય $t = 0$ અને $t = \frac{\pi}{4\omega}$ ની વચ્ચે સળિયો OP, ભૂજા BD સાથે સંપર્કમાં આવે છે, ત્યારે t સમયે $0 < t < \frac{\pi}{4\omega}$.

ધારો કે સંપર્ક લંબાઈ OQ x જેટલી છે.

ક્ષેત્રફળ ODQ માંથી પસાર થતું ફ્લક્સ

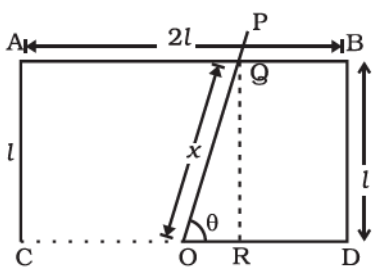
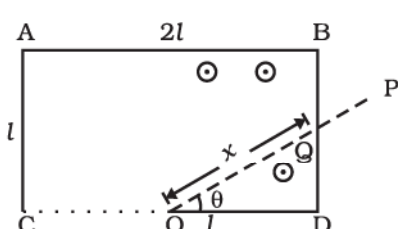
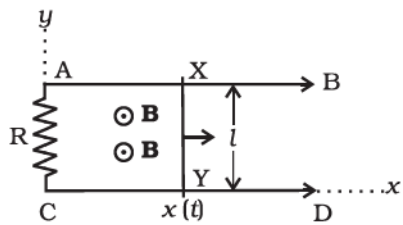
$$\phi = B \frac{1}{2} QD \times OD = B \frac{1}{2} l \tan \theta \times l$$

$$= \frac{1}{2} Bl^2 \tan \theta \quad જ્યાં, \theta = \omega t$$

આ રીતે ઉદ્ભવતા emf નું મૂલ્ય

$$\epsilon = \frac{d\phi}{dt} = \frac{1}{2} Bl^2 \omega \sec^2 \omega t$$

રચાતો પ્રવાહ $I = \frac{\epsilon}{R}$ જ્યાં, R સંપર્કમાં રહેલા સળિયાનો અવરોધ છે.



$$R = \lambda x = \frac{\lambda l}{\cos \omega t}$$

$$\therefore I = \frac{1}{2} \frac{Bl^2 \omega}{\lambda l} \sec^2 \omega t \cos \omega t = \frac{Bl \omega}{2 \lambda \cos \omega t}$$

સમયગાળા $\frac{\pi}{4\omega} < t < \frac{3\pi}{\omega}$ માં સણિયો, બૂજા AB ના સંપર્કમાં છે. સંપર્ક સણિયા (OQ)ની

લંબાઈ x હોય, તો OQBD માંથી પસાર થતું ફૂલક્સ

$$\phi = \left(l^2 + \frac{1}{2} \frac{l^2}{\tan \theta} \right) B \quad જ્યાં, \theta = \omega t$$

$$\text{આમ, emf નું મૂલ્ય } \varepsilon = \frac{d\phi}{dt} = \frac{1}{2} Bl^2 \omega \frac{\sec^2 \omega t}{\tan^2 \omega t}$$

$$\text{પસાર થતો પ્રવાહ } I = \frac{\varepsilon}{R} = \frac{\varepsilon}{\lambda x} = \frac{\varepsilon \sin \omega t}{\lambda l} = \frac{1}{2} \frac{Bl \omega}{\lambda \sin \omega t}$$

સમયગાળા $\frac{3\pi}{\omega} < t < \frac{\pi}{\omega}$ માં સણિયો OC બૂજાને સ્પર્શ છે તથા OQABD માંથી

પસાર થતું ફૂલક્સ

$$\phi = \left(2l^2 - \frac{l^2}{2 \tan \omega t} \right) B$$

માટે emf નું મૂલ્ય,

$$\varepsilon = \frac{d\phi}{dt} = \frac{B \omega l^2 \sec^2 \omega t}{2 \tan^2 \omega t}$$

$$I = \frac{\varepsilon}{R} = \frac{\varepsilon}{\lambda x} = \frac{1}{2} \frac{Bl \omega}{\lambda \sin \omega t}$$

6.25 તારથી r જેટલા અંતરે

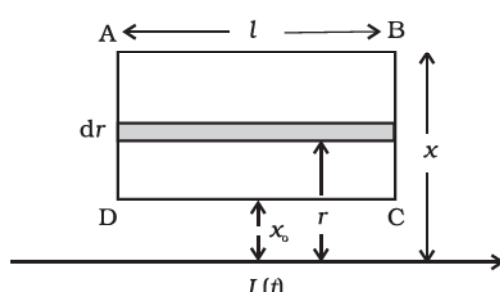
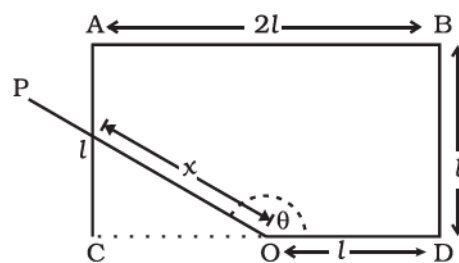
$$B(r) = \frac{\mu_0 I}{2\pi r}$$

(પેપરનાં પૃષ્ઠમાંથી બહાર તરફ)

લૂપ સાથે સંકળાયેલ કુલ ફૂલક્સ

$$\text{ફૂલક્સ} = \frac{\mu_0 I}{2\pi} l \int_{x_0}^x \frac{dr}{r} = \frac{\mu_0 I}{2\pi} l \ln \frac{x}{x_0}$$

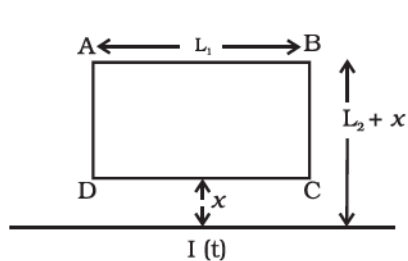
$$\frac{1}{R} \frac{dI}{dt} = \frac{\varepsilon}{R} = I = \frac{\mu_0 l}{2\pi R} \ln \frac{x}{x_0}$$



6.26 જે લૂપમાંથી પસાર થતો પ્રવાહ $I(t)$ હોય, તો

$$I(t) = \frac{1}{R} \frac{d\phi}{dt}$$

t સમયમાં પસાર થતો વીજભાર Q હોય, તો



$$I(t) = \frac{dQ}{dt} \text{ અથવા } \frac{dQ}{dt} = \frac{1}{R} \frac{d\phi}{dt}$$

$$\text{સંકલન કરતાં, } Q(t_1) - Q(t_2) = \frac{1}{R} [\phi(t_1) - \phi(t_2)]$$

$$\phi(t_1) = L_1 \frac{\mu_0}{2\pi} \int_x^{L_2+x} \frac{dx'}{x'} I(t_1)$$

$$= \frac{\mu_0 L_1}{2\pi} I(t_1) \ln \frac{L_2 + x}{x}$$

$$\text{વીજભારનું મૂલ્ય, } Q = \frac{\mu_0 L_1}{2\pi} \ln \frac{L_2 + x}{x} [I_o - 0]$$

$$= \frac{\mu_0 L_1 I_1}{2\pi} \ln \left(\frac{L_2 + x}{x} \right)$$

6.27 $2\pi b E = \text{E.M.F.} = \frac{B \cdot \pi a^2}{\Delta t}$ જ્યાં, E રેંગની બધી જ તરફ ઉદ્ભબેલ વિદ્યુતક્ષેત્ર છે.

$$\text{ટોક} = b \times \text{બળ} = QEb = Q \left[\frac{B \pi a^2}{2\pi b \Delta t} \right] b$$

$$= Q \frac{Ba^2}{2\Delta t}$$

કોણીય વેગમાનમાં થતો ફેરફાર ΔL હોય, તો

$$\Delta L = \text{ટોક} \times \Delta t = Q \frac{Ba^2}{2}$$

પ્રારંભિક કોણીય વેગમાન = 0

$$\text{અંતિમ કોણીય વેગમાન} = mb^2 \omega = \frac{QBa^2}{2}$$

$$\omega = \frac{QBa^2}{2mb^2}$$

$$6.28 \quad m \frac{d^2x}{dt^2} = mg \sin \theta - \frac{B \cos \theta d}{R} \left(\frac{dx}{dt} \right) \times (Bd) \cos \theta$$

$$\frac{dv}{dt} = g \sin \theta - \frac{B^2 d^2}{mR} (\cos \theta)^2 v$$

$$\frac{dv}{dt} + \frac{B^2 d^2}{mR} (\cos \theta)^2 v = g \sin \theta$$

$$v = \frac{g \sin \theta}{\left(\frac{B^2 d^2 \cos^2 \theta}{mR} \right)} + A \exp \left(-\frac{B^2 d^2}{mR} (\cos^2 \theta) t \right)$$

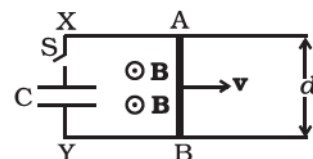
(જ્યાં, A પ્રારંભિક સ્થિતિઓ પરથી મેળવેલ અચળાંક છે.)

$$= \frac{mgR \sin \theta}{B^2 d^2 \cos^2 \theta} \left(1 - \exp \left(-\frac{B^2 d^2}{mR} (\cos^2 \theta) t \right) \right)$$

6.29 જો કેપેસિટર પરનો વીજભાર Q(t) હોય, તો
(નોંધો પ્રવાહ A થી B તરફ છે.)

$$I = \frac{vBd}{R} - \frac{Q}{RC}$$

$$\Rightarrow \frac{Q}{RC} + \frac{dQ}{dt} = \frac{vBd}{R}$$



$$\therefore Q = vBdC + Ae^{-t/RC}$$

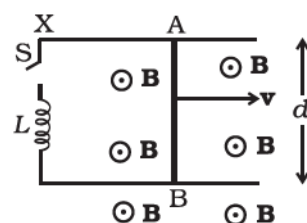
$$\Rightarrow Q = vBdC [1 - e^{-t/RC}]$$

(સમય $t = 0$ માટે, $Q = 0 = A = -vBdc$)

વિકલન કરતાં, $I = \frac{vBd}{R} e^{-t/RC}$ મળે.

$$6.30 \quad -L \frac{dI}{dt} + vBd = IR$$

$$L \frac{dI}{dt} + IR = vBd$$



$$I = \frac{vBd}{R} + Ae^{-Rt/2}$$

$$t = 0 \text{ પર } I = 0 \Rightarrow A = -\frac{vBd}{R}$$

$$I = \frac{vBd}{R}(1 - e^{-Rt/L})$$

6.31 ફ્લક્સમાં ફેરફારનો દર $\frac{d\phi}{dt} = (\pi l^2) B_o l \frac{dz}{dt} = IR.$

$$I = \frac{\pi l^2 B_o \lambda}{R} v$$

$$\text{ઉર્જાવ્યા પ્રતિસેકાણ} = I^2 R = \frac{(\pi l^2 \lambda)^2 B_o^2 v^2}{R}$$

આ ઉર્જાવ્યા, સ્થિતિઉર્જાના ફેરફાર $PE = mg \frac{dz}{dt} = mgv$ ને લીધે થાય છે.

(v અચળ હોવાને કારણે ગતિઉર્જા અચળ છે.)

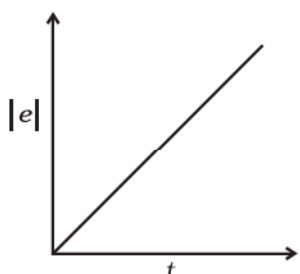
$$\text{આમ, } mgv = \frac{(\pi l^2 \lambda B_o)^2 v^2}{R}$$

$$\text{અથવા } v = \frac{mgR}{(\pi l^2 \lambda B_o)^2}.$$

6.32 સોલેનોઇડ S ને કારણે ચુંબકીયક્ષેત્ર $B = \mu_0 n I$

નાના ગૂંઘળામાં ચુંબકીય ફ્લક્સ, અહીં, $\phi = NBA$ જ્યાં $A = \pi b^2$

$$\text{માટે } e = \frac{-d\phi}{dt} = \frac{-d}{dt}(NBA)$$



$$\begin{aligned} &= -N\pi b^2 \frac{d(B)}{dt} = -N\pi b^2 \frac{d}{dt}(\mu_0 n I) \\ &= -N\pi b^2 \mu_0 n \frac{dI}{dt} \\ &= -Nn\pi\mu_0 b^2 \frac{d}{dt}(mt^2 + C) = -\mu_0 Nn\pi b^2 2mt \end{aligned}$$

$$e = -\mu_0 Nn\pi b^2 2mt$$

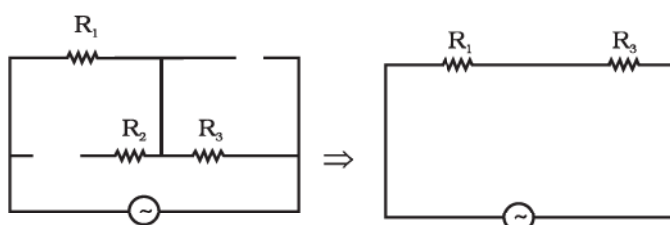
પ્રેરિત emf નું મૂલ્ય, સમય સાથે આકૃતિમાં દર્શાવ્યા મુજબ બદલાય છે, જ્યારે ઋક્ષણ નિશાની પ્રેરિત emf ની વિરોધક પ્રકૃતિ સૂચવે છે.

પ્રકરણ 7

- 7.1** (b)
7.2 (c)
7.3 (c)
7.4 (b)
7.5 (c)
7.6 (c)
7.7 (a)
7.8 (a), (d)
7.9 (c), (d)
7.10 (a), (b), (d)
7.11 (a), (b), (c)
7.12 (c), (d)
7.13 (a), (d)

7.14 ચુંબકીય ઊર્જાએ ગતિઊર્જાને અનુરૂપ અને વિદ્યુતઊર્જાએ સ્થિતિઊર્જાને અનુરૂપ છે.

7.15 ઉંચી આવૃત્તિએ કુપેસિટર \approx શોર્ટ સર્કિટ (રીએક્ટન્સ ઓછો) અને ઇન્ડક્ટર \approx ઓપન સર્કિટ (રીએક્ટન્સ ઉંચો). સમતુલ્ય પરિપથ $Z \approx R_1 + R_3$ આકૃતિમાં દર્શાવ્યા મુજબ મળે.



7.16 (a) હા, જો બંને પરિપથમાં rms વોલ્ટેજ સમાન છે, તો અનુનાદની સ્થિતિમાં LCR માં rms પ્રવાહ એટલો જ હશે. જેટલો પરિપથ R માં હશે.
 (d) ના, કારણ કે, $R \leq Z$, આથી, $I_a \geq I_b$.

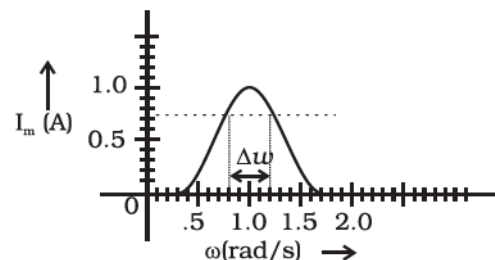
7.17 હા, ના.

7.18 આવૃત્તિઓને અનુરૂપ બેન્ડવિડ્યુથ

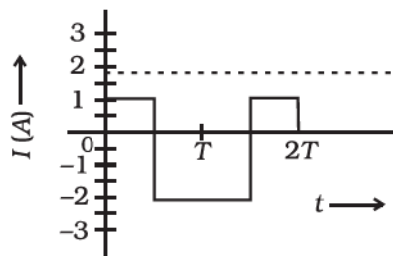
$$\text{જ્યાં, } I_m = \frac{1}{\sqrt{2}} I_{\max} \approx 0.7 I_{\max}$$

જે આકૃતિમાં દર્શાવી છે.

$$\Delta\omega = 1.2 - 0.8 = 0.4 \text{ rad/s}$$



7.19 $I_{rms} = 1.6A$ આકૃતિમાં ગૂટક રેખાથી દર્શાવેલ છે.



7.20 અણાથી શૂન્ય અને શૂન્યથી ધન : અનુનાદ આવૃત્તિએ શૂન્ય

7.21 (a) A

(b) શૂન્ય

(c) L અથવા C અથવા LC

7.22 a.c. પ્રવાહની દિશા ઉદ્ગામની આવૃત્તિ સાથે બદલાય છે અને આકર્ષણ બળનું સરેરાશ શૂન્ય થશે. આથી, પ્રવાહની દિશાથી સ્વતંત્ર હોય તેવા ગુણધર્મોનાં પદોમાં a.c. એન્સિયર વ્યાખ્યાયિત કરવો પડે. જૂલ ઉભા આવો ગુણધર્મ ધરાવે છે અને તેથી એ.સી.ના rms મૂલ્યો વ્યાખ્યાયિત કરવામાં તેનો ઉપયોગ કરવામાં આવે છે.

$$X_L = \omega L = 2\pi\nu L \\ = 3.14\Omega$$

$$Z = \sqrt{R^2 + L^2} \\ = \sqrt{(3.14)^2 + (1)^2} = \sqrt{10.86}$$

$$\simeq 3.3\Omega$$

$$\tan \phi = \frac{\omega L}{R} = 3.14$$

$$\phi = \tan^{-1}(3.14)$$

$$\simeq 72^\circ$$

$$\simeq \frac{72 \times \pi}{180} \text{ rad}$$

$$\text{સમયગાળો } \Delta t = \frac{\phi}{\omega} = \frac{72 \times \pi}{180 \times 2\pi \times 50} = \frac{1}{250} \text{ s}$$

7.24 $P_L = 60\text{W}$, $I_L = 0.54\text{A}$

$$V_L = \frac{60}{0.54} = 110 \text{ V}$$

ટ્રાન્સફર્મર સ્ટેપ-ડાઉન છે અને આઉટપુટ વોલ્ટેજ ઇનપુટ વોલ્ટેજ કરતાં અડધો છે.

$$\text{તેથી, } i_p = \frac{1}{2} \times I_2 = 0.27 \text{ A}$$

7.25 કેપેસિટરની ખેટો વચ્ચેના અંતરાલનો અવરોધ અનંત હોવાને લીધે તે પોતાનામાંથી ડી.સી. પ્રવાહનું વહન થવા દેતું નથી. જ્યારે કેપેસિટરની ખેટો વચ્ચે a.c. વોલ્ટેજ આપવામાં આવે ત્યારે ખેટો વારાફરતી વિદ્યુતભારિત અને વિદ્યુતવિભારિત થાય છે. કેપેસિટરમાંથી પસાર થતો પ્રવાહ એ આ બદલાતા જતા વોલ્ટેજ (અથવા વિદ્યુતભાર)નું પરિણામ છે. આથી, જો વોલ્ટેજ વધુ દરથી બદલાશે તો કેપેસિટરમાંથી વધારે પ્રવાહ પસાર થશે. એટલે કે, જો સોતની આવૃત્તિ વધુ હોય. આ સૂચવે છે કે આવૃત્તિ વધારતાં કેપેસિટરનો રીએક્ટન્સ ઘટે છે; તેનું મૂલ્ય $\frac{1}{\omega C}$ વડે દર્શાવવામાં આવે છે.

7.26 લેન્જના નિયમ અનુસાર ઈન્ડક્ટર back emf ઉત્પન્ન કરી પોતાનામાં પસાર થતા પ્રવાહનો વિરોધ કરે છે. પ્રેરિત વોલ્ટેજની પ્રુવીયતા (polarity) એવી રીતે હોય છે કે, પ્રવાહનું મૂળ મૂલ્ય જળવાઈ રહે. જો પ્રવાહમાં ઘટાડો થાય તો, પ્રેરિત emf ની પ્રુવીયતા એવી રીતે હશે કે પ્રવાહમાં વધારો થાય અને આનાથી ઊલદું પણ શક્ય છે. પ્રેરિત emf એ પ્રવાહના ફેરફારમાં દરના સપ્રમાણમાં છે, આથી જો ફેરફારનો દર વધુ હશે તો તે પ્રવાહના વહન સામે મોટો રીએક્ટન્સ પૂરો પાડશે. જેમકે, જો સોતની આવૃત્તિ વધુ હોય. ઈન્ડક્ટરનો રીએક્ટન્સ એ આવૃત્તિના સપ્રમાણમાં હોય છે, તેનું મૂલ્ય ωL વડે આપવામાં આવે છે.

$$\text{7.27 પાવર } P = \frac{V^2}{Z} \Rightarrow \frac{50000}{2000} = 25 = Z$$

$$Z^2 = R^2 + (X_C - X_L)^2 = 625$$

$$\tan \phi = \frac{X_C - X_L}{R} = -\frac{3}{4}$$

$$625 = R^2 + \left(-\frac{3}{4}R\right)^2 = \frac{25}{16}R^2$$

$$R^2 = 400 \Rightarrow R = 20\Omega$$

$$X_C - X_L = -15\Omega$$

$$I = \frac{V}{Z} = \frac{223}{25} = 9\text{A}$$

$$I_M = \sqrt{2} \times 9 = 12.6\text{A}$$

જે R , X_C અને X_L બમણા કરવામાં આવે, તો $\tan \phi$ માં કોઈ પરિવર્તન થશે નહિએ.

Z બમણો થશે, પ્રવાહ અડધો થશે.

પાવર ઘટી અડધો થાય છે.

7.28 (i) Cu ના તારનો અવરોધ

$$R = \rho \frac{l}{A} = \frac{1.7 \times 10^{-8} \times 20000}{\pi \times \left(\frac{1}{2}\right)^2 \times 10^{-4}} = 4\Omega$$

$$220 \text{ V} \text{ પર } I : VI = 10^6 \text{ W} ; I = \frac{10^6}{220} = 0.45 \times 10^4 \text{ A}$$

$$RI^2 = \text{પાવરવ્યાપ}$$

$$= 4 \times (0.45)^2 \times 10^8 \text{ W}$$

$$> 10^6 \text{ W}$$

આ પક્ષતિ પાવર ટ્રાન્સમિશન માટે ઉપયોગી નથી.

(ii) $V'I' = 10^6 \text{ W} = 11,000 \text{ I}'$

$$I' = \frac{1}{1.1} \times 10^2$$

$$RI'^2 = \frac{1}{1.21} \times 4 \times 10^4 = 3.3 \times 10^4 \text{ W}$$

$$\text{પાવરવ્યાપમાં ઝુટે} = \frac{3.3 \times 10^4}{10^6} = 3.3 \%$$

7.29 $Ri_1 = v_m \sin \omega t$ $i_1 = \frac{v_m \sin \omega t}{R}$

$$\frac{q_2}{C} + L \frac{dq_2}{dt^2} = v_m \sin \omega t$$

$$\text{ધારો કે } q_2 = q_m \sin (\omega t + \phi)$$

$$q_m \left(\frac{J_m}{C} - L \omega^2 \right) \sin (\omega t + \phi) = v_m \sin \omega t$$

$$q_m = \frac{v_m}{\frac{1}{C} - L \omega^2}, \phi = 0; \frac{1}{C} - \omega^2 L > 0$$

$$v_R = \frac{v_m}{L\omega^2 - \frac{1}{C}}, \phi = \pi L \omega^2 - \frac{1}{C} > 0$$

$$i_2 = \frac{dq_2}{dt} = \omega q_m \cos(\omega t + \phi)$$

$$i_1 \text{ અને } i_2 \text{ સમાન કળામાં નથી. આપણે ધારી લઈએ કે } \frac{1}{C} - \omega^2 L > 0$$

$$i_1 + i_2 = \frac{v_m \sin \omega t}{R} + \frac{v_m}{L\omega - \frac{1}{C\omega}} \cos \omega t$$

$$\text{હવે, } A \sin \omega t + B \cos \omega t = C \sin(\omega t + \phi)$$

$$C \cos \phi = A, C \sin \phi = B; C = \sqrt{A^2 + B^2}$$

$$\text{તેથી, } i_1 + i_2 = \left[\frac{v_m^2}{R^2} + \frac{v_m^2}{[\omega L - 1/C\omega]^2} \right]^{1/2} \sin(\omega t + \phi)$$

$$\phi = \tan^{-1} \frac{R}{X_L - X_C}$$

$$\frac{1}{Z} = \left\{ \frac{1}{R^2} + \frac{1}{(L\omega - 1/C\omega)^2} \right\}^{1/2}$$

$$7.30 \quad Li \frac{di}{dt} + Ri^2 + \frac{qi}{c} = vi; \quad Li \frac{di}{dt} = \frac{d}{dt} \left(\frac{1}{2} Li^2 \right) = \text{ઇન્ડક્ટરમાં સંગૃહીત ઊર્જા}$$

ફેરફારનો દર

$$Ri^2 = \text{જૂલ ઉખાવ્ય}$$

$$\frac{q}{C}i = \frac{d}{dt} \left(\frac{q^2}{2C} \right) = \text{કેપેસિટેન્સમાં સંગૃહીત ઊર્જા ફેરફારનો દર}$$

ચાલકબળ દ્વારા ઊર્જા ફેરફારનો દર = vi જે (i) ઔદ્ઘટિક વ્યય અને (ii) સંગૃહીત ઊર્જા વધારવામાં ખર્ચથી.

$$\int_0^T dt \frac{d}{dt} \left(\frac{1}{2} i^2 + \frac{q^2}{2C} \right) + \int_0^T Ri^2 dt = \int_0^T vidt$$

$$0 + (+ve) = \int_0^T vidt$$

$\int_0^T vidt > 0$ જે કળા-તફાવત તીવ્ર અચળાંક હોય, તો

7.31 (i) $L \frac{d^2q}{dt^2} + R \frac{dq}{dt} + \frac{q}{C} = v_m \sin \omega t$

$$\text{હાલ, } q = q_m \sin(\omega t + \phi) = -q_m \cos(\omega t + \phi)$$

$$i = i_m \sin(\omega t + \phi) = q_m \omega \sin(\omega t + \phi)$$

$$i_m = \frac{v_m}{Z} = \frac{v_m}{\sqrt{R^2 + (X_C - X_L)^2}}; \phi = \tan^{-1}\left(\frac{X_C - X_L}{R}\right)$$

(ii) $U_L = \frac{1}{2} L i^2 = \frac{1}{2} L \left[\frac{v_m}{\sqrt{R^2 + (X_C - X_L)^2}} \right]^2 \sin^2(\omega t_0 + \phi)$

$$U_C = \frac{1}{2} \frac{q^2}{C} = \frac{1}{2C} \left[\frac{v_m}{\sqrt{R^2 + (X_C - X_L)^2}} \right]^2 \frac{1}{\omega^2} \cos^2(\omega t_0 + \phi)$$

(iii) સ્વતંત્ર છોડતાં, તે એક LC દોલક છે. કેપેસિટર ડિસ્ચાર્જ થતું જશે અને બધી ઊર્જા L ને મળે અને આ પ્રક્રિયા ઉલટાશે તથા તેનું પુનરાવર્તન થતું રહેશે.

પ્રકરણ 8

8.1 (c)

8.2 (b)

8.3 (b)

8.4 (d)

8.5 (d)

8.6 (c)

8.7 (c)

8.8 (a), (d)

8.9 (a), (b), (c)

8.10 (b), (d)

8.11 (a), (c), (d)

8.12 (b), (d)

8.13 (a), (c), (d)

8.14 વિદ્યુતચુંબકીય તરંગો તલ ધ્રુવીભૂત હોય છે. આથી રીસિવિંગ એન્ટેના તરંગના વિદ્યુતીય/ચુંબકીય ભાગને સમાંતર હોવું જોઈએ.

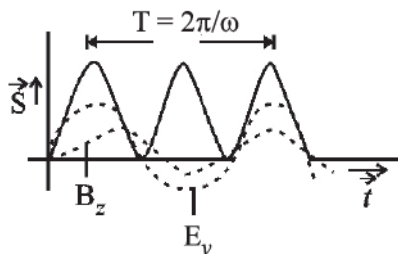
8.15 માઈક્રોવેવની આવૃત્તિ પાણીના અણુઓની અનુનાટિય આવૃત્તિ સાથે સુસંગત હોય છે.

$$8.16 \quad i_C = i_D = \frac{dq}{dt} = -2\pi q_0 v \sin 2\pi v t$$

8.17 આવૃત્તિ ઘટાડવાથી રીએક્ટન્સ $X_c = \frac{1}{\omega C}$ વહે છે જે વહન પ્રવાહને ઘટાડ માટે પ્રેરે છે. આ કિસ્સામાં $i_D = i_C$; આથી સ્થળાંતર પ્રવાહ ઘટે છે.

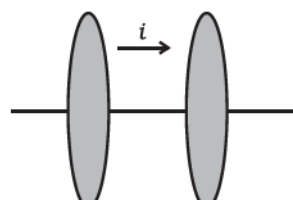
$$8.18 \quad I_{av} = \frac{1}{2} c \frac{B_0^2}{\mu_0} = \frac{1}{2} \times \frac{3 \times 10^8 \times (12 \times 10^{-8})^2}{1.26 \times 10^{-6}} = 1.71 W/m^2$$

8.19



8.20 વિદ્યુતચુંબકીય (EM) તરંગો વિકિરણ દબાણ ઉત્પન્ન કરે છે. ધૂમકેતુની પુંછથી ઓ સૌર કિરણોત્સર્વ (Solar radiation)ને કારણે છે.

$$8.21 \quad B = \frac{\mu_0 2I_D}{4\pi r} = \frac{\mu_0 1}{4\pi r} = \frac{\mu_0}{2\pi r} \epsilon_0 \frac{d\phi_E}{dt}$$



$$= \frac{\mu_0 \epsilon_0}{2\pi r} \frac{d}{dt} (E\pi r^2)$$

$$= \frac{\mu_0 \epsilon_0 r}{2} \frac{dE}{dt}$$

8.22 (a) $\lambda_1 \rightarrow$ માઈક્રોવેવ (સૂક્ષ્મ તરંગો), $\lambda_2 \rightarrow$ UV (અલ્ફાવાયોલેટ) (પારંબલી)
 $\lambda_3 \rightarrow$ ક્ષ-કિરણો (X-rays), $\lambda_4 \rightarrow$ પારકત (ઇન્ફરેડ)

(b) $\lambda_3 < \lambda_2 < \lambda_4 < \lambda_1$

(c) માઈકોવેવ – રડાર

UV – આંખની LASIK સર્જરી

ક્ષ-કિરણો – હાડકાંમાં ભાંગતૂટની ઓળખ (હાડકાંની જીણવટપૂર્વક તપાસ)

(bone scanning)

પારરક્ત – ઓપ્ટિકલ સંદેશાવ્યવહાર

8.23 જેવી રીતે, $\mathbf{S} = c^2 \epsilon_0 (\mathbf{E} \times \mathbf{B})$ તેવી રીતે,

$$S_{av} = c^2 \epsilon_0 |\mathbf{E}_0 \times \mathbf{B}_0| \frac{1}{T} \int_0^T \cos^2(kx - \omega t) dt$$

$$= c^2 \epsilon_0 E_0 B_0 \frac{1}{T} \times \frac{\pi}{2}$$

$$= c^2 \epsilon_0 E_0 \left(\frac{E_0}{c} \right) \times \frac{1}{2} \left(\text{કારણ } \nexists \quad c = \frac{E_0}{B_0} \right)$$

$$= \frac{1}{2} \epsilon_0 E_0^2 c$$

$$= \frac{E_0^2}{2\mu_0 c} \quad \text{કારણ } \nexists \quad \left(c = \frac{1}{\sqrt{\mu_0 \epsilon_0}} \right)$$

8.24 $i_D = C \frac{dV}{dt}$

$$1 \times 10^{-3} = 2 \times 10^{-6} \frac{dV}{dt}$$

$$\therefore \frac{dV}{dt} = \frac{1}{2} \times 10^3 = 5 \times 10^2 \text{ V/s}$$

આથી, $5 \times 10^2 \text{ V/s}$ નો બદલાતો સ્થિતિમાનનો તફાવત લાગુ પાડીને ઈચ્છિત મૂલ્યનો સ્થાનાંતરિત પ્રવાહ પેદા કરી શકાય છે.

8.25 દબાણ

$$P = \frac{\text{બળ}}{\text{ક્ષેત્રફળ}} = \frac{F}{A} = \frac{1}{A} \frac{\Delta p}{\Delta t} \quad \left(F = \frac{\Delta p}{\Delta t} = \text{વેગમાનના ફેરફારનો દર} \right)$$

$$= \frac{1}{A} \cdot \frac{U}{\Delta t c} \quad (\Delta p C = \Delta U = \text{તરંગ દ્વારા } \Delta t \text{ સમયમાં આપેલ ઊર્જા})$$

$$= \frac{I}{C} \left(\text{તીવ્રતા } I = \frac{U}{A \Delta t} \right)$$

8.26 તીવ્રતા ઘટીને ચોથા ભાગની થશે. આમ થવાનું કારણ, જેમ પ્રકાશનું કિરણજૂથ $4\pi r^2$ ક્ષેત્રફળના ગોળીય વિસ્તારમાં પ્રસરણ પામશે તેમ ફેલાશે, પરંતુ લેસર ફેલાતું નથી અને તેથી તેની તીવ્રતા અચળ જળવાઈ રહે છે.

8.27 EM તરંગો (વિદ્યુતચુંબકીય તરંગો)માં વિદ્યુતક્ષેત્ર દોલિત થતું ક્ષેત્ર છે અને તેથી તેના કારણે વિદ્યુતભારિત કણ પર લાગતું વિદ્યુતીય બળ પણ પણ દોલિત થશે. પૂર્ણાંક સંખ્યાના ચક પર આ વિદ્યુતીય બળનું સરેરાશ મૂલ્ય શૂન્ય થાય છે. કેમકે દરેક અર્ધચક દરમિયાન તેની દિશા ઉલટાય છે. આથી, વિદ્યુતક્ષેત્ર એ વિકિરણ દબાણ માટે જવાબદાર નથી.

$$8.28 \quad \mathbf{E} = \frac{\lambda \hat{\mathbf{e}}_s}{2\pi\epsilon_o a} \hat{\mathbf{j}}$$

$$\mathbf{B} = \frac{\mu_o i}{2\pi a} \hat{\mathbf{i}}$$

$$= \frac{\mu_o \lambda v}{2\pi a} \hat{i}$$

$$\mathbf{S} = \frac{1}{\mu_o} (\mathbf{E} \times \mathbf{B}) = \frac{1}{\mu_o} \left(\frac{\lambda \hat{\mathbf{j}}_s}{2\pi\epsilon_o a} \hat{\mathbf{j}} \times \frac{\mu_o \lambda v}{2\pi a} \hat{\mathbf{i}} \right)$$

$$= \frac{-\lambda^2 v}{4\pi^2 \epsilon_o a^2} \hat{\mathbf{k}}$$

8.29 ખેટો વચ્ચેનું અંતર d લો. આથી વિદ્યુતક્ષેત્ર $E = \frac{V_o}{d} \sin(2\pi\nu t)$. ઓહ્મના નિયમ પરથી, વહન પ્રવાહઘનતા આપી શકાય.

$$\Rightarrow J^c = \frac{1}{\rho} \frac{V_o}{d} \sin(2\pi\nu t) = \frac{V_0}{\rho d} \sin(2\pi\nu t)$$

$$= J_0^c \sin 2\pi\nu t$$

$$\text{જ્યાં, } J_0^c = \frac{V_0}{\rho d}.$$

સ્થળાંતર પ્રવાહઘનતા નીચે મુજબ આપી શકાય :

$$\begin{aligned} J^d &= \epsilon \frac{\partial E}{\partial t} = \epsilon \frac{\partial}{\partial t} \left\{ \frac{V_o}{d} \sin(2\pi\nu t) \right\} \\ &= \frac{\epsilon 2\pi\nu V_o}{d} \cos(2\pi\nu t) \\ &= J_0^d \cos(2\pi\nu t), \text{ જ્યાં, } J_0^d = \frac{2\pi\nu\epsilon V_0}{d} \end{aligned}$$

$$\frac{J_o^d}{J_o^c} = \frac{2\pi\nu\varepsilon V_o}{d} \cdot \frac{\rho d}{V_o}$$

$$= 2\pi\nu\varepsilon\rho = 2\pi \times 80 \varepsilon_o \nu \times 0.25 = 4\pi\varepsilon_o \nu \times 10$$

$$= \frac{10 \nu}{9 \times 10^9} = \frac{4}{9}$$

8.30 (i) સ્થાનાંતર પ્રવાહધનતા નીચેના સંબંધ પરથી શોધી શકાય :

$$\begin{aligned} J_D &= \varepsilon_0 \frac{dE}{dt} \\ &= \varepsilon_0 \mu_0 I_0 \frac{\partial}{\partial t} \cos(2\pi\nu t) \cdot \ln\left(\frac{s}{a}\right) \hat{k} \\ &= \frac{1}{c^2} I_0 2\pi\nu^2 (-\sin(2\pi\nu t)) \ln\left(\frac{s}{a}\right) \hat{k} \\ &= \left(\frac{\nu}{c}\right)^2 2\pi I_0 \sin(2\pi\nu t) \ln\left(\frac{a}{s}\right) \hat{k} \\ &= \frac{2\pi}{\lambda^2} I_0 \ln\left(\frac{a}{s}\right) \sin(2\pi\nu t) \hat{k} \end{aligned}$$

$$\begin{aligned} (ii) \quad I^d &= \int J_D s ds d\theta \\ &= \frac{2\pi}{\lambda^2} I_0 2\pi \int_{s=0}^a \ln\left(\frac{a}{s}\right) s ds \sin(2\pi\nu t) \\ &= \left(\frac{2\pi}{\lambda}\right)^2 I_0 \int_{s=0}^a \frac{1}{2} ds^2 \ln\left(\frac{a}{s}\right) \sin(2\pi\nu t) \\ &= \frac{a^2}{4} \left(\frac{2\pi}{\lambda}\right)^2 I_0 \int_{s=0}^a d\left(\frac{s}{a}\right)^2 \ln\left(\frac{a}{s}\right)^2 \sin(2\pi\nu t) \\ &= -\frac{a^2}{4} \left(\frac{2\pi}{\lambda}\right)^2 I_0 \int_0^1 \ln \xi d\xi \sin(2\pi\nu t) \\ &= +\left(\frac{a}{2}\right)^2 \left(\frac{2\pi}{\lambda}\right)^2 I_0 \sin 2\pi\nu t \quad (\because \text{સંકલનનું મૂલ્ય } -1 \text{ હૈ}) \end{aligned}$$

(iii) સ્થાનાંતર પ્રવાહ

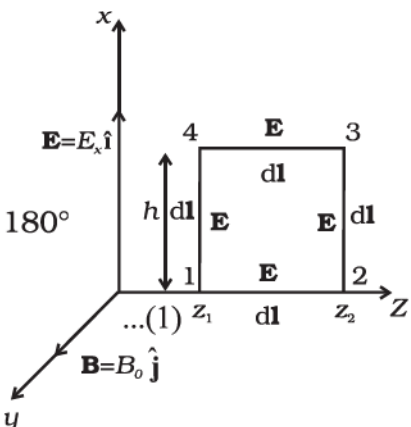
$$I^d = \left(\frac{a}{2} \cdot \frac{2\pi}{\lambda} \right)^2 I_0 \sin 2\pi\nu t = I_0^d \sin 2\pi\nu t$$

$$\frac{I_0^d}{I_0} = \left(\frac{a\pi}{\lambda} \right)^2$$

8.31 (i) $\oint \mathbf{E} \cdot d\mathbf{l} = \int_1^2 E \cdot dl + \int_2^3 E \cdot dl + \int_3^4 E \cdot dl + \int_4^1 E \cdot dl$

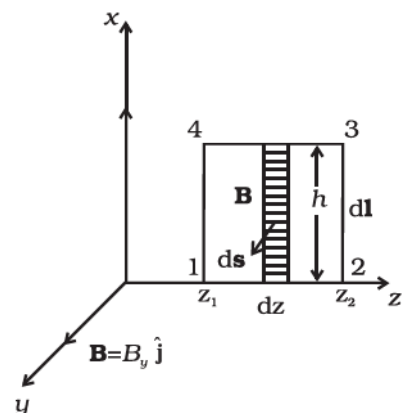
$$= \int_1^2 E \cdot dl \cos 90^\circ + \int_2^3 E \cdot dl \cos 0 + \int_3^4 E \cdot dl \cos 90^\circ + \int_4^1 E \cdot dl \cos 180^\circ$$

$$= \mathbf{E}_0 h [\sin(kz_2 - \omega t) - \sin(kz_1 - \omega t)]$$



(ii) $\int \mathbf{B} \cdot d\mathbf{s}$ ગણવા માટે, આપણે લંબચોરસ
1234 ને દરેક $ds = h dz$ ક્ષેત્રફળ ધરાવતી
પછીઓથી બનેલો વિચારો.

$$\begin{aligned} \int \mathbf{B} \cdot d\mathbf{s} &= \int B ds \cos 0 = \int B ds = \int_{Z_1}^{Z_2} B_0 \sin(kz - \omega t) h dz \\ &= \frac{-B_0 h}{k} [\cos(kz_2 - \omega t) - \cos(kz_1 - \omega t)] \end{aligned} \quad \dots(2)$$



(iii) $\oint \mathbf{E} \cdot d\mathbf{l} = \frac{-d\phi_B}{dt}$

સમીકરણ (1) અને (2)માં મેળવેલ સંબંધનો ઉપયોગ કરી અને સાદું રૂપ આપતાં,
આપણને નીચે મુજબનું સમીકરણ મળે :

$$E_0 h [\sin(kz_2 - \omega t) - \sin(kz_1 - \omega t)]$$

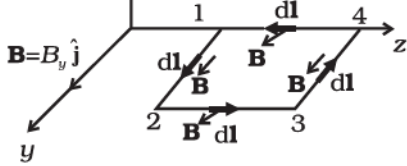
$$= \frac{B_0 h}{k} \omega [\sin(kz_2 - \omega t) - \sin(kz_1 - \omega t)]$$

$$E_0 = B_0 \frac{\omega}{k}$$

$$\frac{E_0}{B_0} = c$$

(iv) $\oint \mathbf{B} \cdot d\mathbf{l}$ નું મૂલ્ય મેળવવા, આકૃતિમાં દર્શાવ્યા પ્રમાણે આપણે બંધગાળો 1234,
YZ સમતલમાં વિચારો.

$$\begin{aligned}
 \oint \mathbf{B} \cdot d\mathbf{l} &= \int_1^2 \mathbf{B} \cdot d\mathbf{l} + \int_2^3 \mathbf{B} \cdot d\mathbf{l} + \int_3^4 \mathbf{B} \cdot d\mathbf{l} + \int_4^1 \mathbf{B} \cdot d\mathbf{l} \\
 &= \int_1^2 B dl \cos 0 + \int_2^3 B dl \cos 90^\circ + \int_3^4 B dl \cos 180^\circ + \int_4^1 B dl \cos 90^\circ \\
 &= B_0 h [\sin(kz_1 - \omega t) - \sin(kz_2 - \omega t)] \quad (3)
 \end{aligned}$$

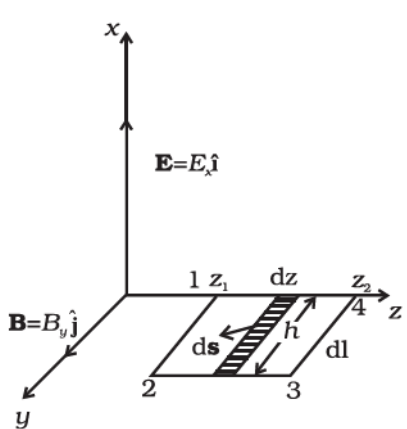


હવે, $\phi_E = \int \mathbf{E} \cdot d\mathbf{s}$, ગણવા માટે આપણે લંબચોરસ 1234 ને દરેક hdz ક્ષેત્રફળ ધરાવતી પડ્યુંઓથી બનેલો વિચારો.

$$\phi_E = \int \mathbf{E} \cdot d\mathbf{s} = \int Eds \cos 0 = \int Eds = \int_{Z_1}^{Z_2} E_0 \sin(kz_1 - \omega t) hdz$$

$$= \frac{-E_0 h}{k} [\cos(kz_2 - \omega t) - \cos(kz_1 - \omega t)]$$

$$\therefore \frac{d\phi_E}{dt} = \frac{E_0 h \omega}{k} [\sin(kz_1 - \omega t) - \sin(kz_2 - \omega t)] \quad ... (4)$$



$I = \text{કહ્નપ્રવાહ} = 0$ (શૂન્યાવકાશમાં)

$$\therefore \oint \mathbf{B} \cdot d\mathbf{l} = \mu_0 \epsilon_0 \frac{d\phi_E}{dt}$$

સમીકરણ (3) અને (4)માં મેળવેલ સંબંધનો ઉપયોગ કરતાં અને સાદું રૂપ આપતાં, આપણાને નીચે મુજબ સમીકરણ મળે :

$$B_0 = E_0 \frac{\omega}{k} \cdot \mu_0 \epsilon_0$$

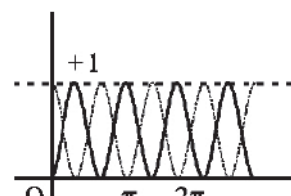
$$\frac{E_0}{B_0} \frac{\omega}{k} = \frac{1}{\mu_0 \epsilon_0} \quad \text{પરંતુ } E_0/B_0 = c \text{ અને } \omega = ck$$

$$\text{અથવા } cc = \frac{1}{\mu_0 \epsilon_0}. \quad \text{આથી, } c = \frac{1}{\sqrt{\mu_0 \epsilon_0}}.$$

8.32 (a) E - ક્ષેત્રનો ફાળો $u_E = \frac{1}{2} \epsilon_0 E^2$

B - ક્ષેત્રનો ફાળો $u_B = \frac{1}{2} \frac{B^2}{\mu_0}$

કુલ ઊર્જા ઘનતા $u = u_E + u_B = \frac{1}{2} \epsilon_0 E^2 + \frac{1}{2} \frac{B^2}{\mu_0}$



...(1)

E^2 અને B^2 નાં મૂલ્યો બિંદુથી બિંદુ અને ક્ષણથી ક્ષણ બદલાતાં હોય છે.

આથી, E^2 અને B^2 નાં અસરકારક મૂલ્યોએ તેમની સમય સરેરાશ છે.

$$(E^2)_{av} = E_0^2 [\sin^2(kz - \omega t)]_{av}$$

$$(B^2)_{av} = (B^2)_{av} = B_0^2 [\sin^2(kz - \omega t)]_{av}$$

$\sin^2 \theta$ અને $\cos^2 \theta$ ના આલેખો આકારની રીતે સમરૂપ છે, પરંતુ $\frac{\pi}{2}$ જેટલા ખસેલા હોય છે. આથી, $\sin^2 \theta$ અને $\cos^2 \theta$ નાં સરેરાશ મૂલ્યો π ના કોઈ પણ પૂર્ણાક ગુણાંક પર સમાન જ મળશે તથા

$$\sin^2 \theta + \cos^2 \theta = 1.$$

આથી સંમિતિને આધારે $\sin^2 \theta$ નું સરેરાશ = $\cos^2 \theta$ નું સરેરાશ = $\frac{1}{2}$

$$\therefore (E^2)_{av} = \frac{1}{2} E_0^2 \text{ અને } (B^2)_{av} = \frac{1}{2} B_0^2$$

સમીકરણ(1) માં કિમત મૂકતાં,

$$u = \frac{1}{4} \epsilon_0 E^2 + \frac{1}{4} \frac{B_0^2}{\mu_0} \quad \dots(2)$$

(b) આપણો જાહીએ છીએ કે,

$$\frac{E_0}{B_0} = c \quad \text{અને} \quad c = \frac{1}{\sqrt{\mu_0 \epsilon_0}}$$

$$\therefore \frac{1}{4} \frac{B_0^2}{\mu_0} = \frac{E_0^2 / c^2}{4 \mu_0} = \frac{E_0^2}{4 \mu_0} \mu_0 \epsilon_0 = \frac{1}{4} \epsilon_0 E_0^2.$$

$$\text{આથી, } u_{av} = \frac{1}{4} \epsilon_0 E_0^2 + \frac{1}{4} \epsilon_0 E_0^2 = \frac{1}{2} \epsilon_0 E_0^2 \text{ અને}$$

$$I_{av} = u_{av} c = \frac{1}{2} \epsilon_0 E_0^2$$

પ્રકરણ 9

- 9.1 (a)
- 9.2 (d)
- 9.3 (c)
- 9.4 (b)

9.5 (c)**9.6** (c)**9.7** (b)**9.8** (b)**9.9** (b)**9.10** (d)**9.11** (a)**9.12** (a), (b), (c)**9.13** (d)**9.14** (a), (d)**9.15** (a), (b)**9.16** (a), (b), (c)

9.17 વાદળી રંગ કરતાં લાલ રંગ માટે વક્ષીભવનાંક ઓછો છે. આથી લેન્સ પર આપાત સમાંતર પ્રકાશ બીજા લાલ રંગના પ્રકાશની સરખામણીમાં વાદળી રંગનો પ્રકાશ અક્ષ તરફ વધારે વાંકો વળશે (વક્ષીભવન વધુ પામશે). આથી વાદળી પ્રકાશ માટે કેન્દ્રલંબાઈ લાલ પ્રકાશ કરતાં ઓછી હશે.

9.18 સામાન્ય વ્યક્તિ માટે નિકટ દણ્ણિ (near vision) 25 cm છે. કોઈ વસ્તુને 10 ગણી મોટી જોવા માટે,

$$m = \frac{D}{f} \Rightarrow f = \frac{D}{m} = \frac{25}{10} = 2.5 = 0.025 \text{ m}$$

$$P = \frac{1}{0.025} = 40 \text{ ડાયોપ્ટર}$$

9.19 ના, લેન્સને ઉલટાવવાથી પ્રતિબિંબની સ્થિતિ બદલાશે નહિ.

9.20 ધારો કે માધ્યમ μ_2 માંથી અવલોકન કરતાં વસ્તુની આભાસી ઊંડાઈ O_1 છે.

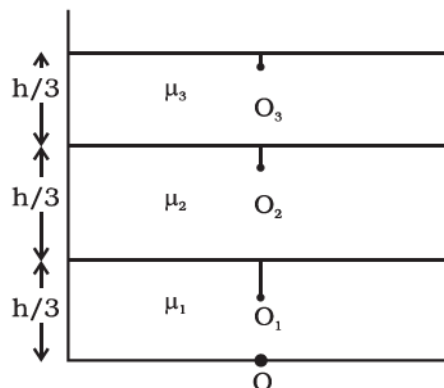
$$O_1 = \frac{\mu_2}{\mu_1} \frac{h}{3}$$

માધ્યમ μ_3 માંથી અવલોકન કરતાં આભાસી ઊંડાઈ O_2 છે.

$$O_2 = \frac{\mu_3}{\mu_2} \left(\frac{h}{3} + O_1 \right) = \frac{\mu_3}{\mu_2} \left(\frac{h}{3} + \frac{\mu_2}{\mu_1} \frac{h}{3} \right) = \frac{h}{3} \left(\frac{\mu_3}{\mu_2} + \frac{\mu_3}{\mu_1} \right)$$

બહારથી અવલોકન કરતાં, આભાસી ઊંચાઈ

$$\begin{aligned}
 O_3 &= \frac{1}{\mu_3} \left(\frac{h}{3} + O_2 \right) \\
 &= \frac{1}{\mu_3} \left[h + \frac{h}{3} \left(\frac{\mu_3}{\mu_2} + \frac{\mu_3}{\mu_1} \right) \right] \\
 &= \frac{h}{3} \left(\frac{1}{\mu_1} + \frac{1}{\mu_2} + \frac{1}{\mu_3} \right)
 \end{aligned}$$



9.21 લઘુતમ વિચલન માટે,

$$\mu = \frac{\sin \left[\frac{(A+D_m)}{2} \right]}{\sin \left(\frac{A}{2} \right)}$$

$$\therefore D_m = A \text{ આપેલ છે.}$$

$$\therefore \mu = \frac{\sin A}{\sin \frac{A}{2}} = \frac{2 \sin \frac{A}{2} \cos \frac{A}{2}}{\sin \frac{A}{2}} = 2 \cos \frac{A}{2}$$

$$\therefore \cos \frac{A}{2} = \frac{\sqrt{3}}{2} \text{ અથવા } \frac{A}{2} = 30^\circ \quad \therefore A = 60^\circ$$

9.22 ધારો કે વસ્તુના બે છેડા અનુક્રમે $u_1 = u - L/2$ અને $u_2 = u + L/2$, અંતરે છે.

આથી, $|u_1 - u_2| = L$. ધારો કે બે છેડાઓનાં પ્રતિબિંબો અનુક્રમે v_1 અને v_2 એ રૂચાય

$$\text{છે. આથી પ્રતિબિંબની લંબાઈ } L' = |v_1 - v_2| \text{ થશે. } \frac{1}{u} + \frac{1}{v} = \frac{1}{f} \text{ અથવા } v = \frac{fu}{u-f}$$

$$\text{પરથી બે છેડાઓનાં પ્રતિબિંબ } v_1 = \frac{f(u-L/2)}{u-f-L/2}, \quad v_2 = \frac{f(u+L/2)}{u-f+L/2} \quad \text{પર હશે.}$$

$$\text{આથી, } L' = |v_1 - v_2| = \frac{f^2 L}{(u-f)^2 \times L^2 / 4}$$

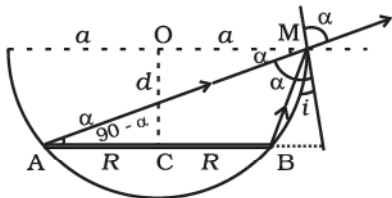
વસ્તુની લંબાઈ ઓછી છે અને તેને કેન્દ્રલંબાઈ કરતાં મોટા અંતરે રાખેલી છે.

$$\text{આપણી પાસે } L^2/4 \ll (u-f)^2$$

$$\text{આથી, સમીકરણનું અંતિમ સ્વરૂપ } L' = \frac{f^2}{(u-f)^2} L \text{ મળશે.}$$

9.23 આકૃતિ પરથી, પ્રવાહી ભર્યા પહેલાં આપાતકિરણની દિશા AM છે. પ્રવાહી ભર્યા પછી આપાતકિરણની દિશા BM છે. બંને કિસ્સાઓમાં વકીભૂત કિરણ AM ની દિશામાં સમાન જ છે.

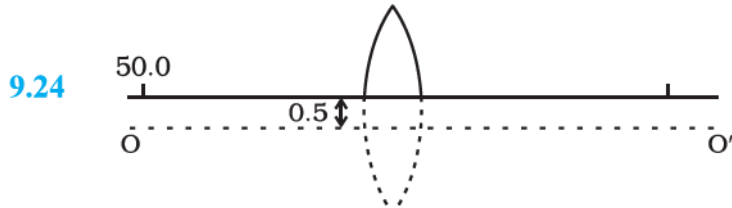
$$\frac{1}{\mu} = \frac{\sin i}{\sin r} = \frac{\sin i}{\sin \alpha}$$



$$\sin i = \frac{a - R}{\sqrt{d^2 + (a - R)^2}} \text{ અને}$$

$$\sin \alpha = \cos(90^\circ - \alpha) = \frac{a + R}{\sqrt{d^2 + (a - R)^2}}$$

કિમતો મૂકતાં, $d = \frac{\mu(a^2 - R^2)}{\sqrt{(a + R)^2 - \mu(a - R)^2}}$ મળે છે.



જો લેન્સને કાપવામાં ન આવ્યો હોત, તો વસ્તુ મુખ્ય અક્ષ 00' થી 0.5 cm ની ઉંચાઈ હોત. આ કિસ્સા માટે પ્રતિબિંબ ધ્યાનમાં લેતાં,

$$\frac{1}{v} - \frac{1}{u} = \frac{1}{f}$$

$$\therefore \frac{1}{v} = \frac{1}{u} + \frac{1}{f} = \frac{1}{-50} + \frac{1}{25} = \frac{1}{50}$$

$$\therefore v = 50 \text{ cm}$$

$$\text{મોટવણી } m = \frac{v}{u} = -\frac{50}{50} = -1 \text{ છે.}$$

આથી પ્રતિબિંબ છુંબથી 50 cm અને મુખ્ય અક્ષથી 0.5 cm નીચે રચાશે. આ રીતે કાપેલા લેન્સની ધાર પાસેથી પસાર થતી X-અક્ષની સાપેક્ષે પ્રતિબિંબના યામ (50 cm, -1 cm) છે.

9.25 લેન્સના સૂત્ર $\frac{1}{f} = \frac{1}{v} - \frac{1}{u}$ પરથી u અને v ની પ્રતિવર્તિતતા જોઈ શકાય છે.

તે સ્પષ્ટ છે કે અહીં બે શક્યતાઓ છે કે જેમના માટે પ્રતિબિંબ પડા પર રચાશે. ધારી લો કે પહેલી સ્થિતિ એ છે કે, જ્યારે લેન્સ O પાસે છે.

અહીં, $-u + v = D$ આપેલ છે.

$$\Rightarrow u = -(D - v)$$

આ કિમત લેન્સના સૂત્રમાં મૂકતાં,

$$\frac{1}{D-v} + \frac{1}{v} = \frac{1}{f}$$

$$\Rightarrow \frac{v+D-v}{(D-v)v} = \frac{1}{f}$$

$$\Rightarrow v^2 - Dv + Df = 0$$

$$\Rightarrow v = \frac{D}{2} \pm \frac{\sqrt{D^2 - 4Df}}{2}$$

$$u = -(D - v) = -\left(\frac{D}{2} \pm \frac{\sqrt{D^2 - 4Df}}{2}\right)$$

આથી, જો વસ્તુઅંતર $\frac{D}{2} - \frac{\sqrt{D^2 - 4Df}}{2}$ છે, તો પ્રતિબિંબ $\frac{D}{2} + \frac{\sqrt{D^2 - 4Df}}{2}$ પાસે હશે.

જો વસ્તુઅંતર $\frac{D}{2} + \frac{\sqrt{D^2 - 4Df}}{2}$ છે, તો પ્રતિબિંબ $\frac{D}{2} - \frac{\sqrt{D^2 - 4Df}}{2}$ પાસે હશે.

આ બે વસ્તુઅંતરો માટે દ્રુવો વચ્ચેનું અંતર

$$\frac{D}{2} + \frac{\sqrt{D^2 - 4Df}}{2} - \left(\frac{D}{2} - \frac{\sqrt{D^2 - 4Df}}{2}\right) = \sqrt{D^2 - 4Df} \quad \text{છ.}$$

$$\text{હવે, } d = \sqrt{D^2 - 4Df}$$

જો $u = \frac{D}{2} + \frac{d}{2}$ તો પ્રતિબિંબ $v = \frac{D}{2} - \frac{d}{2}$ પાસે હશે.

$$\therefore \text{મોટવજી } m_1 = \frac{D-d}{D+d}$$

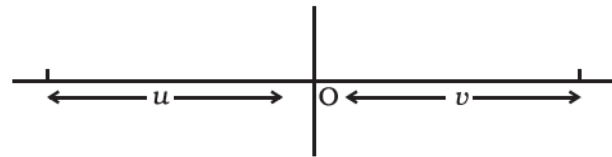
$$\text{જો } u = \frac{D-d}{2} \text{ તી } v = \frac{D+d}{2}$$

$$\therefore \text{મોટવજી } m_2 = \frac{D+d}{D-d} \text{ આથી } \frac{m_2}{m_1} = \left(\frac{D+d}{D-d}\right)^2$$

9.26 ધારો કે તકતીનો વ્યાસ d છે. જો આપાતકિરણ O પાસેના ડોટ (ટપકાં) પરથી સપાટી પાસે $\frac{d}{2}$ અંતરે કાંતિકોણ પર હોય, તો બિંદુ અદશ્ય થઈ જશે.

ધારો કે આપાતકોણ i છે.

$$\text{આથી, } \sin i = \frac{1}{\mu}$$



$$\text{હવે, } \frac{d/2}{h} = \tan i \\ \Rightarrow \frac{d}{2} = h \tan i = h \left[\sqrt{\mu^2 - 1} \right]^{-1} \\ \therefore d = \frac{2h}{\sqrt{\mu^2 - 1}}.$$

- 9.27** (i) ધારો કે સામાન્ય આરામદાયક સ્થિતિમાં આંખ માટે દૂર બિંદુએ (far point) પાવર P_f છે.

$$\text{તેથી, } P_f = \frac{1}{f} = \frac{1}{0.1} + \frac{1}{0.02} = 60 \text{ D}$$

સુધારાત્મક લેન્સ (corrective lens) સાથે દૂર બિંદુ પર વસ્તુઅંતર ∞ છે.

$$P'_f = \frac{1}{f'} = \frac{1}{\infty} + \frac{1}{0.02} = 50 \text{ D}$$

આરામદાયક સ્થિતિમાં આંખનો ચશ્માં સાથે અસરકારક પાવર એ આંખ અને ચશ્માંના પાવર P_g ના સરવાળા જેટલો હશે.

$$\therefore P'_f = P_f + P_g$$

$$\therefore P_g = -10 \text{ D}$$

- (ii) સામાન્ય આંખ માટે તેનો પાવર 4 ડાયોપ્ટર છે. ધારો કે સામાન્ય આંખ માટે નજીકની દાયારી પાવર P_n છે.

$$\text{તેથી, } 4 = P_n - P_f \text{ અથવા } P_n = 64 \text{ D.}$$

ધારો કે નજીક બિંદુ x_n છે. તેથી,

$$\frac{1}{x_n} + \frac{1}{0.02} = 64 \text{ અથવા } \frac{1}{x_n} + 50 = 64$$

$$\frac{1}{x_n} = 14$$

$$\therefore x_n = \frac{1}{14} \approx 0.07 \text{ m}$$

- (iii) ચશ્માં સાથે $P'_n = P'_f + 4 = 54$

$$54 = \frac{1}{x'_n} + \frac{1}{0.02} = \frac{1}{x'_n} + 50$$

$$\frac{1}{x'_n} = 4$$

$$\therefore x'_n = \frac{1}{4} = 0.25 \text{ m}$$

- 9.28** i આપાતકોણથી માધ્યમમાં દાખલ થતું કોઈ કિરણ સપાટી AC તરફ જશે. જો સપાટી AC પર લંબ સાથે કાંતિકોણ કરતાં મોટો ખૂણો (ϕ) બનાવે તો,

$$\Rightarrow \sin \geq \frac{1}{\mu}$$

$$\Rightarrow \cos r \geq \frac{1}{\mu}$$

$$\text{અથવા } 1 - \cos^2 r \leq 1 - \frac{1}{\mu^2}$$

$$\text{i.e. } \sin^2 r \leq 1 - \frac{1}{\mu^2}$$

$$\text{કારણ કે, } \sin i = \mu \sin r$$

$$\frac{1}{\mu^2} \sin^2 i \leq 1 - \frac{1}{\mu^2}$$

$$\text{અથવા } \sin^2 i \leq \mu^2 - 1$$

જ્યારે $i = \frac{\pi}{2}$ હશે ત્યારે ખૂણો ϕ નાનામાં નાનો હશે. જો તે કંતિકોણ કરતાં મોટો

હશે ત્યારે બાકીના બધા આપાતકોણ કંતિકોણ કરતાં મોટા હશે.

$$\text{આથી, } 1 \leq \mu^2 - 1$$

$$\text{અથવા } \mu^2 \geq 2$$

$$\Rightarrow \mu \geq \sqrt{2}$$

9.29 પ્રવાહીમાં x અને $x + dx$ વચ્ચે આવેલ કિરણનો એક ભાગ વિચારો કે ધારો કે, x પાસે આપાતકોણ θ અને ધારો કે તે y ઉંચાઈના પાતળા સ્તંભમાં દાખલ થાય છે. વાંકું વળવાના લીધે તે $x + dx$ પાસે $\theta + d\theta$ ખૂણો $y + dy$ ઉંચાઈએ બહાર નીકળશે. સ્નેલના નિયમ અનુસાર,

$$\mu(y) \sin \theta = \mu(y + dy) \sin(\theta + d\theta)$$

$$\text{અથવા } \mu(y) \sin \theta \simeq \left(\mu(y) + \frac{d\mu}{dy} dy \right) (\sin \theta \cos d\theta + \cos \theta \sin d\theta)$$

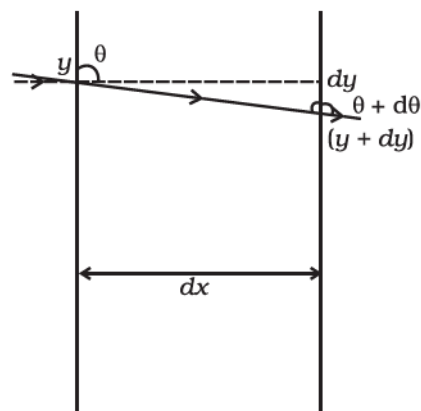
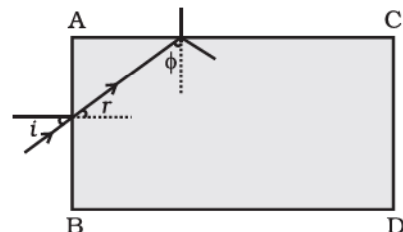
$$= \mu(y) \sin \theta + \mu(y) \cos \theta d\theta + \frac{d\mu}{dy} dy \sin \theta$$

$$\text{અથવા } \mu(y) \cos \theta d\theta = \frac{-d\mu}{dy} dy \sin \theta$$

$$d\theta = \frac{-1}{\mu} \frac{d\mu}{dy} dy \tan \theta$$

$$\text{પરંતુ, } \tan \theta = \frac{dx}{dy} \text{ (આકૃતિ પરથી)}$$

$$\therefore d\theta = \frac{-1}{\mu} \frac{d\mu}{dy} dx$$



$$\therefore \theta = \frac{-1}{\mu} \frac{d\mu}{dy} \int_o^r dx = \frac{-1}{\mu} \frac{d\mu}{dy} d$$

9.30 r અને $r + dr$ અંતરે બે સમતલ વિચારો. ધારો કે સમતલ r પાસે પ્રકાશ θ ખૂણે આપાત થાય છે તથા $r + dr$ પાસે $\theta + d\theta$ ખૂણે બહાર નીકળે છે.

સ્નેલના નિયમ પરથી,

$$n(r) \sin \theta = n(r + dr) \sin(\theta + d\theta)$$

$$\Rightarrow n(r) \sin \theta \simeq \left(n(r) + \frac{dn}{dr} dr \right) (\sin \theta \cos d\theta + \cos \theta \sin d\theta)$$

$$\simeq \left(n(r) + \frac{dn}{dr} dr \right) (\sin \theta + \cos \theta d\theta)$$

વિકલનનો ગુણાકાર અવગણતાં,

$$n(r) \sin \theta \simeq n(r) \sin \theta + \frac{dn}{dr} dr \sin \theta + n(r) \cos \theta d\theta$$

$$\Rightarrow -\frac{dn}{dr} \tan \theta = n(r) \frac{d\theta}{dr}$$

$$\Rightarrow \frac{2GM}{r^2 c^2} \tan \theta = \left(1 + \frac{2GM}{rc^2} \right) \frac{d\theta}{dr} \approx \frac{d\theta}{dr}$$

$$\therefore \int_0^{\theta_0} d\theta = \frac{2GM}{c^2} \int_{-\infty}^{\infty} \frac{\tan \theta dr}{r^2}$$

$$\text{હવે, } r^2 = x^2 + R^2 \text{ અને } \tan \theta = \frac{R}{x}$$

$$2rdr = 2xdx$$

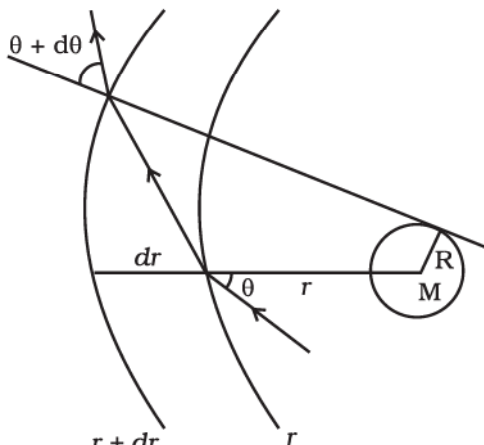
$$\int_0^{\theta_0} d\theta = \frac{2GM}{c^2} \int_{-\infty}^{\infty} \frac{R}{x} \frac{xdx}{(x^2 + R^2)^{3/2}}$$

$x = R \tan \phi$ મૂક્તાં,

$$dx = R \sec^2 \phi d\phi$$

$$\therefore \theta_0 = \frac{2GMR}{c^2} \int_{-\pi/2}^{\pi/2} \frac{R \sec^2 \phi d\phi}{R^3 \sec^3 \phi}$$

$$= \frac{2GM}{Rc^2} \int_{-\pi/2}^{\pi/2} \cos \phi d\phi = \frac{4GM}{Rc^2}$$



9.31 કારણ કે, દ્રવ્યનો વકીભવનાંક -1 છે. θ_i , ઝાળ છે અને θ'_r ધન છે.

$$\text{હવે, } |\theta_i| = |\theta_r| = |\theta'_r|$$

બહાર નીકળતા કિરણનું અંદર દાખલ થતા કિરણથી કુલ વિચલન $4\theta_i$ છે. કિરણો receiving તકતી સુધી નહિ પહોંચે. જો

$$\frac{\pi}{2} \leq 4\theta_i \leq \frac{3\pi}{2} \quad (\text{ખૂણો } y\text{-અક્ષથી ઘડિયાળની દિશામાં માપેલ છે.)$$

$$\frac{\pi}{8} \leq \theta_i \leq \frac{3\pi}{8}$$

$$\text{હવે, } \sin \theta_i = \frac{x}{R}$$

$$\frac{\pi}{8} \leq \sin^{-1} \frac{x}{R} \leq \frac{3\pi}{8}$$

$$\text{અથવા } \frac{\pi}{8} \leq \frac{x}{R} \leq \frac{3\pi}{8}$$

$$\text{આથી, } \frac{R\pi}{8} \leq x \leq \frac{R3\pi}{8} \quad (\text{માટે ઉદ્ગમમાંથી ઉત્સર્જિત પ્રકાશ receiving તકતી સુધી}$$

નહિ પહોંચે.)

9.32 (i) S થી P_1 સુધીની મુસાફરી માટે લાગતો સમય,

$$t_1 = \frac{SP_1}{c} = \frac{\sqrt{u^2 + b^2}}{c} \approx \frac{u}{c} \left(1 + \frac{1}{2} \frac{b^2}{u^2}\right) \quad (b \ll u_0 \text{ ધારણા હેઠળ})$$

P_1 થી O સુધીની મુસાફરી માટે લાગતો સમય,

$$t_2 = \frac{PO}{c} = \frac{\sqrt{v^2 + b^2}}{c} \approx \frac{v}{c} \left(1 + \frac{1}{2} \frac{b^2}{v^2}\right)$$

લેન્સમાંથી પસાર થવા માટે કિરણને લાગતો સમય,

$$t_l = \frac{(n-1) w(b)}{c} \quad \text{છે. જ્યાં, } n \text{ માધ્યમનો વકીભવનાંક છે.}$$

આથી કુલ સમય,

$$t = \frac{1}{c} \left[u + v + \frac{1}{2} b^2 \left(\frac{1}{u} + \frac{1}{v} \right) + (n-1) w(b) \right] \quad \text{મૂકૃતિ, } \frac{1}{D} = \frac{1}{u} + \frac{1}{v}$$

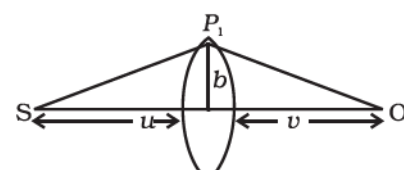
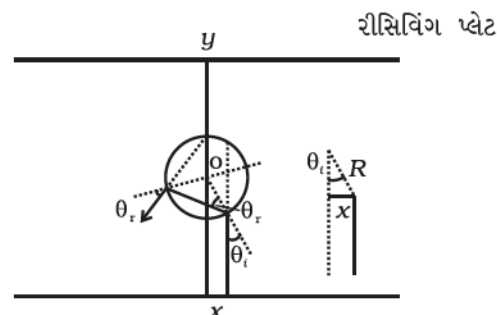
$$\text{તેથી, } t = \frac{1}{c} \left(u + v + \frac{1}{2} \frac{b^2}{D} + (n-1) \left(w_0 + \frac{b^2}{\alpha} \right) \right)$$

ફેટના સિદ્ધાંત પરથી,

$$\frac{dt}{db} = 0 = \frac{b}{CD} - \frac{2(n-1)b}{c\alpha}$$

$$\alpha = 2(n-1)D$$

આથી, જો $\alpha = 2(n-1)D$ હોય, તો લેન્સ અભિસારી થશે. તે b થી સ્વતંત્ર છે



અને તેથી S માંથી આવતાં બધાં જ પેરેક્ષિયલ કિરણો O પાસે લેગાં થશે. (અર્થાતું $b \ll n$ અને $b \ll v$)

$$\text{તેથી, } \frac{1}{D} = \frac{1}{u} + \frac{1}{v}, \text{ કેન્દ્રલંબાઈ ડી છે.$$

(ii) આ કિસ્સામાં,

$$t = \frac{1}{c} \left(u + v + \frac{1}{2} \frac{b^2}{D} + (n-1) k_1 \ln \left(\frac{k_2}{b} \right) \right)$$

$$\frac{dt}{db} = 0 = \frac{b}{D} - (n-1) \frac{k_1}{b}$$

$$\Rightarrow b^2 = (n-1) k_1 D$$

$$\therefore b = \sqrt{(n-1) k_1 D}$$

આથી, b ઉંચાઈ પાસેથી પસાર થતાં બધાં જ કિરણો પ્રતિબિંબ રચવામાં યોગદાન આપશે.

$$\beta \approx \frac{b}{v} = \frac{\sqrt{(n-1) k_1 D}}{v^2} = \sqrt{\frac{(n-1) k_1 u v}{v^2 (u+v)}} = \sqrt{\frac{(n-1) k_1 u}{(u+v)v}}$$

પ્રકરણ 10

10.1 (c)

10.2 (a)

10.3 (a)

10.4 (c)

10.5 (d)

10.6 (a), (b), (d)

10.7 (b), (d)

10.8 (a), (b)

10.9 (a), (b)

10.10 હા

10.11 ગોળીય

10.12 પૃથ્વીની ત્રિજ્યાની સરખામણીમાં ખૂબ જ વધારે ત્રિજ્યા ધરાવતાં ગોળીય આથી તે લગભગ સમતલ છે.

10.13 ધ્વનિતરંગોની આવૃત્તિ 20 Hz થી 20 kHz છે. તેને અનુરૂપ તરંગલંબાઈ અનુકૂળ 15 m અને 15 mm છે. વિવર્તન અસરો ત્યારે જ જોવા મળશે જો સ્લિટની પહોળાઈ $\alpha \sim \lambda$ જેટલી હોય.

પ્રકાશના તરંગોની તરંગલંબાઈ $\sim 10^{-7}$ m. આથી, વિવર્તન અસરો જ્યારે $\alpha \sim 10^{-7}$ m ત્યારે દર્શાવશે.

જ્યારે ધ્વનિ માટે તેઓ $15 \text{ mm} < \alpha < 15 \text{ m}$ ત્યારે દર્શાવશે.

- 10.14** બે ટપકાં વચ્ચેનું રેખીય અંતર $l = \frac{2.54}{300} \text{ cm} \simeq 0.84 \times 10^{-2} \text{ cm}$. Z અંતરે આ ખૂણો રચાય છે. (નાનો ખૂણો રચાય છે.)

$$\phi \sim l/z \quad \therefore z = \frac{l}{\phi} = \frac{0.84 \times 10^{-2} \text{ cm}}{5.8 \times 10^{-4}} \sim 14.5 \text{ cm}$$

- 10.15** માત્ર વિશિષ્ટ કિસ્સામાં જ્યારે (III) ની દગ્ધ અક્ષ (pass axis) એ (I) અથવા (II)ને સમાંતર હશે ત્યારે પ્રકાશ નિર્ગમન પામશે નહિ. બીજા બધા કિસ્સામાં પ્રકાશ નિર્ગમન પામશે કારણ કે (II) ની દગ્ધ અક્ષ એ (III)ની દગ્ધ અક્ષને બને ત્યાં સુધી લંબ હોતી નથી.

- 10.16** પરાવર્તન દ્વારા પ્રુવીભવન ત્યારે જ થશે (શક્ય બને) જ્યારે આપાતકોણ બ્રુસ્ટરકોણ

$$\text{જેટલો હોય. એટલે કે } \tan \theta_B = \frac{n_2}{n_1}, \text{ જ્યાં, } n_2 < n_1.$$

$$\text{જ્યારે પ્રકાશ એવા માધ્યમમાં ગતિ કરે જેનો કાંતિકોણ } \sin \theta_C = \frac{n_2}{n_1}$$

$$\text{જ્યાં, } n_2 < n_1.$$

$$\text{મોટા ખૂણા માટે } |\tan \theta_B| > |\sin \theta_C|, \theta_B < \theta_C.$$

આમ, પરાવર્તન દ્વારા પ્રુવીભવન ચોક્કસપણે થશે જ.

- 10.17** $d_{\min} = \frac{1.22 \lambda}{2 \sin \beta}$

જ્યાં, β એ વસ્તુ દ્વારા વસ્તુકાચ (objective) દ્વારા રચાયેલ ખૂણો છે.

5500 Å ના પ્રકાશ માટે,

$$d_{\min} = \frac{1.22 \times 5.5 \times 10^{-7}}{2 \sin \beta} \text{ m}$$

100 V વડે પ્રવેગિત થયેલા ઈલેક્ટ્રોન માટે ડિ-બ્રોગલી તરંગલંબાઈ

$$\lambda = \frac{h}{p} = \frac{1.227}{\sqrt{100}} = 0.13 \text{ nm} = 0.13 \times 10^{-9} \text{ m}$$

$$\therefore d'_{\min} = \frac{1.22 \times 1.3 \times 10^{-10}}{2 \sin \beta}$$

$$\therefore \frac{d'_{\min}}{d_{\min}} = \frac{1.3 \times 10^{-10}}{5.5 \times 10^{-7}} \sim 0.2 \times 10^{-3}$$

10.18 $T_2 P = D + x, T_1 P = D - x$

$$S_1 P = \sqrt{(S_1 T_1)^2 + (P T_1)^2}$$

$$= [D^2 + (D - x)^2]^{1/2}$$

$$S_2 P = [D^2 + (D + x)^2]^{1/2}$$

ન્યૂનતમ ત્યારે જ રચાય જયારે,

$$[D^2 + (D + x)^2]^{1/2} - [D^2 + (D - x)^2]^{1/2} = \frac{\lambda}{2}$$

$$\text{જે } x = D, \text{ તી}$$

$$(D^2 + 4D^2)^{1/2} = \frac{\lambda}{2}$$

$$(5D^2)^{1/2} = \frac{\lambda}{2} \therefore D = \frac{\lambda}{2\sqrt{5}}$$

10.19 P સિવાય :

$$A = A_{\perp} + A_{\parallel}$$

$$A_{\perp} = A_{\perp}^1 + A_{\perp}^2 = A_{\perp}^0 \sin(kx - \omega t) + A_{\perp}^0 \sin(kx - \omega t + \phi)$$

$$A_{\parallel} = A_{\parallel}^{(1)} + A_{\parallel}^{(2)}$$

$$A_{\parallel} = A_{\parallel}^0 [\sin(kx - wt) + \sin(kx - \omega t + \phi)]$$

જ્યાં, A_{\perp}^0 , A_{\parallel}^0 એ કિરણજૂથમાં કંતો લંબ (\perp) અને સમાંતર (\parallel) પ્રુવીભવન માટેના કુપવિસ્તારો છે.

\therefore તીવ્રતા =

$$= \left\{ |A_{\perp}^0|^2 + |A_{\parallel}^0|^2 \right\} [\sin^2(kx - wt)(1 + \cos^2\phi + 2\sin\phi) + \sin^2(kx - \omega_i)t \sin^2\phi] \text{ સરેરાશ$$

$$= \left\{ |A_{\perp}^0|^2 + |A_{\parallel}^0|^2 \right\} \left(\frac{1}{2}\right) \cdot 2(1 + \cos\phi)$$

$$= 2|A_{\perp}^0|^2 \cdot (1 + \cos\phi) \text{ કારણ કે } |A_{\perp}^0| \text{ સરેરાશ } = |A_{\parallel}^0| \text{ સરેરાશ}$$

P સાથે :

ધારો કે A_{\perp}^2 રોકી દીધેલ છે.

$$\text{તીવ્રતા} = (A_{||}^1 + A_{||}^2)^2 + (A_{\perp}^1)^2$$

$$= |A_{\perp}^0|^2 (1 + \cos \phi) + |A_{\perp}^0|^2 \cdot \frac{1}{2}$$

$$I_0 = 4|A_{\perp}^0|^2$$

= મુખ્ય (પ્રથમ) અધિકતમ પાસે પોલરાઈઝ સિવાય તીવ્રતા આપેલ છે.

પોલરાઈઝ સાથે મુખ્ય અધિકતમ પાસે તીવ્રતા,

$$= |A_{\perp}^0|^2 \left(2 + \frac{1}{2}\right)$$

$$= \frac{5}{8} I_0$$

પોલરાઈઝ સાથે પ્રથમ અધિકતમ પાસે તીવ્રતા,

$$= |A_{\perp}^0|^2 (1 - 1) + \frac{|A_{\perp}^0|^2}{2}$$

$$= \frac{I_0}{8}$$

10.20 પથ-તફાવત = $2d \sin\theta + (\mu - 1)l$

∴ મુખ્ય મહત્તમ માટે,

$$2d \sin\theta + 0.5l = 0$$

$$\sin\theta_0 = \frac{-l}{4d} = \frac{-1}{16} \quad \left(\because l = \frac{d}{4}\right)$$

$$\therefore OP = D \tan\theta_0 \approx -\frac{D}{16}$$

પ્રથમ ન્યૂનતમ માટે,

$$\therefore 2d \sin\theta_1 + 0.5l = \pm \frac{\lambda}{2}$$

$$\sin\theta_1 = \frac{\pm\lambda/2 - 0.5l}{2d} = \frac{\pm\lambda/2 - \lambda/8}{2\lambda} = \pm\frac{1}{4} - \frac{1}{16}$$

$$\text{ધન બાજુ પર, } \sin \theta^+ = \frac{3}{16}$$

$$\text{ઋષા બાજુ પર, } \sin \theta^- = -\frac{5}{16}$$

ધન બાજુ પર પ્રથમ મુખ્ય અધિકતમનું અંતર,

$$D \tan \theta^+ = D \frac{\sin \theta^+}{\sqrt{1 - \sin^2 \theta}} = D \frac{3}{\sqrt{16^2 - 3^2}} \text{ Oથી ઉપર તરફ.}$$

$$\text{ઋષા બાજુ પર અંતર } D \tan \theta^- = \frac{5}{\sqrt{16^2 - 5^2}} \text{ Oની નીચે તરફ.}$$

- 10.21** (i) A થી d અંતરે રહેલા R_1 પાસે અંતરાય વિચારો. R_1 પાસે A ને કારણે તરંગ $y_A = a \cos \omega t$ લો. A અને B માંથી આવતા સંકેત (signal) માટે પથ-તફાવત,

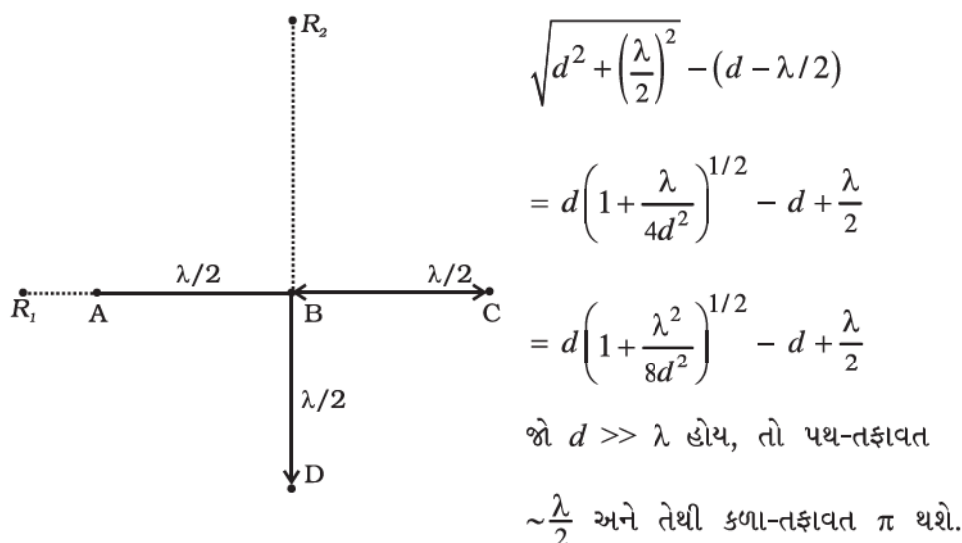
$$\frac{\lambda}{2} \text{ છે અને તેથી કળા-તફાવત } \pi \text{ છે.}$$

આથી, R_1 પાસે B ને કારણે તરંગ,

$$y_B = a \cos(\omega t - \pi) = -a \cos \omega t$$

C અને A માંથી આવતા સિગનલનો પથ-તફાવત λ છે અને તેથી કળા-તફાવત 2π છે. આથી, R_1 પાસે C ને કારણે તરંગ $y_C = a \cos \omega t$ છે.

D અને A માંથી આવતા સિગનલનો પથ-તફાવત,



$$\therefore y_D = -a \cos \omega t$$

આમ, R_1 પાસે પકડાતો (લેવામાં આવતો) સંકેત (signal)

$$y_A + y_B + y_C + y_D = 0$$

B માંથી R_2 પાસે પકડાતો સંકેત (signal) $y_B = a_1 \cos \omega t$.

D પાસે અને B પાસે સિગનલ વચ્ચેનો પથ-તફાવત $\frac{\lambda}{2}$ છે.

$$\therefore y_D = -a_1 \cos \omega t$$

A પાસે અને B પાસે સિગનલ વચ્ચેનો પથ-તફાવત

$$\sqrt{(d)^2 + \left(\frac{\lambda}{2}\right)^2} - d = d \left(1 + \frac{\lambda^2}{4d^2}\right)^{1/2} - d \sim \frac{1}{8} \frac{\lambda^2}{d^2}$$

$$\therefore 3 \text{ કળા-તફાવત } \frac{2\pi}{8\lambda} \cdot \frac{\lambda^2}{d^2} = \frac{\pi\lambda}{4d} = \phi \sim 0$$

આથી, $y_A = a_1 \cos(\omega t - \phi)$

તે જ રીતે, $y_C = a_1 \cos(\omega t - \phi)$

$\therefore R_2$ દ્વારા પકડાતો (લેવામાં આવતો) સંકેત

$$y_A + y_B + y_C + y_D = y = 2a_1 \cos(\omega t - \phi)$$

$$\therefore |y|^2 = 4a_1^2 \cos^2(\omega t - \phi)$$

$$\therefore \langle I \rangle = 2a_1^2$$

આથી, R_1 મોટા સિગનલને પકડશે.

(ii) જો B ને બંધ કરવામાં આવે તો,

$$R_1 \text{ વડે પડકાતો સંકેત } y = a \cos \omega t$$

$$\therefore \langle I_{R_1} \rangle = \frac{1}{2}a^2$$

$$R_2 \text{ વડે પકડાતો સંકેત } y = a \cos \omega t$$

$$\therefore \langle I_{R_2} \rangle = \frac{1}{2}a_1^2$$

આમ, R_1 અને R_2 દ્વારા પકડાતો સંકેત સમાન હશે.

(c) જો D ને બંધ કરવામાં આવે તો,

$$R_1 \text{ વડે પડકાતો સંકેત, } y = a \cos \omega t$$

$$\therefore \langle I_{R_1} \rangle = \frac{1}{2}a^2$$

$$R_2 \text{ વડે પકડાતો સંકેત, } y = 3a \cos \omega t$$

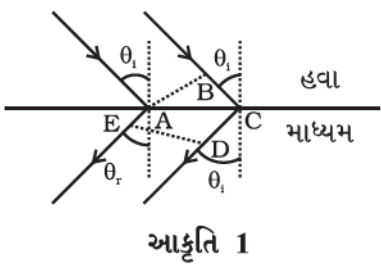
$$\therefore \langle I_{R_2} \rangle = \frac{1}{2}9a^2$$

આમ, R_2 વડે પકડાતો સંકેત એ R_1 ની સરખામજીમાં મોટો હશે.

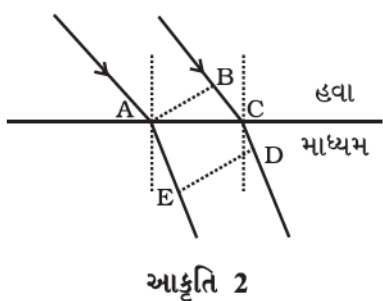
(iv) આમ, R_1 પાસે સંકેત B ને બંધ કરવામાં આવેલ છે. તેમ દર્શાવશે અને R_2 પાસે ઉન્નત (મોટું થયેલ) સિગનલ (સંકેત) દર્શાવશે કે D ને બંધ કરવામાં આવેલ છે.

10.22 (i) ધારો કે ધારણા સાચી છે, તેથી બે સમાંતર કિરણો આકૃતિ 1 માં દર્શાવ્યા પ્રમાણે આગળ વધે છે. ED એ તરંગઅગ્ર દર્શાવે છે તેવું ધારતાં, તેનાં પરનાં બધાં જ બિંદુઓની કળા સમાન હશે. સમાન પ્રકાશીય પથલંબાઈ ધરાવતાં બધાં બિંદુઓ સમાન કળામાં જ હોવા જોઈએ.

$$\text{આમ, } -\sqrt{\varepsilon_r \mu_r} AE = BC - \sqrt{\varepsilon_r \mu_r} CD$$



આકૃતિ 1



આકૃતિ 2

$$\text{અથવા } BC = \sqrt{\varepsilon_r \mu_r} (CD - AE)$$

$$BC > 0, CD > AE$$

ધારણા તર્કસંગત છે તેવું દર્શાવીએ. જો તેમ છતાં, પ્રકાશ સામાન્ય સંજોગોમાં સામાન્ય દ્રવ્ય તરીકે આગળ વધે છે. (દા.ત., ચોથા ચરણમાં, આકૃતિ 2)

$$\text{તેથી, } -\sqrt{\varepsilon_r \mu_r} AE = BC - \sqrt{\varepsilon_r \mu_r} CD$$

$$\text{અથવા } BC = \sqrt{\varepsilon_r \mu_r} (CD - AE)$$

$$\text{આથી, } AE > CD, BC < 0$$

જે દર્શાવે છે કે આ શક્ય નથી.

આથી, ધારણા સાચી છે.

(ii) આકૃતિ 1 પરથી,

$$BC = AC \sin \theta_i \text{ અને } CD - AE = AC \sin \theta_r :$$

$$\text{આથી, } -\sqrt{\varepsilon_r \mu_r} (AE - DC) = BC$$

$$-n \sin \theta_r = \sin \theta_i$$

10.23 *i* ખૂણે આપાત થતું કિરણ વિચારો. આ કિરણનો થોડો ભાગ હવા-ફિલ્મ આંતર સપાટી પાસેથી પરાવર્તન પામશે અને થોડો ભાગ અંદર વકીલવન પામશે. ફિલ્મ-કાચ આંતર સપાટી પાસેથી આ અંશતઃ પરાવર્તન પામશે અને થોડો (બાકીનો) ભાગ પ્રસરણ પામશે. પરાવર્તિત કિરણનો ભાગ ફિલ્મ-હવા આંતર સપાટી પાસેથી પરાવર્તન પામશે અને થોડો ભાગ r_2 એ r_1 ને સમાંતર રહે તેમ પ્રસરણ પામશે. અલબત્ત, કમિક પરાવર્તનો અને પ્રસરણોમાં તરંગનો કંપવિસ્તાર સતત ઘટતો જશે. આથી, કિરણો r_1 અને r_2 નું વર્તન પ્રભાવી રહેશે. જો આપાત પ્રકાશ લેન્સ દ્વારા પ્રસરણ પામે તો, r_1 અને r_2 વિનાશક દખલ રચશે. A અને D પાસેથી બંને પરાવર્તનો ઓછાથી વધારે વકીલવનાંક તરફના હોય છે અને આથી, અહીં પરાવર્તનને લીધે કળાનો ફેરફાર હશે નહિ. r_2 અને r_1 વચ્ચેનો પ્રકાશીય પથ-તફાવત,

$$n(AD + CD) - AB \quad \text{છે.}$$

જો d એ ફિલ્મની જાડાઈ હોય, તો

$$AD = CD = \frac{d}{\cos r}$$

$$AB = AC \sin i$$

$$\frac{AC}{2} = d \tan r$$

$$\therefore AC = 2d \tan r$$

$$\text{આથી, } AB = 2d \tan r \sin i$$

આમ, પ્રકાશીય પથ-તફાવત,

$$2n \frac{d}{\cos r} - 2d \tan r \sin i$$

$$= 2 \cdot \frac{\sin i}{\sin r \cos r} \frac{d}{\cos r} - 2d \frac{\sin r}{\cos r} \sin i$$

$$= 2d \sin \left[\frac{1 - \sin^2 r}{\sin r \cos r} \right]$$

$$= 2nd \cos r$$

આ તરંગો માટે, વિનાશક દખલ (વ્યતીકરણ) માટે આ $\frac{\lambda}{2}$ થવું જ જોઈએ.

$$\Rightarrow 2nd \cos r = \frac{\lambda}{2}$$

$$\text{અથવા } nd \cos r = \frac{\lambda}{4}$$

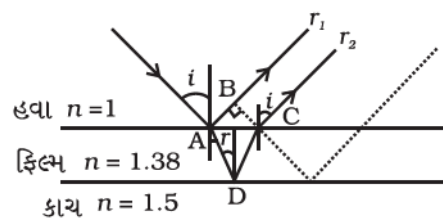
કેમેરાના લેન્સ માટે, ઉદ્ગમો ઊર્ધ્વ સમતલમાં હોય છે અને આથી, $i \simeq r \simeq 0$.

$$\therefore nd \simeq \frac{\lambda}{4}.$$

$$\Rightarrow d = \frac{5500 \text{ \AA}}{1.38 \times 4} \simeq 1000 \text{ \AA}$$

પ્રકરણ 11

- 11.1** (d)
- 11.2** (b)
- 11.3** (d)
- 11.4** (c)
- 11.5** (b)
- 11.6** (a)
- 11.7** (a)
- 11.8** (c)
- 11.9** (c), (d)
- 11.10** (a), (c)
- 11.11** (b), (c)
- 11.12** (a), (b), (c)
- 11.13** (b), (d)



$$11.14 \quad \lambda_p / \lambda_d = p_x / p_p = \frac{\sqrt{2m_\alpha E_\alpha}}{\sqrt{2m_p E_p}} = \sqrt{8} : 1$$

11.15 (i) $E_{\max} = 2h\nu - \phi$

(ii) એક જ ઇલેક્ટ્રોન દ્વારા 2 ફોટોનના શોષણની સંભાવના ખૂબ જ ઓછી છે. આથી, આવા ઉત્સર્જન અવગાળી શકાય. (નગાય હોય છે.)

11.16 પ્રથમ કિસ્સામાં પૂરી પાડવામાં આવેલી ઊર્જા કરતાં ઓછી ઊર્જા આપવામાં આવી છે. બીજા કિસ્સામાં દ્વયને એવી રીતે ઊર્જા પૂરી પાડવામાં આવી છે કે, જેથી ઉત્સર્જિત ફોટોન પાસે વધારે ઊર્જા હોય. આ સ્થિર પદાર્થોમાં બની શકતું નથી.

11.17 ના, મોટા ભાગના ઇલેક્ટ્રોન ધાતુમાં વિભેરાયેલા હોય છે. માત્ર થોડાક જ ધાતુની સપાટીમાંથી બહાર આવી જાય છે.

11.18 કુલ E અયળ છે.

X-કિરણ અને દશ્ય વિસ્તારના ફોટોનની સંખ્યા ધારો કે n_1 અને n_2 છે.

$$n_1 E_1 = n_2 E_2$$

$$n_1 \frac{hc}{\lambda_1} = n_2 \frac{hc}{\lambda_2}$$

$$\frac{n_1}{n_2} = \frac{\lambda_1}{\lambda_2}.$$

$$\frac{n_1}{n_2} = \frac{1}{500}$$

11.19 વેગમાન ધાતુમાં રૂપાંતરિત (તબદીલ, transferred) થાય છે. સૂક્ષ્મ સ્તરે, પરમાણુ ફોટોનનું શોષણ કરે છે અને તેનું વેગમાન મુખ્યત્વે ન્યુક્લિયસ અને ઇલેક્ટ્રોનમાં રૂપાંતરિત થાય છે. ઉત્સર્જિત ઇલેક્ટ્રોનનું ઉત્સર્જન થાય છે. ન્યુક્લિયસ અને ઇલેક્ટ્રોનમાં રૂપાંતરિત વેગમાનને ધ્યાનમાં લેવા માટે વેગમાન સંરક્ષણ જરૂરી છે.

11.20 મહત્તમ ઊર્જા $= h\nu - \phi$

$$\left(\frac{1230}{600} - \phi \right) = \frac{1}{2} \left(\frac{1230}{400} - \phi \right)$$

$$\phi = \frac{1230}{1200} = 1.02 \text{ eV}$$

11.21 $\Delta x \Delta p \simeq \hbar$

$$\Delta p \simeq \frac{\hbar}{\Delta x} \simeq \frac{1.05 \times 10^{-34} \text{ Js}}{10^{-9} \text{ m}} = 1.05 \times 10^{-25}$$

$$\begin{aligned} E &= \frac{p^2}{2m} = \frac{(1.05 \times 10^{-25})^2}{2 \times 9.1 \times 10^{-31}} = \frac{1.05^2}{18.2} \times 10^{-19} \text{ J} = \frac{1.05^2}{18.2 \times 1.6} \text{ eV} \\ &= 3.8 \times 10^{-2} \text{ eV} \end{aligned}$$

11.22 $I = n_A n_A = n_B \nu_B$

$$\frac{n_A}{n_B} = 2 = \frac{\nu_B}{\nu_A}$$

B ના કિરણજૂથની આવૃત્તિ A ની આવૃત્તિ કરતાં બમણી હશે.

11.23 $p_c = |p_A| + |p_B| = \frac{h}{\lambda_A} + \frac{h}{\lambda_B} = \frac{h}{\lambda_c} = \frac{h}{\lambda_c}$

જે $p_A, p_B > 0$ અથવા $p_A, p_B < 0$

$$\text{અથવા } \lambda_c = \frac{\lambda_A \lambda_B}{\lambda_A + \lambda_B}$$

જે $p_A > 0, p_B < 0$ અથવા $p_A < 0, p_B > 0$

$$p_c = h \frac{\lambda_B - \lambda_A}{|\lambda_A \cdot \lambda_B|} = \frac{h}{\lambda_c}$$

$$\lambda_c = \frac{\lambda_B \cdot \lambda_A}{|\lambda_A - \lambda_B|}.$$

11.24 $2d \sin\theta = \lambda = d = 10^{-10} \text{ m}$

$$p = \frac{h}{10^{-10}} = \frac{6.6 \times 10^{-34}}{10^{-10}} = 6.6 \times 10^{-24} \text{ kgms}^{-1}$$

$$\begin{aligned} E &= \frac{(6.6 \times 10^{-24})^2}{2 \times (1.7 \times 10^{-27})} \times 1.6 \times 10^{-19} = \frac{6.6^2}{2 \times 1.7} \times 1.6 \times 10^{-2} \text{ eV} \\ &= 20.5 \times 10^{-2} \text{ eV} = 0.21 \text{ eV} \end{aligned}$$

11.25 $6 \times 10^{26} \text{ Na}$ ના પરમાણુનું દ્રવ્યમાન 23 kg .

$$\text{લક્ષ્યનું કદ} = (10^{-4} \times 10^{-3}) = 10^{-7} \text{ m}^3$$

$$\text{સોલિયમની ઘનતા} = (d) = 0.97 \text{ kg/m}^3$$

$$6 \times 10^{26} \text{ Na પરમાણુનું કદ} = \frac{23}{0.97} \text{ m}^3 = 23.7 \text{ m}^3$$

$$\text{Na ના 1 પરમાણુએ પ્રાપ્ત કરેલ કદ} = \frac{23}{0.97 \times 6 \times 10^{26}} \text{ m}^3 = 3.95 \times 10^{-26} \text{ m}^3$$

$$\text{લક્ષ્યમાં સોલિયમ પરમાણુની સંખ્યા} = \frac{10^{-7}}{3.95 \times 10^{-26}} = 2.53 \times 10^{18}$$

$$10^{-4} \text{ m}^2 \text{ ના કિરણપુંજમાં ફોટોનની સંખ્યા/સેકન્ડ} = n$$

$$\text{ગુર્જ પ્રતિ સેકન્ડ} nh\nu = 10^{-4} \text{ J} \times 100 = 10^{-2} \text{ W}$$

$$h\nu (\lambda = 660 \text{ nm માટે}) = \frac{1234.5}{600}$$

$$= 2.05 \text{ eV} = 2.05 \times 1.6 \times 10^{-19} = 3.28 \times 10^{-19} \text{ J}$$

$$n = \frac{10^{-2}}{3.28 \times 10^{-19}} = 3.05 \times 10^{16} / \text{s}$$

$$n = \frac{1}{3.2} \times 10^{17} = 3.1 \times 10^{16}$$

જો P એ પ્રતિ પરમાણુ ઉત્સર્જનની સંભાવના હોય, તો પ્રતિ ફોટોન, ઉત્સર્જિત ફોટો ઈલેક્ટ્રોનની સંખ્યા/સેકન્ડ

$$= P \times 3.1 \times 10^{16} \times 2.53 \times 10^{18}$$

$$\text{પ્રવાહ} = P \times 3.1 \times 10^{+16} \times 2.53 \times 10^{18} \times 1.6 \times 10^{-19} \text{ A}$$

$$= P \times 1.25 \times 10^{+16} \text{ A}$$

આ 100 μA જેટલું થયું જ જોઈએ અથવા

$$P = \frac{100 \times 10^{-6}}{1.25 \times 10^{+16}}$$

$$\therefore P = 8 \times 10^{-21}$$

આમ, એક પરમાણુ પરથી એક ફોટોન વડે ફોટો ઉત્સર્જનની સંભાવના 1 કરતાં ખૂબ જ નાની છે. તેથી કરીને એક પરમાણુ વડે બે ફોટોનનું શોષણ નગણ્ય છે. (અવગણી શક્ય છે.)

11.26 બાબુ ઊર્જા વડે થતું કાર્ય = $+ \frac{1}{4\pi\epsilon_0} \cdot \frac{1}{4} \int_d^{\infty} \frac{q^2}{x^2} dx = \frac{1}{4} \cdot \frac{q^2}{4\pi\epsilon_0 d}$

$$d = 0.1 \text{ nm સાથે, } \text{ઊર્જા} = \frac{(1.6 \times 10^{-19}) \times 9 \times 10^9}{4(10^{-10}) \times 1.6 \times 10^{-19}} \text{ eV}$$

$$= \frac{1.6 \times 9}{4} \text{ eV} = 3.6 \text{ eV}$$

11.27 (i) B માટે ઉચ્ચ આવૃત્તિએ સ્ટોપિંગ પોટોન્શિયલ = 0. આથી તેને ઊંચું (વધારે) વર્ક ફૂકશન હશે.

(ii) દોરી = $\frac{h}{e} = \frac{2}{(10-5) \times 10^{14}} \text{ A માટે}$

$$= \frac{2.5}{(15-10) \times 10^{14}} \text{ B માટે}$$

$$h = \frac{1.6 \times 10^{-19}}{5} \times 2 \times 10^{-14} = 6.04 \times 10^{-34} \text{ Js A માટે}$$

$$= \frac{1.6 \times 10^{-19} \times 2.5 \times 10^{-14}}{5} = 8 \times 10^{-34} \text{ Js B માટે}$$

જ્યાં સુધી h નાં મૂલ્યો (ગણતરી પરથી) જુદાં મળે છે. પ્રયોગ એ સૈદ્ધાંતિક (વાદ) સાથે સુસંગત નથી.

$$11.28 \quad m_A v = m_A v_1 + m_B v_2$$

$$\frac{1}{2} m_A v^2 = \frac{1}{2} m_A v_1^2 + \frac{1}{2} m_B v_2^2$$

$$\therefore \frac{1}{2} m_A (v - v_1)(v_A + v_1) = \frac{1}{2} m_B v_B^2$$

$$\therefore v + v_1 = v_2$$

$$\text{અથવા } v = v_2 - v_1$$

$$\therefore v_1 = \left(\frac{m_A - m_B}{m_A + m_B} \right) v \quad \text{અને} \quad v_2 = \left(\frac{2m_A}{m_A + m_B} \right) v$$

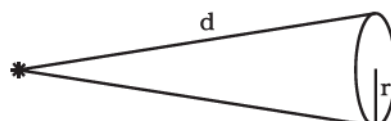
$$\therefore \lambda_{\text{યારેલિક}} = \frac{h}{m_A v}$$

$$\lambda_{\text{નિતિમ}} = \frac{h}{m_A v} = \left| \frac{h(m_A + m_B)}{m_A(m_A - m_B)v} \right|$$

$$\therefore \Delta \lambda = \frac{h}{m_A v} \left[\left| \frac{m_A + m_B}{m_A - m_B} \right| - 1 \right]$$

$$11.29 \quad \text{(i)} \quad \frac{dN}{dt} = \frac{P}{(hc/\lambda)} = 5 \times 10^{19} / s$$

$$\text{(ii)} \quad \frac{hc}{\lambda} = 2.49 \text{ eV} > W_0 : \text{ હા}$$



$$\text{(iii)} \quad P \cdot \frac{\pi r^2}{4\pi d^2} \Delta t = W_0, \quad \Delta t = 28.4 \text{ s}$$

$$\text{(iv)} \quad N = \left(\frac{dN}{dt} \right) \times \frac{\pi r^2}{4\pi d^2} \times \Delta t = 2$$

પ્રકરણ 12

12.1 (c)**12.2** (c)**12.3** (a)**12.4** (a)**12.5** (a)**12.6** (a)**12.7** (a)**12.8** (a), (c)**12.9** (a), (b)**12.10** (a), (b)**12.11** (b), (d)**12.12** (b), (d)**12.13** (c), (d)

12.14 આઈન્સ્ટાઇનની દ્રવ્ય-ઉર્જા સમતુલ્યતા $E = mc^2$ આવે છે એટલે જ, H-પરમાણુનું દ્રવ્યમાન $= m_p + m_e - \frac{B}{c^2}$, જ્યાં, $B \approx 13.6\text{eV}$ એ બંધનઉર્જા છે.

12.15 કારણ કે બંને ન્યુક્લિયસ ઈલેક્ટ્રોન કરતા ઘણાં ભારે છે.

12.16 કારણ કે ઈલેક્ટ્રોન ફક્ત વિદ્યુત ચુંબકીય રીતે જ આંતરકિયા કરે છે.

12.17 હા. બોહ્રનું સૂત્રમાં વિદ્યુતભારોના ગુણાકારનો સમાવેશ કરે છે એટલે.

12.18 ના, કારણ કે બોહ્રના મોડેલ પ્રમાણે, $E_n = -\frac{13.6}{n^2}$ અને જુદી-જુદી ઉર્જા ધરાવતા ઈલેક્ટ્રોન જુદી-જુદી કક્ષામાં હોવાથી n નાં જુદાં જુદાં મૂલ્યો આવે. એટલે જ કોણીય વેગમાન પણ જુદું-જુદું આવે કેમકે $mvr = \frac{nh}{2\pi}$.

12.19 બોહ્રના સૂત્ર $E_n = -\frac{me^4}{8\varepsilon_0 n^2 h^2}$ માં ‘ m ’ એ રિઝ્યુસ્લ દ્રવ્યમાન છે. H-પરમાણુ માટે, $m \approx m_e$. પોઝિટ્રોનિયમ માટે $m \approx \frac{m_e}{2}$. એટલે જ, પોઝિટ્રોનિયમ માટે $E_1 \approx -6.8\text{eV}$.

12.20 $2e$ વિદ્યુતભાર ધરાવતા ન્યુક્લિયસ અને $-e$ વિદ્યુતભાર ધરાવતા ઈલેક્ટ્રોન માટે કક્ષાઓ

$$E_n = -\frac{4me^4}{8\varepsilon_0^2 n^2 h^2}. \text{ ધરા-અવસ્થામાં દરેક ઊર્જા } E \text{ ધરાવતા બે ઈલેક્ટ્રોન હશે અને કુલ ધરા-અવસ્થા ઊર્જા } = (4 \times 13.6) \text{ eV હશે.}$$

12.21 $v =$ ઈલેક્ટ્રોનનો વેગ

$$a_0 = \text{બોહ્ઝર ત્રિજ્યા}$$

$$\therefore \text{એકમ સમયમાં પરિભ્રમણની સંખ્યા} = \frac{2\pi a_0}{v}$$

$$\therefore \text{વિદ્યુતપ્રવાહ} = \frac{2\pi a_0}{v} e$$

$$\text{12.22 } v_{mn} = cRZ^2 \left[\frac{1}{(n+p)^2} - \frac{1}{n^2} \right],$$

જ્યાં, $m = n + p$, ($p = 1, 2, 3, \dots$) અને $R =$ રીડબર્ગ અચળાંક

માટે $p \ll n$.

$$v_{mn} = cRZ^2 \left[\frac{1}{n^2} \left(1 + \frac{p}{n} \right)^{-2} - \frac{1}{n^2} \right]$$

$$v_{mn} = cRZ^2 \left[\frac{1}{n^2} - \frac{2p}{n^3} - \frac{1}{n^2} \right]$$

$$v_{mn} = cRZ^2 \frac{2p}{n^3} \approx \left(\frac{2cRZ^2}{n^3} \right) p$$

આથી, v_{mn} એ આશરે 1, 2, 3, ... ના ક્રમનો હોય છે.

12.23 બામર શ્રેષ્ઠીની H_γ રેખા એ $n = 5$ થી $n = 2$ ના સંક્રમણને અનુરૂપ છે. એટલે જ ધરા-અવસ્થા $n = 1$ માં આવેલા ઈલેક્ટ્રોનને પહેલાં $n = 5$ અવસ્થામાં મૂકવો પડશે.

આને માટે જરૂરી ઊર્જા $= E_1 - E_5 = 13.6 - 0.54 = 13.06 \text{ eV}$.

જો કોણીય વેગમાનનું સંરક્ષણ થાય તો ફોટોનનું વેગમાન

= ઈલેક્ટ્રોનના કોણીય વેગમાનનો ફેરફાર

$$= L_5 - L_2 = 5\hbar - 2\hbar = 3\hbar = 3 \times 1.06 \times 10^{-34}$$

$$= 3.18 \times 10^{-34} \text{ kg m}^2/\text{s}$$

$$\text{12.24 } H \text{ નું રિઝ્યુસ્ટ દ્રવ્યમાન } \mu_H = \frac{m_e}{1 + \frac{m_e}{M}} \approx m_e \left(1 - \frac{m_e}{M} \right)$$

$$D \text{ નું રિઝ્યુસ્ટ દ્રવ્યમાન } \mu_D = m_e \left(1 - \frac{m_e}{2M}\right) = m_e \left(1 - \frac{m_e}{2M}\right) \left(1 + \frac{m_e}{2M}\right)$$

$$h\nu_{ij} = (E_i - E_j) \alpha \mu \text{ એટલે } \lambda_{ij} \alpha \frac{1}{\mu}$$

જો હાઈડ્રોજન/ડ્યુટેરિયમ, તરંગલંબાઈ λ_H / λ_D હોય,

$$\frac{\lambda_D}{\lambda_H} = \frac{\mu_H}{\mu_D} \approx \left(1 + \frac{m_e}{2M}\right)^{-1} \approx \left(1 - \frac{1}{2 \times 1840}\right)$$

$$\lambda_D = \lambda_H \times (0.99973)$$

માટે રેખાઓ $\rightarrow 1217.7 \text{ \AA}, 1027.7 \text{ \AA}, 974.04 \text{ \AA}, 951.143 \text{ \AA}$.

12.25 ન્યુક્લિયર ગતિને ધ્યાનમાં રાખીને સ્થાયી અવસ્થાની ઊર્જાઓ

$$E_n = -\frac{\mu Z^2 e^4}{8\epsilon_0^2 h^2} \left(\frac{1}{n^2}\right) \text{ લેવાય.}$$

હાઈડ્રોજનના રિઝ્યુસ્ટ દ્રવ્યમાનને μ_H ડ્યુટેરિયમના રિઝ્યુસ્ટ દ્રવ્યમાનને μ_D લેતાં, હાઈડ્રોજનમાં લાયમન શ્રેણીની પ્રથમ રેખાની આવૃત્તિ માટે,

$$h\nu_H = \frac{\mu_H e^4}{8\epsilon_0^2 h^2} \left(1 - \frac{1}{4}\right) = \frac{3}{4} \frac{\mu_H e^4}{8\epsilon_0^2 h^2}.$$

એટલે જ સંકાંતિની તરંગલંબાઈ $\lambda_H = \frac{3}{4} \frac{\mu_H e^4}{8\epsilon_0^2 h^2 c}$. ડ્યુટેરિયમને તે જ રેખા માટેની

સંકાંતિની તરંગલંબાઈ $\lambda_D = \frac{3}{4} \frac{\mu_D e^4}{8\epsilon_0^2 h^2 c}$.

$$\therefore \Delta\lambda = \lambda_D - \lambda_H$$

માટે પ્રતિશત તફાવત

$$100 \times \frac{\Delta\lambda}{\lambda_H} = \frac{\lambda_D - \lambda_H}{\lambda_H} \times 100 = \frac{\mu_D - \mu_H}{\mu_H} \times 100$$

$$= \frac{\frac{m_e M_D}{(m_e + M_D)} - \frac{m_e M_H}{(m_e + M_H)}}{m_e M_H / (m_e + M_H)} \times 100$$

$$= \left[\left(\frac{m_e + M_H}{m_e + M_D} \right) \frac{M_D}{M_H} - 1 \right] \times 100$$

$m_e \ll M_H < M_D$ હોવાથી

$$\begin{aligned}
 \frac{\Delta\lambda}{\lambda_H} \times 100 &= \left[\frac{M_H}{M_D} \times \frac{M_D}{M_H} \left(\frac{1 + m_e/M_H}{1 + m_e/M_D} \right) - 1 \right] \times 100 \\
 &= \left[(1 + m_e/M_H)(1 + m_e/M_D)^{-1} - 1 \right] \times 100 \\
 &\simeq \left[(1 + \frac{m_e}{M_H} - \frac{m_e}{M_D} - 1) \right] \times 100 \\
 &\approx m_e \left[\frac{1}{M_H} - \frac{1}{M_D} \right] \times 100 \\
 &= 9.1 \times 10^{-31} \left[\frac{1}{1.6725 \times 10^{-27}} - \frac{1}{3.3374 \times 10^{-27}} \right] \times 100 \\
 &= 9.1 \times 10^{-4} [0.5979 - 0.2996] \times 100 \\
 &= 2.714 \times 10^{-2} \%
 \end{aligned}$$

12.26 H-પરમાણુના બિંદુવાટું ન્યુક્લિયસ માટે :

$$\begin{aligned}
 \text{ધરા-અવસ્થા} : mvr = \hbar, \frac{mv^2}{r_B} &= -\frac{e^2}{r_B^2} \cdot \frac{1}{4\pi\epsilon_0} \\
 \therefore m \frac{\hbar^2}{m^2 r_B^2} \cdot \frac{1}{r_B} &= + \left(\frac{e^2}{4\pi\epsilon_0} \right) \frac{1}{r_B^2} \\
 \therefore \frac{\hbar^2}{m} \cdot \frac{4\pi\epsilon_0}{e^2} &= r_B = 0.51 \text{ Å}
 \end{aligned}$$

સ્થિતિગીર્જા,

$$\begin{aligned}
 - \left(\frac{e^2}{4\pi\epsilon_0} \right) \cdot \frac{1}{r_B} &= - 27.2 \text{ eV}; \\
 \text{ગતિગીર્જા} &= \frac{mv^2}{2} = \frac{1}{2} m \cdot \frac{\hbar^2}{m^2 r_B^2} = \frac{\hbar}{2mr_B} = + 13.6 \text{ eV}
 \end{aligned}$$

R ત્રિજ્યા ધરાવતા ગોળાકાર ન્યુક્લિયસ માટે,

જો R < r_B હોય, તો એ જ પરિણામ

જો R >> r_B હોય, તો r'_B ત્રિજ્યા ધરાવતા ગોળાની અંદર ઈલેક્ટ્રોન ગતિ કરશે.
(જ્યાં, r'_B = નવી બોલ્ડર ત્રિજ્યા)

$$\text{અંદરનો વિદ્યુતભાર } r'_B{}^4 = e \left(\frac{r'_B{}^3}{R^3} \right)$$

$$\therefore r'_B = \frac{\hbar^2}{m} \left(\frac{4\pi\epsilon_0}{e^2} \right) \frac{R^3}{r_B'^3}$$

$$r'_B^4 = (0.51 \text{ \AA}) \cdot R^3. \quad R = 10 \text{ \AA}$$

$$= 510 (\text{\AA})^4$$

$$\therefore r'_B \approx (510)^{1/4} \text{ \AA} < R$$

$$\text{ગતિકુળ} = \frac{1}{2}mv^2 = \frac{m}{2} \cdot \frac{\hbar}{m^2 r_B'^2} = \frac{\hbar}{2m} \cdot \frac{1}{r_B'^2}$$

$$= \left(\frac{\hbar^2}{2mr_B'^2} \right) \cdot \left(\frac{r_B^2}{r_B'^2} \right) = (13.6 \text{ eV}) \frac{(0.51)^2}{(510)^{1/2}} = \frac{3.54}{22.6} = 0.16 \text{ eV}$$

$$\text{સ્થિતિકુળ} = + \left(\frac{e^2}{4\pi\epsilon_0} \right) \cdot \left(\frac{r_B'^2 - 3R^2}{2R^3} \right)$$

$$= + \left(\frac{e^2}{4\pi\epsilon_0} \cdot \frac{1}{r_B} \right) \cdot \left(\frac{r_B(r_B'^2 - 3R^2)}{R^3} \right)$$

$$= + (27.2 \text{ eV}) \left[\frac{0.51(\sqrt{510} - 300)}{1000} \right]$$

$$= + (27.2 \text{ eV}) \cdot \left(\frac{-141}{1000} \right) = -3.83 \text{ eV}$$

12.27 ન્યુક્લિયસ ભારે હોવાથી, પરમાણુનો રીકોઈલ (recoil) વેગમાન અવગણી શકાય અને તેની સંકાતિની બધી જ ઊર્જા ઓગર ઈલેક્ટ્રોનને તબદીલ કરી લેવાય. Cr માં એક જ વેલેન્સ ઈલેક્ટ્રોન હોવાથી, ઊર્જા-અવસ્થાઓ બોલ્ડર મોટેલ વડે આપેલી વિચારી શકાય. n મી અવસ્થાની ઊર્જા $E_n = -Z^2 R \frac{1}{n^2}$ જ્યાં, R એ શીડબર્ગ અચળાંક છે અને $Z = 24$.

2 થી 1 ની સંકાંતિમાં છૂટી પડેલી ઊર્જા

$$\Delta E = Z^2 R \left(1 - \frac{1}{4} \right) = \frac{3}{4} Z^2 R.$$

$$n = 4 \text{ ઈલેક્ટ્રોનને બહાર કાઢવા માટેની ઊર્જા } E_4 = Z^2 R \frac{1}{16}.$$

માટે, ઓગર ઈલેક્ટ્રોનની ગતિકુળ,

$$\text{K.E.} = Z^2 R \left(\frac{3}{4} - \frac{1}{16} \right) = \frac{1}{16} Z^2 R$$

$$= \frac{11}{16} \times 24 \times 24 \times 13.6 \text{ eV}$$

$$= 5385.6 \text{ eV}$$

$$\mathbf{12.28} \quad m_p c^2 = 10^{-6} \times \text{ઇલેક્ટ્રોનનું દળ} \times c^2$$

$$\approx 10^{-6} \times 0.5 \text{ MeV}$$

$$\approx 10^{-6} \times 0.5 \times 1.6 \times 10^{-13}$$

$$\approx 0.8 \times 10^{-19} \text{ J}$$

$$\frac{\hbar}{m_p c} = \frac{\hbar c}{m_p c^2} = \frac{10^{-34} \times 3 \times 10^8}{0.8 \times 10^{-19}} \approx 4 \times 10^{-7} \text{ m} \gg \text{બોણ્ડર ત્રિજ્યા}$$

$$|\mathbf{F}| = \frac{e^2}{4\pi\epsilon_0} \left[\frac{1}{r^2} + \frac{\lambda}{r} \right] \exp(-\lambda r)$$

$$\text{જ્યાં, } \lambda^{-1} = \frac{\hbar}{m_p c} \approx 4 \times 10^{-7} \text{ m} \gg r_B$$

$$\therefore \lambda \ll \frac{1}{r_B} \quad \therefore \lambda r_B \ll 1$$

$$U(r) = -\frac{e^2}{4\pi\epsilon_0} \cdot \frac{\exp(-\lambda r)}{r}$$

$$mv r = \hbar \quad \therefore v = \frac{\hbar}{mr}$$

$$\text{કહીલ, } \frac{mv^2}{r} \approx \left(\frac{e^2}{4\pi\epsilon_0} \right) \left[\frac{1}{r^2} + \frac{\lambda}{r} \right]$$

$$\therefore \frac{\hbar^2}{mr^3} = \left(\frac{e^2}{4\pi\epsilon_0} \right) \left[\frac{1}{r^2} + \frac{\lambda}{r} \right]$$

$$\therefore \frac{\hbar^2}{m} = \left(\frac{e^2}{4\pi\epsilon_0} \right) [r + \lambda r^2]$$

$$\text{જીલ્લા } \lambda = 0; r = r_B = \frac{\hbar}{m} \cdot \frac{4\pi\epsilon_0}{e^2}$$

$$\therefore \frac{\hbar^2}{m} = \frac{e^2}{4\pi\epsilon_0} \cdot r_B$$

$\lambda^{-1} \gg r_B$, હેઠાથી, $r = r_B + \delta$ મૂકો.

$$\therefore r_B = r_B + \delta + \lambda(r_B^2 + \delta^2 + 2\delta r_B)$$

$$\text{અથવા } 0 = \lambda r_B^2 + \delta(1 + 2\lambda r_B)$$

$$\therefore \delta = \frac{-\lambda r_B^2}{1 + 2\lambda r_B} \approx \lambda r_B^2 (1 - 2\lambda r_B) = -\lambda r_B^2 \text{ જ્યારે } \lambda r_B \ll 1$$

$$\therefore V(r) = -\frac{e^2}{4\pi\epsilon_0} \cdot \frac{\exp(-\lambda\delta - \lambda r_B)}{r_B + \delta}$$

$$\therefore V(r) = -\frac{e^2}{4\pi\epsilon_0} \frac{1}{r_B} \left[\left(1 - \frac{\delta}{r_B} \right) \cdot (1 - \lambda r_B) \right]$$

$\cong (-27.2 \text{ eV})$ બદલતું નથી.

$$\text{ગતિઊજી } = -\frac{1}{2}mv^2 = \frac{1}{2}m \cdot \frac{\hbar^2}{mr^2} = \frac{\hbar^2}{2(r_B + \delta)^2} = \frac{\hbar^2}{2r_B^2} \left(1 - \frac{2\delta}{r_B} \right)$$

$$= (13.6 \text{ eV}) [1 + 2\lambda r_B]$$

$$\text{કુલ ઊજી } = -\frac{e^2}{4\pi\epsilon_0 r_B} + \frac{\hbar^2}{2r_B^2} [1 + 2\lambda r_B]$$

$$= -27.2 + 13.6 [1 + 2\lambda r_B] \text{ eV}$$

$$\text{ઉજ્જમાં થતો ફેરફાર } = 13.6 \times 2\lambda r_B \text{ eV} = 27.2 \lambda r_B \text{ eV}$$

12.29 $\epsilon = 2 + \delta$ લો.

$$F = \frac{q_1 q_2}{4\pi\epsilon_0} \cdot \frac{R_0^\delta}{r^{2+\delta}} = \wedge \frac{R_0^\delta}{r^{2+\delta}},$$

$$\text{જ્યાં, } \frac{q_1 q_2}{4\pi\epsilon_0 \epsilon} = \wedge, \wedge = (1.6 \times 10^{-19})^2 \times 9 \times 10^9 = 23.04 \times 10^{-29}$$

$$= \frac{mv^2}{r}$$

$$v^2 = \frac{\wedge R_0^\delta}{mr^{1+\delta}}$$

$$(i) \quad mvr = n\hbar, \quad \therefore r = \frac{n\hbar}{mv} = \frac{n\hbar}{m} \left[\frac{m}{\wedge R_0^\delta} \right]^{1/2} r^{1/2 + \delta/2}$$

$$r \text{ માટે ઉકેલતા, } r_n = \left[\frac{n^2 \hbar^2}{m \wedge R_0^\delta} \right]^{\frac{1}{1-\delta}} \text{ મળે.}$$

$$n = 1 \text{ માટે અને અચળાંકની કિમત મુકૃતાં, } r_1 = \left[\frac{\hbar^2}{m \wedge R_0^\delta} \right]^{\frac{1}{1-\delta}}$$

$$r_1 = \left[\frac{1.05^2 \times 10^{-68}}{9.1 \times 10^{-31} \times 2.3 \times 10^{-28} \times 10^{+19}} \right]^{\frac{1}{2.9}}$$

$$= 8 \times 10^{-11} = 0.08 \text{ nm } (< 0.1 \text{ nm})$$

$$(ii) \quad v_n = \frac{n\hbar}{mr_n} = n\hbar \left(\frac{m \wedge R_0^\delta}{n^2 \hbar^2} \right)^{\frac{1}{1-\delta}} \quad n = 1 \text{ માટે } v_1 = \frac{\hbar}{mr_1} = 1.44 \times 10^6 \text{ m/s}$$

$$(iii) \quad \text{ગતિઉર્જી} = \frac{1}{2} mv_1^2 = 9.43 \times 10^{-19} \text{ J} = 5.9 \text{ eV}$$

$$R_0 = -\frac{\wedge}{R_0} \text{ સુધી સ્થિતિઉર્જી :}$$

$$R_0 \text{ થી } r \text{ સુધી સ્થિતિઉર્જી} = + \wedge R_0^\delta \int_{R_0}^r \frac{dr}{r^{2+\delta}} = + \frac{\wedge R_0^\delta}{-1-\delta} \left[\frac{1}{r^{1+\delta}} \right]_{R_0}^r$$

$$= - \frac{\wedge R_0^\delta}{1+\delta} \left[\frac{1}{r^{1+\delta}} - \frac{1}{R_0^{1+\delta}} \right]$$

$$= - \frac{\wedge}{1+\delta} \left[\frac{R_0^\delta}{r^{1+\delta}} - \frac{1}{R_0} \right]$$

$$\text{સ્થિતિઉર્જી} = - \frac{\wedge}{1+\delta} \left[\frac{R_0^\delta}{r^{1+\delta}} - \frac{1}{R_0} + \frac{1+\delta}{R_0} \right]$$

$$\begin{aligned} \text{સ્થિતિઉર્જી} &= -\frac{\lambda}{-0.9} \left[\frac{R_0^{-1.9}}{r^{-0.9}} - \frac{1.9}{R_0} \right] \\ &= \frac{2.3}{0.9} \times 10^{-18} [(0.8)^{0.9} - 1.9] \text{ J} = -17.3 \text{ eV} \end{aligned}$$

$$\text{કુલ ઉર્જી} = (-17.3 + 5.9) = -11.4 \text{ eV}$$

પ્રકરણ 13

13.1 (c)

13.2 (b)

13.3 (b)

13.4 (a)

13.5 (a)

13.6 (b)

13.7 (b)

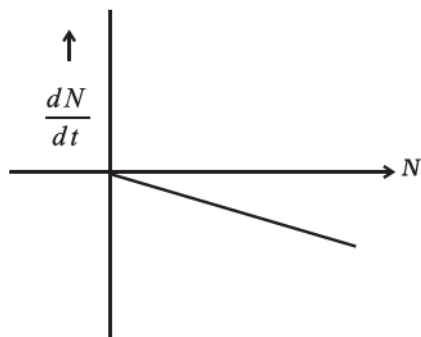
13.8 (a), (b)

13.9 (b), (d)

13.10 (c), (d)

13.11 ના, H_1^3 ની બંધનઉર્જી વધુ હોય છે.

13.12



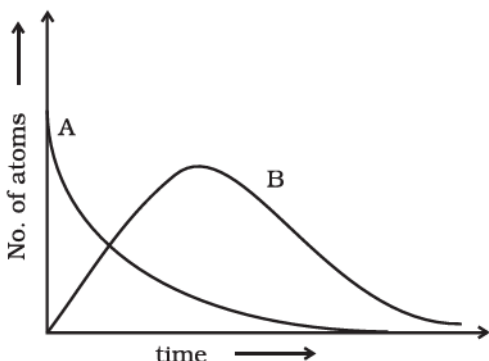
13.13 B માટે ગવધુ હોવાથી તેની સરેરાશ આયુ ટૂંકી થશે.

13.14 ઉત્તેજિત ઈલેક્ટ્રોન કારણ કે ઈલેક્ટ્રોનના ઉર્જા કક્ષાઓની ઉર્જા MeV નહિ પણ eV ની અવધિમાં હોય છે. જો કે, γ -વિકિરણની ઉર્જા MeV માં હોય છે.

13.15 વેગમાનનું સંરક્ષણ કરવા માટે 2γ ફોટોન ઉત્પન્ન થશે કે જે વિરુદ્ધ દિશામાં ગતિ કરશે.

13.16 પ્રોટોન ધન ભારિત હોય છે અને તેઓ એકબીજાને વિદ્યુતીય રીતે અપાર્ક્ષ છે. 10 કે તેથી વધુ પ્રોટોન ધરાવતા ન્યુક્લિયસમાં આ અપાર્ક્ષણ એટલું વધી જાય છે કે તેમાં સ્થિરતા માટે ફક્ત આકર્ષણ બળ ઉત્પન્ન કરે તેવા વધારાના ન્યુક્લોનની જરૂર પડે છે.

13.17



$t = 0$ સમયે $N_A = N_0$ જ્યારે $N_B = 0$. સમયના વધારા સાથે, N_A ચરઘાતાંકીય રીતે ઘટશે અને B ના પરમાણુઓની સંખ્યા વધીને મહત્તમ થશે અને અંતે ઘટીને અનંત સમયે શૂન્ય બનશે (ચરઘાતાંકીય ક્ષયના નિયમને અનુસરીને.).

$$13.18 \quad t = \frac{1}{\lambda} \ln \frac{R_0}{R}$$

$$\begin{aligned} &= \frac{5760}{0.693} \ln \frac{16}{12} = \frac{5760}{0.693} \ln \frac{4}{3} \\ &= \frac{5760}{0.693} \times 2.303 \log \frac{4}{3} = 2391.12 \text{ વર્ષ} \end{aligned}$$

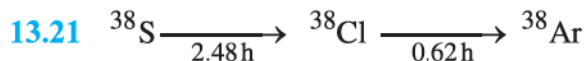
13.19 એકબીજથી d અંતરે આવેલી બે વસ્તુઓને સ્પષ્ટ રીતે અલગ જોવા માટેના સિંગલ (proving signal)ની તરંગલંબાઈ λ એ d કરતાં ઓછી હોવી જોઈએ. માટે જ, ન્યુક્લિયોનમાં જુદા ભાગોને શોધી કાઢવા, ઈલેક્ટ્રોનની તરંગલંબાઈ 10^{-15} m કરતાં ઓછી હોવી જોઈએ.

$$\begin{aligned} \lambda &= \frac{h}{p} \text{ અને } K \approx pc \Rightarrow K \approx pc = \frac{hc}{\lambda} \\ &= \frac{6.63 \times 10^{34} \times 3 \times 10^8}{1.6 \times 10^{-19} \times 10^{-15}} \text{ eV} \\ &= 10^9 \text{ eV} = 1 \text{ GeV} \end{aligned}$$

13.20 (a) ${}_{11}^{23}\text{Na} : Z_1 = 11, N_1 = 12$

$\therefore {}_{11}^{23}\text{Na}$ નો મીરર આઈસોબાર (સમભારિય) = ${}_{12}^{23}\text{Mg}$

(b) $Z_2 > Z_1$ હોવાથી, Mg ની બંધનઉર્જા Na કરતાં વધુ હોય છે.



t સમયે, ${}^{38}\text{S}$ ના સક્રિય ન્યુક્લિયસોની સંખ્યા $N_1(t)$ અને ${}^{38}\text{Cl}$ ના સક્રિય ન્યુક્લિયસોની સંખ્યા $N_2(t)$ લો.

$$\frac{dN_1}{dt} = -\lambda_1 N_1 = {}^{38}\text{Cl} \text{ ના નિર્માણનો દર}$$

$$\text{વધુમાં } \frac{dN_2}{dt} = -\lambda_1 N_2 + \lambda_1 N_1$$

$$\text{પણ, } N_1 = N_0 e^{-\lambda_1 t}$$

$$\therefore \frac{dN_2}{dt} = -\lambda_1 N_0 e^{-\lambda_1 t} - \lambda_2 N_2$$

બંને બાજુઓ $e^{\lambda_2 t} dt$ નો ગુણકાર કરતાં અને ફરીથી ગોઠવણી કરતાં,

$$e^{\lambda_2 t} dN_2 + \lambda_2 N_2 e^{\lambda_2 t} dt = \lambda_1 N_0 e^{(\lambda_2 - \lambda_1)t} dt$$

બંને બાજુ સંકલન કરતાં,

$$N_2 e^{\lambda_2 t} = \frac{N_0 \lambda_1}{\lambda_2 - \lambda_1} e^{(\lambda_2 - \lambda_1)t} + C$$

$$t = 0 \text{ સમયે } N_2 = 0 \text{ હોવાથી } C = -\frac{N_0 \lambda_1}{\lambda_2 - \lambda_1}$$

$$\therefore N_2 e^{\lambda_2 t} = \frac{N_0 \lambda_1}{\lambda_2 - \lambda_1} (e^{(\lambda_2 - \lambda_1)t} - 1)$$

$$\therefore N_2 = \frac{N_0 \lambda_1}{\lambda_2 - \lambda_1} (e^{-\lambda_1 t} - e^{-\lambda_2 t})$$

$$\text{મહત્તમ કાઉન્ટ માટે } \frac{dN_2}{dt} = 0$$

$$\text{ઉકેલ કરતાં, } t = \left(\ln \frac{\lambda_1}{\lambda_2} \right) / (\lambda_1 - \lambda_2)$$

$$= \ln \frac{2.48}{0.62} / (2.48 - 0.62)$$

$$= \frac{\ln 4}{1.86} = \frac{2.303 \log 4}{1.86}$$

$$= 0.745 \text{ s}$$

13.22 ઊર્જાના સંરક્ષણ પરથી,

$$E - B = K_n + K_p = \frac{p_n^2}{2m} + \frac{p_p^2}{2m} \quad \dots(1)$$

વેગમાનના સંરક્ષણ પરથી,

$$p_n + p_p = \frac{E}{c} \quad \dots(2)$$

જો $E = B$ લઈએ તો પ્રથમ સમીકરણ પરથી $p_n = p_p = 0$ અને તેથી દ્વિતીય સમીકરણ ન સંતોષાય અને તે પ્રક્રિયા થઈ શકે નહિએ.

પ્રક્રિયાને સંભવ થવા માટે, $E = B + \lambda$ લો, જ્યાં $\lambda \ll B$.

પછી, સમીકરણ (2)માંથી p_n ને સમીકરણ (1) માં મુક્તાં,

$$\lambda = \frac{1}{2m} (p_p^2 + p_n^2) = \frac{1}{2m} \left(p_p^2 + (p_p - E/c)^2 \right)$$

$$\therefore 2p_p^2 - \frac{2E}{c} p_p + \left(\frac{E^2}{c^2} - 2m\lambda \right) = 0$$

$$\therefore p_p = \frac{2E/c \pm \sqrt{4E^2/c^2 - 8\left(\frac{E^2}{c^2} - 2m\lambda\right)}}{4}$$

p_p ને વાસ્તવિક હોવા માટે નિશ્ચાયક ધન હોવો જોઈએ.

$$\text{તેથી, } \frac{4E^2}{c^2} - 8\left(\frac{E^2}{c^2} - 2m\lambda\right) = 0$$

$$\text{અથવા } 16m\lambda = \frac{4E^2}{c^2}, \quad \therefore \lambda = \frac{E^2}{4mc^2} \approx \frac{B^2}{4mc^2}.$$

13.23 H-પરમાણુની બંધનઉર્જા $E = \frac{me^4}{8\varepsilon_0^2 h^2} = 13.6 \text{ eV}$... (1)

જો પ્રોટોન અને ન્યુટ્રોન દરેકનો વિદ્યુતભાર e' હોય અને તેઓ સમાન વિદ્યુતબળથી દોરવાના હોય, તો ઉપરના સમીકરણમાં ઈલેક્ટ્રોનના દ્વયમાન m ને બદલે પ્રોટોન-ન્યુટ્રોનનું રિઝ્યુસ્લ દ્વયમાન m' અને ઈલેક્ટ્રોનના વિદ્યુતભાર e ને બદલે e' લેતાં,

$$m' = \frac{M}{2} = \frac{1836 m}{2} = 918 m$$

$$\therefore \text{બંધનઉર્જા} = \frac{918me'}{8\varepsilon_0^2 h^2} = 2.2 \text{ MeV} \quad (\text{આપેલ}) \quad \dots (2)$$

(2) ને (1) વડે ભાગતાં,

$$918 \left(\frac{e'}{e} \right)^4 = \frac{2.2 \text{ MeV}}{13.6 \text{ eV}}$$

$$\Rightarrow \frac{e'}{e} \approx 11$$

13.24 બી ક્ષય પહેલાં, ન્યુટ્રોન સ્થાયી હોય છે, માટે $E_n = m_n c^2, p_n = 0$

બી ક્ષય પદ્ધી, વેગમાનના સંરક્ષણ પરથી,

$$p_n = p_p + p_e \text{ અથવા}$$

$$p_p + p_e = 0 \Rightarrow |p_p| = |p_e| = p$$

$$\text{જીથી, } E_p = (m_p^2 c^4 + p_p^2 c^2)^{\frac{1}{2}},$$

$$E_e = (m_e^2 c^4 + p_e^2 c^2)^{\frac{1}{2}} = (m_e^2 c^4 + p_p^2 c^2)^{\frac{1}{2}}$$

ઉર્જાના સંરક્ષણ પરથી,

$$(m_p^2 c^4 + p^2 c^2)^{\frac{1}{2}} + (m_e^2 c^4 + p^2 c^2)^{\frac{1}{2}} = m_n c^2$$

$$m_p c^2 \approx 936 \text{ MeV}, \quad m_n c^2 \approx 938 \text{ MeV}, \quad m_e c^2 = 0.51 \text{ MeV}$$

n અને p વચ્ચેનો ઉર્જા-તફાવત નાનો હોવાથી, pc નાનું હશે. $pc \ll m_p c^2$ જ્યારે, pc એ $m_e c^2$ કરતા વધુ હોઈ શકે.

$$\Rightarrow m_p c^2 + \frac{p^2 c^2}{2m_p^2 c^4} \simeq m_n c^2 - pc$$

$$\text{પ્રથમ ક્રમ પર } pc \simeq m_n c^2 - m_p c^2 = 938 \text{ MeV} - 936 \text{ MeV} = 2 \text{ MeV}$$

આ વેગમાન આપે છે.

$$\text{જીથી, } E_p = (m_p^2 c^4 + p^2 c^2)^{\frac{1}{2}} = \sqrt{936^2 + 2^2} \simeq 936 \text{ MeV}$$

$$E_e = (m_e^2 c^4 + p^2 c^2)^{\frac{1}{2}} = \sqrt{(0.51)^2 + 2^2} \simeq 2.06 \text{ MeV}$$

13.25 (i) $t_{1/2} = 40 \text{ min}$ (આશાની)

(ii) આલેખનો ટાઇ = $-\lambda$

$$\text{તેથી, } \lambda = -\left(\frac{-4.16 + 3.11}{1}\right) = 1.05 \text{ h}$$

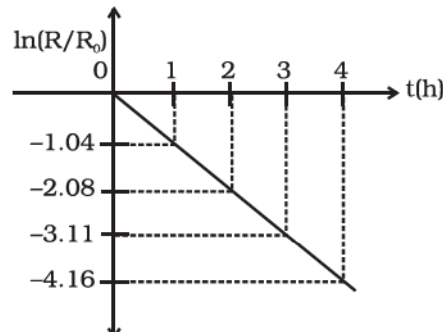
$$\text{તેથી, } t_{1/2} = \frac{0.693}{1.05} = 0.66 \text{ h} \\ = 39.6 \text{ min અથવા } 40 \text{ min (આશરે)}$$

13.26 (i) $S_{pSn} = (M_{119,70} + M_H - M_{120,70}) c^2$
 $= (118.9058 + 1.0078252 - 119.902199) c^2$
 $= 0.0114362 c^2$

$$S_{pSb} = (M_{120,70} + M_H - M_{121,70}) c^2 \\ = (119.902199 + 1.0078252 - 120.903822) c_2 \\ = 0.0059912 c^2$$

$S_{pSn} > S_{pSb}$ હોવાથી Sn નો ન્યુક્લિયસ Sb ના ન્યુક્લિયસ કરતાં વધુ સ્થાયી છે.

(ii) આ દર્શાવે છે કે ન્યુક્લિયસનું શેલ માળખું (shell structure) એ પરમાણુના શેલ માળખાને સમાન છે.
 આ, બંધનગુર્જા/ન્યુક્લિઓનના વક્કમાં મળતા શિખરો (peaks)ની સમજૂતી પડી આપે છે.



પ્રકરણ 14

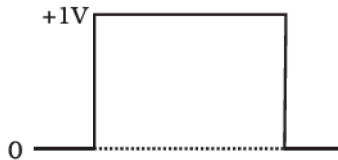
- 14.1** (d)
14.2 (b)
14.3 (b)
14.4 (d)
14.5 (b)
14.6 (c)
14.7 (b)
14.8 (c)
14.9 (a), (c)
14.10 (a), (c)
14.11 (b), (c), (d)
14.12 (b), (c)
14.13 (a), (b), (d)
14.14 (b), (d)
14.15 (a), (c), (d)
14.16 (a), (d)

14.17 ઓપિંગ પરમાણુની સાઈઝ એવી હોવી જોઈએ કે, જેથી તે શુક્ષ અર્થવાહકના લેટિસ બંધારણને વિકૃતિ ન કરે તથા તે Si કરે. Ge સાથે સહસંયોજક-બંધ બનાવવા માટે સહેલાઈથી વિદ્યુતભાર વાહકોને ફાળો આપે.

14.18 તેમના પરમાણુની સાઈઝને અનુરૂપ Sn માટે ઊર્જા ગોપ 0 eV, C માટે 5.4 eV, Si માટે 1.1 eV અને Ge માટે 0.7eV છે.

14.19 ના, કારણ કે વોલ્ટમિટરનો અવરોધ જંકશનના અવરોધની સરખામણીમાં ઘડ્યો વધારે હોવો જોઈએ, જ્યારે અહીં જંકશનનો અવરોધ લગભગ અનંત છે.

14.20



14.21 (i) $10 \times 20 \times 30 \times 10^{-3} = 6V$

(ii) જો dc સખાય વોલ્ટેજ 5V હોય, તો આઉટપુટ પીક $V_{cc} = 5V$ થી વધારે ન હોઈ શકે. તેથી, $V_0 = 5V$.

14.22 ના, વિવર્ધિત આઉટપુટ માટે જરૂરી વધારાનો પાવર DC સોત પાસેથી મેળવવામાં આવે છે.

14.23 (i) ઝેનર જંકશન ડાયોડ અને સોલર સેલ

(ii) ઝેનર બ્રેકડાઉન વોલ્ટેજ

(iii) Q-શૉર્ટસર્કિટ પ્રવાહ

P-ઓપન સર્કિટ વોલ્ટેજ

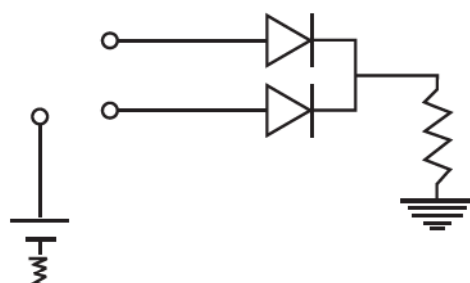
14.24 આપાત પ્રકાશના ફોટોનની ઊર્જા

$$hv = \frac{6.6 \times 10^{-34} \times 3 \times 10^8}{6 \times 10^{-7} \times 1.6 \times 10^{-19}} = 2.06 \text{ eV}$$

ફોટો ડાયોડ દ્વારા આપાત વિકિરણની પરખ થઈ શકે તે માટે આપાત વિકિરણના ફોટોનની ઊર્જા બેન્ડગોપ ઊર્જા કરતાં વધુ હોવી જોઈએ. આ હકીકત ફક્ત D_2 માટે સાચી છે. તેથી, ફક્ત D_2 ડાયોડ વિકિરણની પરખ કરી શકશે.

14.25 $I_B = \frac{V_{BB} - V_{BE}}{R_1}$. જો R_1 નું મૂલ્ય વધશે, તો I_B ઘટશે. હવે $I_c = \beta I_b$ હોવાથી પરિણામ સ્વરૂપે I_c ઘટશે એટલે કે એમિટર અને વોલ્ટમિટરનાં અવલોકનોમાં ઘટાડો થશે.

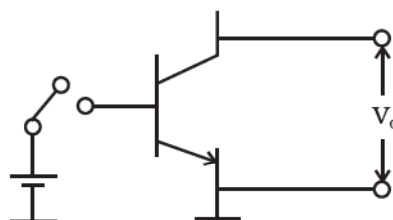
14.26



OR gate નીચે દર્શાવેલ ટુથ ટેબલ પ્રમાણે આઉટપુટ આપે છે :

A	B	C
0	0	0
0	1	1
1	0	1
1	1	1

14.27



ઇનપુટ	આઉટપુટ
A	A
0	1
1	0

14.28 તત્ત્વ અર્ધવાહકો (elemental semi-conductor's)ની બેન્ડ ગોપ એવી હોય છે કે જેથી ઉત્સર્જન IR ક્ષેત્રમાં થાય.

14.29 ટુથ ટેબલ

A	B	Y
0	0	0
0	1	0
1	0	0
1	1	1

AND ગેર

$$14.30 \quad I_{Z\max} = \frac{P}{V_Z} = 0.2 \text{ A} = 200 \text{ mA}$$

$$R_S = \frac{V_s - V_Z}{I_{Z\max}} = \frac{2}{0.2} = 10 \Omega$$

14.31 I_3 શૂન્ય છે કારણ કે તે શાખામાં રહેલો ડાયોડ રિવર્સ બાયસમાં છે. શાખામાં AB અને EF દરેકમાં રહેલો અવરોધ

$$(125 + 25) \Omega = 150 \Omega.$$

AB અને EF સમાન અને સમાંતર શાખાઓ હોવાથી તેમનો અસરકારક અવરોધ

$$\frac{150}{2} = 75 \Omega.$$

$$\therefore \text{પણિથનો કુલ અવરોધ} = (75 + 25) \Omega = 100 \Omega$$

$$\therefore \text{પ્રવાહ } I_1 = \frac{5}{100} = 0.05 \text{ A}$$

AB અને EF ના અવરોધો હોવાથી તથા $I_1 = I_2 + I_3 + I_4$, $I_3 = 0$

$$\therefore I_2 = I_4 = \frac{0.05}{2} = 0.025 \text{ A}$$

14.32 $V_{be} = 0$ હોવાથી, R_b ના બે છેડા વચ્ચે વોલ્ટેજ ડ્રોપ 10V મળશે.

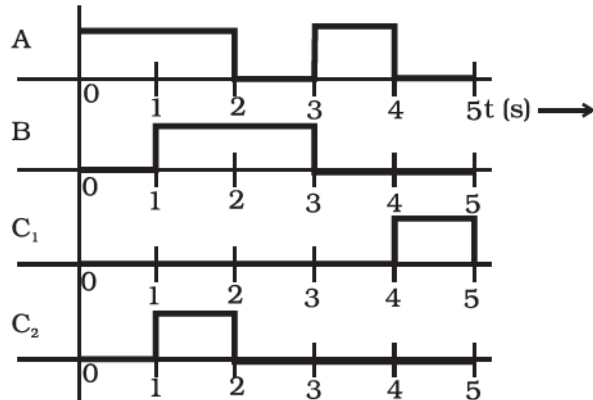
$$\therefore I_b = \frac{10}{400 \times 10^3} = 25 \mu\text{A}$$

હવે, $V_{ce} = 0$, R_c ના બે છેડા વચ્ચે વોલ્ટેજ ડ્રોપ, i.e. $I_c R_c = 10\text{V}$.

$$\therefore I_c = \frac{10}{3 \times 10^3} = 3.33 \times 10^{-3} = 3.33 \text{ mA}$$

$$\therefore \beta = \frac{I_c}{I_b} = \frac{3.33 \times 10^{-3}}{25 \times 10^{-6}} = 1.33 \times 10^2 = 133$$

14.33



14.34 આઉટપુટ લાક્ષણિકતા પરથી બિંદુ Q પાસે $V_{CE} = 8\text{V}$ અને $I_C = 4 \text{ mA}$

$$V_{CC} = I_C R_C + V_{CE}$$

$$R_c = \frac{V_{CC} - V_{CE}}{I_C}$$

$$R_c = \frac{16 - 8}{4 \times 10^{-3}} = 2 \text{ K}\Omega$$

હવે,

$$V_{BB} = I_B R_B + V_{BE}$$

$$R_B = \frac{16 - 0.7}{30 \times 10^{-6}} = 510 \text{ K}\Omega$$

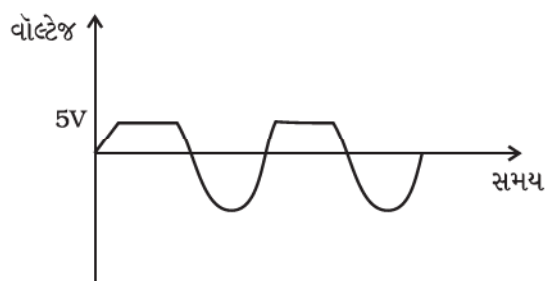
$$\text{તથા } \beta = \frac{I_C}{I_B} = \frac{4 \times 10^{-3}}{30 \times 10^{-6}} = 133$$

$$\begin{aligned} \text{વોલ્ટેજ ગેઈન} &= A_V = -\beta \frac{R_C}{R_B} \\ &= -133 \times \frac{2 \times 10^3}{510 \times 10^3} \\ &= 0.52 \end{aligned}$$

$$\text{પાવર ગેઈન} = A_P = \beta \times A_V$$

$$\begin{aligned} &= -\beta^2 \frac{R_C}{R_B} \\ &= (133)^2 \times \frac{2 \times 10^3}{510 \times 10^3} \\ &= 69 \end{aligned}$$

- 14.35** જ્યારે ઈનપુટ વોલ્ટેજ 5V કરતાં વધારે હશે. ડાયોડમાંથી પ્રવાહ વહેશે. જ્યારે ઈનપુટ 5V કરતાં ઓછા હશે. ડાયોડ એક ખૂલ્લો પરિપથ હશે.



- 14.36** (i) ‘n’ વિસ્તારમાં As ને કારણે e^- ની સંખ્યા,

$$n_e = N_D = 1 \times 10^{-6} \times 5 \times 10^{28} \text{ પરમાણુ}/\text{m}^3$$

$$n_e = 5 \times 10^{22}/\text{m}^3$$

માઈનોરિટી કેરિયર (હોલ)ની સંખ્યા,

$$n_h = \frac{n_i^2}{n_e} = \frac{(1.5 \times 10^{16})^2}{5 \times 10^{22}} = \frac{2.25 \times 10^{32}}{5 \times 10^{22}}$$

$$n_h = 0.45 \times 10/m^3$$

આ જ રીતે, બોરોનનું ડેપિંગ કરવામાં આવે છે ત્યારે 'p' પ્રકાર રચાય છે,

જેમાં

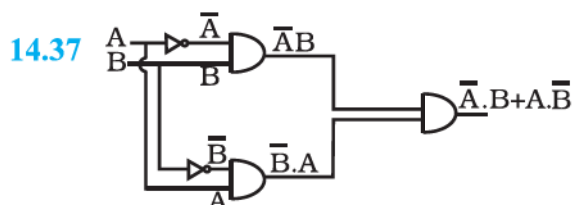
$$\begin{aligned} n_h &= N_A = 200 \times 10^{-6} \times 5 \times 10^{28} \\ &= 1 \times 10^{25}/m^3 \end{aligned}$$

જે 'n' પ્રકારની વેફરમાં રહેલા e^- ની સંખ્યાની સરખામણીમાં ખૂબ જ વધારે છે. જેમાં બોરોન ડિફ્યુઝ કરવામાં આવે છે.

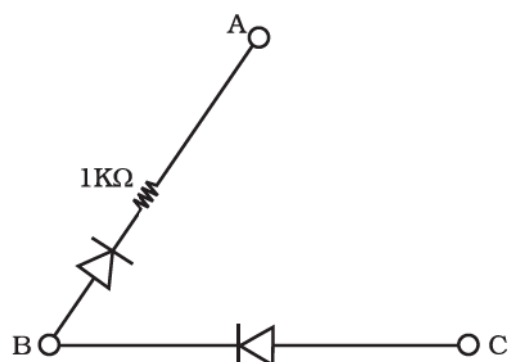
તેથી આ રીતે બનાવેલ 'p' ક્ષેત્રમાં માઈનોરિટી કેરિયરની સંખ્યા,

$$\begin{aligned} n_e &= \frac{n_i^2}{n_h} = \frac{2.25 \times 10^{32}}{1 \times 10^{25}} \\ &= 2.25 \times 10^7/m^3 \end{aligned}$$

(ii) આમ, જ્યારે રિવર્સ બાયસ કરવામાં આવે ત્યારે 'n' વિસ્તારમાં રહેલા $0.45 \times 10^{10}/m^3$, હોલ, p-વિસ્તારમાં રહેલા માઈનોરિટી $e^- 2.25 \times 10^7/m^3$ ની સરખામણીમાં રિવર્સ સેચ્યુરેશન પ્રવાહમાં વધારે ફાળો આપશે.



14.38





$$14.39 \quad I_C \approx I_E \quad \therefore I_C(R_C + R_E) + V_{CE} = 12 \text{ V}$$

$$R_E = 9 - R_C = 1.2 \text{ K}\Omega$$

$$\therefore V_E = 1.2 \text{ V}$$

$$V_B = V_E + V_{BE} = 1.7 \text{ V}$$

$$I = \frac{V_B}{20K} = 0.085 \text{ mA}$$

$$R_B = \frac{12 - 1.7}{I_C/\beta + 0.085} = \frac{10.3}{0.01 + 1.085} = 108 \text{ K}\Omega$$

$$14.40 \quad I_E = I_C + I_B \quad I_C = \beta I_B \quad \dots(1)$$

$$I_C R_C + V_{CE} + I_E R_E = V_{CC} \quad \dots(2)$$

$$R I_B + V_{BE} + I_E R_E = V_{CC} \quad \dots(3)$$

સમીકરણ (3) પરથી, $I_e \approx I_C = \beta I_B$

$$(R + \beta R_E) = V_{CC} - V_{BE}, \quad I_B = \frac{V_{CC} - V_{BE}}{R + \beta R_E} = \frac{11.5}{200} \text{ mA}$$

સમીકરણ (2) પરથી,

$$R_C + R_E = \frac{V_{CC} - V_{CE}}{I_C} = \frac{V_{CC} - V_{CE}}{\beta I_B} = \frac{2}{11.5} (12 - 3) \text{ K}\Omega = 1.56 \text{ K}\Omega$$

$$R_C = 1.56 - 1 = 0.56 \text{ K}\Omega$$

